

24  
23



**UNIVERSIDAD NACIONAL AUTONOMA DE MEXICO**  
**FACULTAD DE CIENCIAS**

**CAMPOS ESTRUCTURALMENTE ESTABLES**

**T E S I S**

**QUE PARA OBTENER EL TITULO DE:**

**M A T E M A T I C O**

**P R E S E N T A :**

**HECTOR MENDEZ LANGO**

**MEXICO, D. F.**

**1986**



Universidad Nacional  
Autónoma de México



## **UNAM – Dirección General de Bibliotecas Tesis Digitales Restricciones de uso**

### **DERECHOS RESERVADOS © PROHIBIDA SU REPRODUCCIÓN TOTAL O PARCIAL**

Todo el material contenido en esta tesis está protegido por la Ley Federal del Derecho de Autor (LFDA) de los Estados Unidos Mexicanos (México).

El uso de imágenes, fragmentos de videos, y demás material que sea objeto de protección de los derechos de autor, será exclusivamente para fines educativos e informativos y deberá citar la fuente donde la obtuvo mencionando el autor o autores. Cualquier uso distinto como el lucro, reproducción, edición o modificación, será perseguido y sancionado por el respectivo titular de los Derechos de Autor.

## Introducción

En 1937 A. Andronov y L. Pontrjagin introdujeron el concepto de campos estructuralmente estables. Se trata de una cierta clase de sistemas de ecuaciones diferenciales autónomas en  $\mathbb{R}^2$  para los cuales una pequeña perturbación del campo vectorial no altera, esencialmente, el carácter topológico de su conjunto de trayectorias solución.

Andronov y Pontrjagin propusieron también, a manera de conjetura, un conjunto de condiciones necesarias y suficientes para que un sistema analítico fuera estructuralmente estable. En 1950 H. De Baggis y en 1959 Marilia Peixoto y M.M. Peixoto demostraron la conjetura para sistemas de clase  $C^1$ . En 1962 M.M. Peixoto extiende estos resultados a variedades diferenciables, compactas, de dimensión dos.

En el presente trabajo intentamos mostrar, de manera breve, el desarrollo de esta teoría. En el primer capítulo trabajamos con sistemas de ecuaciones diferenciales autónomas lineales en  $\mathbb{R}^n$  e introducimos los conceptos iniciales de equivalencia topológica y estabilidad estructural. Las demostraciones de H. De Baggis,

M.C. Peixoto y M.M. Peixoto para campos en el plano conforman la parte principal del segundo y tercer capítulo. Por último en el cuarto capítulo estudiamos las características de los campos estructuralmente estables en variedades diferenciables, compactas, orientables, de dimensión dos. Nos hemos guiado en esta última parte por el trabajo de M.M. Peixoto y por el libro de J. Palis y W. de Melo: *Introdução aos Sistemas Dinâmicos*.

El primer capítulo y la primera sección del cuarto capítulo contienen las nociones básicas para entender el desarrollo que después se sigue. Por eso quien ya tenga una primera idea sobre el tema puede omitirlos.

Las referencias a la bibliografía están escritas en parentesis cuadrados.

## Índice

Introducción . . . . .	2
Capítulo I - Campos lineales . . . . .	1
Sección 1.- Primeras definiciones y campos hiperbólicos . . . . .	1
Sección 2.- Campos hiperbólicos y $L(\mathbb{R}^n)$ . . . . .	14
Sección 3.- Campos hiperbólicos y estabilidad estructural . . . . .	19
Capítulo II - Campos no lineales en $\mathbb{R}^2$ (primera parte) . . . . .	32
Sección 1.- Definiciones y ejemplos . . . . .	33
Sección 2.- Puntos singulares . . . . .	36
Sección 3.- Unión de puntos silla . . . . .	44
Sección 4.- Órbitas cerradas . . . . .	51
Capítulo III - Campos no lineales en $\mathbb{R}^2$ (segunda parte) . . . . .	66
Sección 1.- Subregiones canónicas . . . . .	68
Sección 2.- La equivalencia topológica . . . . .	88
Capítulo IV - Campos en variedades . . . . .	102
Sección 1.- Definiciones y proposiciones iniciales . . . . .	104
Sección 2.- Las singularidades . . . . .	118
Sección 3.- Conjuntos límite . . . . .	126
Sección 4.- Órbitas cerradas . . . . .	147
Sección 5.- El homeomorfismo . . . . .	159
Bibliografía . . . . .	170

## Capítulo I

Estudiaremos aquí el conjunto de los campos lineales en  $\mathbb{R}^n$ , y su relación con las ecuaciones diferenciales. En la primera sección distinguiremos a un conjunto especial de campos lineales llamados campos hiperbólicos y los estudiaremos, brevemente, a través del comportamiento cualitativo de sus soluciones; en la segunda sección mostraremos que los campos hiperbólicos forman un subconjunto abierto y denso en el conjunto de todos los campos lineales; en la tercera sección definiremos estabilidad estructural, y concluiremos el capítulo, y la sección, mostrando que los campos hiperbólicos son campos estructuralmente estables.

### Sección 1. Primeras definiciones y campos hiperbólicos.

Sea  $\mathcal{L}(\mathbb{R}^n)$  el espacio vectorial de las transformaciones lineales definidas en  $\mathbb{R}^n$  y con codominio  $\mathbb{R}^n$ . Definimos en este espacio la siguiente norma:

$$\|L\| = \sup \{ |L(x)| \mid |x|=1, x \in \mathbb{R}^n \}$$

donde  $L \in \mathcal{L}(\mathbb{R}^n)$ ,  $|x|$  es la norma euclídea en  $\mathbb{R}^n$ .

Si  $L \in \mathcal{L}(\mathbb{R}^n)$  y  $M \in \mathcal{L}(\mathbb{R}^n)$  definimos la distancia entre  $L$  y  $M$  como sigue:  

$$\rho(L, M) = \|L - M\|$$
 definimos también una bola abierta alrededor de  $L$  así:

$$B_\delta(L) = \{ M \in \mathcal{L}(\mathbb{R}^n) \mid \rho(L, M) < \delta \}$$

La definición de conjunto abierto en  $\mathcal{L}(\mathbb{R}^n)$  es inmediata. En resumen le hemos dado a  $\mathcal{L}(\mathbb{R}^n)$  una topología.

Consideremos el sistema de ecuaciones diferenciales:

$$(1.1) \quad x' = \Delta x \quad \text{donde } x \in \mathbb{R}^n \text{ y } \Delta \text{ es una transformación lineal.}$$

Esto induce un campo vectorial, esto es, a cada vector  $x$  de  $\mathbb{R}^n$  se le asocia mediante  $\Delta$  otro vector en  $\mathbb{R}^n$ .

Para encontrar las curvas solución de (1.1) necesitamos definir la siguiente aplicación del espacio  $\mathcal{L}(\mathbb{R}^n)$  en sí mismo.

$$\exp: \mathcal{L}(\mathbb{R}^n) \rightarrow \mathcal{L}(\mathbb{R}^n)$$

$$\text{si } L \in \mathcal{L}(\mathbb{R}^n) \text{ entonces } \exp(L) = \sum_{k=0}^{\infty} \frac{1}{k!} L^k$$

donde  $L^0$  es la identidad y  $L^k = L \circ L \circ \dots \circ L$ ,  $k$  veces.

Sabemos que esta aplicación está bien definida [Hir.] y que si tenemos la ecuación diferencial (1.1) con condición inicial  $x(0) = K$ , donde  $K \in \mathbb{R}^n$ , entonces la curva solución está dada por:

$$x(t) = \exp(t\Delta) K, \quad \text{donde } t \in \mathbb{R}$$

El conjunto de todas las curvas solución lo encontramos si tomamos todas las posibles condiciones iniciales  $K$ .

Definición 1.1 Sea  $L \in \mathcal{L}(\mathbb{R}^n)$ , a la función  $\varphi: \mathbb{R} \times \mathbb{R}^n \rightarrow \mathbb{R}^n$  dada

por  $\varphi(t, x) = \exp(tL)x$  le llamaremos el flujo asociado a la transformación  $L$  (o al campo  $L$ ).

Este flujo tiene las siguientes propiedades:

- i) Para cada  $t_0 \in \mathbb{R}$ ,  $\varphi(t_0, x)$  es un difeomorfismo de  $\mathbb{R}^n$  en sí mismo (en este caso lineal, ya que  $\exp(t_0 L) \in \mathcal{L}(\mathbb{R}^n)$ ).
- ii)  $\varphi(0, x)$  es la identidad en  $\mathbb{R}^n$
- iii)  $\varphi(s, \varphi(t, x)) = \varphi(s+t, x)$ .

Ahora, los campos lineales los podemos estudiar a través de sus valores propios. Definimos el espectro de  $L \in \mathcal{L}(\mathbb{R}^n)$  como el conjunto de valores propios de  $L$ , es decir, el conjunto de raíces del polinomio:

$$\det(L - \lambda I)$$

Observamos que tenemos, de hecho, una función  $n$ -valuada de  $\mathcal{L}(\mathbb{R}^n)$  en  $\mathbb{C}$ .

Definición 1.2 Diremos que un campo lineal  $L$  es hiperbólico si el espectro de  $L$  no tiene elementos con parte real igual a cero.

Obsérvese que si  $L$  es hiperbólico entonces todos sus valores propios son distintos de cero y por lo tanto  $L$  es un isomorfismo, en este caso la ecuación (1.1) asigna el vector velocidad  $\dot{\bar{o}}$  sólo a la posición  $\bar{o}$  de  $\mathbb{R}^n$ , esto es, el campo sólo se anula en  $\bar{o}$ . A las posiciones donde el campo se anula los llamaremos puntos críticos o singulares. Concluimos que si  $L$  es hiperbólico entonces tiene un solo punto crítico o singularidad (en el origen).

A continuación enunciamos y demostramos un extenso lema que nos permitirá a partir del conocimiento de los valores propios de una transformación lineal



Llegar a algunas conclusiones sobre el comportamiento cualitativo de sus soluciones.

Lema 1.3 Sea  $\Delta \in \mathcal{L}(\mathbb{R}^n)$ , supongamos que existen  $\alpha, \beta \in \mathbb{R}$  con tantas tales que  $\alpha < \operatorname{Re}(\lambda) < \beta$  para todo valor propio  $\lambda$  de  $\Delta$ . Entonces  $\mathbb{R}^n$  tiene una base tal que en su correspondiente producto interno y norma se tiene:

$$\alpha \|x\|^2 \leq \langle \Delta x, x \rangle \leq \beta \|x\|^2 \quad \text{para todo } x \text{ en } \mathbb{R}^n.$$

Demostración: Tomemos la segunda desigualdad.  $\operatorname{Re}(\lambda) < \beta$ , sea  $c \in \mathbb{R}$  tal que  $\operatorname{Re}(\lambda) < c < \beta$  para todo  $\lambda$  del espectro de  $\Delta$ .

Caso 1 - Supongamos que  $\Delta$  es diagonalizable, entonces  $\mathbb{R}^n$  se puede obtener como la suma directa  $E_1 \oplus \dots \oplus E_r \oplus F_1 \oplus \dots \oplus F_s$  donde cada  $E_j$  es un subespacio vectorial de dimensión uno generado por el vector propio  $e_j$  perteneciente al valor propio  $\lambda_j$  donde  $\lambda_j$  es real, y cada  $F_k$  es un subespacio vectorial de dimensión dos generado por  $\{f_k, g_k\}$ , observamos que cada  $E_j$  y  $F_k$  es invariante bajo  $\Delta$ , de donde  $\Delta$  restringido a  $F_k$  está representada por la matriz:

$$\begin{pmatrix} a_k & -b_k \\ b_k & a_k \end{pmatrix}$$

donde  $a_k + ib_k = \lambda_k$  es valor propio de  $\Delta$ . Por hipótesis tenemos  $\lambda_j < c$  y  $a_k < c$ . Damos a  $\mathbb{R}^n$  el producto interno definido por:

$$\langle e_j, e_j \rangle = \langle f_k, f_k \rangle = \langle g_k, g_k \rangle = 1$$

y toda otra pareja formada con  $e_j, f_k, g_k$  igual a cero.

Calculemos  $\langle \Delta x, x \rangle$ ; como  $\{e_j, f_k, g_k\}$  forman una base de  $\mathbb{R}^n$ , tenemos que  $x = x_1 e_1 + \dots + x_r e_r + x_{r+1} f_1 + x_{r+2} g_1 + \dots + x_{r+s} f_s + x_{r+s+1} g_s$

$$\begin{aligned}
\text{de donde } \langle \Delta x, x \rangle &= \langle \Delta x_1 e_1, x \rangle + \dots + \langle \Delta x_{r+s} g_s, x \rangle \\
&= x_1 \langle \Delta e_1, x \rangle + \dots + x_{r+s} \langle \Delta g_s, x \rangle \\
&= x_1 \langle \lambda_1 e_1, x \rangle + \dots + x_{r+s} \langle -b_s f_s + a_s g_s, x \rangle \\
&= x_1 \langle \lambda_1 e_1, x_1 e_1 \rangle + \dots + x_{r+s} \langle -b_s f_s + a_s g_s, x_{r+s} f_s + x_{r+s} g_s \rangle \\
&= x_1^2 \lambda_1 + \dots + x_{r+s} \langle a_s f_s + b_s g_s, x_{r+s} f_s + x_{r+s} g_s \rangle \\
&\quad + x_{r+s} \langle -b_s f_s + a_s g_s, x_{r+s} f_s + x_{r+s} g_s \rangle \\
&= x_1^2 \lambda_1 + \dots + (x_{r+s})^2 \langle a_s f_s, f_s \rangle + x_{r+s} x_{r+s} \langle b_s g_s, g_s \rangle \\
&\quad + (x_{r+s})^2 \langle a_s g_s, g_s \rangle - x_{r+s} x_{r+s} \langle b_s f_s, f_s \rangle \\
&= x_1^2 \lambda_1 + \dots + (x_{r+s})^2 a_s + (x_{r+s})^2 a_s \\
\langle x_i^2 c + \dots + (x_{r+s})^2 c + (x_{r+s})^2 c &= \langle x, x \rangle c = |x|^2 c
\end{aligned}$$

por lo tanto  $\langle \Delta x, x \rangle < c |x|^2$  que es lo que queriamos demostrar (ya que  $c < \beta$ )

Observese que en este caso la demostración de la otra desigualdad: si  $\alpha$  es menor que la parte real de todo valor propio de  $\Delta$  entonces  $\alpha |x|^2 < \langle \Delta x, x \rangle$  es similar.

Caso 2.- Si  $\Delta$  no es diagonalizable, existe una base en  $\mathbb{R}^n$  tal que la matriz asociada a  $\Delta$  es de la forma

$$\begin{bmatrix} \Delta_1 & & \\ & \dots & \\ & & \Delta_p \end{bmatrix}$$

donde cada  $\Delta_j$  tiene la forma:

$$\begin{bmatrix} a_j & & \\ 1 & a_j & \\ & \dots & \\ & & 1 & a_j \end{bmatrix} \quad \text{o la forma} \quad \begin{bmatrix} D_j & & \\ I & D_j & \\ & \dots & \\ & & I & D_j \end{bmatrix}$$

donde  $a_j \in \mathbb{R}$ ,  $D_j = \begin{bmatrix} a_j & -\beta_j \\ \theta_j & \alpha_j \end{bmatrix}$ ,  $I = \begin{bmatrix} 1 & 0 \\ 0 & 1 \end{bmatrix}$

Además  $\mathbb{R}^n = E_1 \oplus \dots \oplus E_p$  donde  $E_j$  es invariante bajo  $\Delta_j$  (forma canónica de Jordan). Si para cada uno de estos subespacios pudiéramos encontrar una base donde el lema fuera cierto entonces

$$\begin{aligned} \langle \Delta x, x \rangle &= \langle \Delta_1 x_1, x \rangle + \dots + \langle \Delta_p x_p, x \rangle, \quad x = x_1 + \dots + x_p, \quad x_j \in E_j \\ &= \langle \Delta_1 x_1, x_1 \rangle + \dots + \langle \Delta_p x_p, x_p \rangle \\ &\leq c \langle x_1, x_1 \rangle + \dots + c \langle x_p, x_p \rangle = c \langle x, x \rangle \end{aligned}$$

y por tanto

$$\langle \Delta x, x \rangle \leq c |x|^2$$

observese que, nuevamente, la otra desigualdad se probaría en forma análoga.

Vamos a demostrar el lema para cuando  $\Delta$  consta de un solo bloque

$$\Delta = \begin{bmatrix} \alpha_1 & & & \\ & 1 & & \\ & & \ddots & \\ & & & 1 & \\ & & & & \alpha_1 \end{bmatrix}$$

observese que  $\Delta = S + N$  donde  $S = \alpha_1 I$  y  $N = \begin{bmatrix} 0 & & & \\ 1 & & & \\ & \ddots & & \\ & & 1 & \\ & & & 0 \end{bmatrix}$

Consideremos  $\{e_1, \dots, e_n\}$  los vectores propios de  $S$  y apliquemos  $N$  a cada uno de ellos, tenemos  $N(e_1) = e_2, \dots, N(e_{n-1}) = e_n, N(e_n) = \bar{0}$ . Sea  $\varepsilon > 0$  y consideremos la siguiente base  $B = \{e_1, \frac{1}{\varepsilon} e_2, \dots, \frac{1}{\varepsilon^{n-1}} e_n\} = \{\bar{e}_1, \bar{e}_2, \dots, \bar{e}_n\}$ . La representación de  $\Delta$  en esta nueva base está dada por:

$$\Delta^* = (P^\varepsilon)^{-1} \Delta P^\varepsilon$$

donde  $P$  es la matriz formada por las expresiones de los vectores de la nueva base en términos de la vieja base, por lo tanto tenemos:

$$\begin{aligned}
 \Delta^* &= \begin{bmatrix} 1 & & & & \\ & E & & & \\ & & E^2 & & \\ & & & \ddots & \\ & & & & E^{n-1} \end{bmatrix} \begin{bmatrix} \alpha_1 & & & & \\ & 1 & & & \\ & & \ddots & & \\ & & & 1 & \\ & & & & \alpha_1 \end{bmatrix} \begin{bmatrix} 1 & & & & \\ & \frac{1}{E} & & & \\ & & \frac{1}{E^2} & & \\ & & & \ddots & \\ & & & & \frac{1}{E^{n-1}} \end{bmatrix} \\
 &= \begin{bmatrix} \alpha_1 & & & & \\ E & E\alpha_1 & & & \\ 0 & E^2 & E^2\alpha_1 & & \\ & & & \ddots & \\ & & & & E^{n-1} & E^{n-1}\alpha_1 \end{bmatrix} \begin{bmatrix} 1 & & & & \\ & \frac{1}{E} & & & \\ & & \ddots & & \\ & & & \ddots & \\ & & & & \frac{1}{E^{n-1}} \end{bmatrix} \\
 &= \begin{bmatrix} \alpha_1 & & & & \\ E & & & & \\ & E\alpha_1 & & & \\ & & E\alpha_1 & & \\ & & & \ddots & \\ & & & & E\alpha_1 \end{bmatrix}
 \end{aligned}$$

Sea  $\langle x, y \rangle_E$  el producto interior inducido por la base  $\mathcal{B}_E$  y  $\langle x, y \rangle$  el inducido por la base  $\{e_1, \dots, e_n\}$ . Tomemos  $x \in \mathbb{R}^n$  y observamos que:

$$x = x_1 e_1 + \dots + x_n e_n \quad \text{y} \quad x = \bar{x}_1 \bar{e}_1 + \dots + \bar{x}_n \bar{e}_n$$

calculamos ahora

$$\begin{aligned}
 \frac{\langle \Delta^* x, x \rangle_E}{\langle x, x \rangle_E} &= \frac{\langle \alpha_1 \bar{x}_1 \bar{e}_1 + E \bar{x}_1 \bar{e}_1 + \alpha_1 \bar{x}_2 \bar{e}_2 + \dots + E \bar{x}_{n-1} \bar{e}_{n-1} + \alpha_1 \bar{x}_n \bar{e}_n, x \rangle_E}{\langle x, x \rangle_E} \\
 &= \frac{\alpha_1 \bar{x}_1^2 + E \bar{x}_1^2 + \alpha_1 \bar{x}_2^2 + \dots + E \bar{x}_{n-1}^2 + \alpha_1 \bar{x}_n^2}{\langle x, x \rangle_E} \\
 &= \frac{\alpha_1 \langle x, x \rangle_E + E (\bar{x}_1^2 + \dots + \bar{x}_{n-1}^2)}{\langle x, x \rangle_E} \\
 &= \alpha_1 + \frac{E (\bar{x}_1^2 + \dots + \bar{x}_{n-1}^2)}{\langle x, x \rangle_E} \leq \alpha_1 + E \frac{\langle x, x \rangle_E}{\langle x, x \rangle_E}
 \end{aligned}$$

por lo tanto

$$\alpha_1 \leq \frac{\langle \Delta^* x, x \rangle_E}{\langle x, x \rangle_E} \leq \alpha_1 + E$$

entonces  $\lim_{\epsilon \rightarrow 0} \frac{\langle \Delta^* x, x \rangle_{\epsilon}}{\langle x, x \rangle_{\epsilon}} = \alpha_1$

observemos que  $\frac{\langle Sx, x \rangle}{\langle x, x \rangle} = \alpha_1$  ya que  $S = \begin{bmatrix} \alpha_1 & & \\ & \dots & \\ & & \alpha_1 \end{bmatrix}$

por lo tanto  $\lim_{\epsilon \rightarrow 0} \frac{\langle \Delta^* x, x \rangle_{\epsilon}}{\langle x, x \rangle_{\epsilon}} = \frac{\langle Sx, x \rangle}{\langle x, x \rangle}$

Si tomamos  $\delta > 0$  entonces existe  $\epsilon > 0$  y una base  $\beta_{\epsilon}$  tal que

$$\frac{\langle \Delta^* x, x \rangle_{\epsilon}}{\langle x, x \rangle_{\epsilon}} \leq \alpha_1 + \delta$$

de donde  $\langle \Delta^* x, x \rangle_{\epsilon} \leq (\alpha_1 + \delta) \langle x, x \rangle_{\epsilon}$  para todo  $x$  en  $\mathbb{R}^n$

por lo tanto  $\langle \Delta^* x, x \rangle_{\epsilon} \leq C \|x\|_{\epsilon}^2$  donde  $C = (\alpha_1 + \delta)$

Como  $\alpha_1 < \beta$ , tomando  $\delta = \beta - \alpha_1$  se tiene que existe una base  $\beta_{\epsilon}$  de  $\mathbb{R}^n$  tal que  $\langle \Delta^* x, x \rangle_{\epsilon} \leq \beta \|x\|_{\epsilon}^2$  que es lo que queríamos demostrar (reCORDAR que  $\Delta^*$  es la representación de  $\Delta$  en la base  $\beta_{\epsilon}$ ).

En forma análoga se demuestra el lema para el caso en que  $\Delta$  está representada por una matriz de la forma:

$$\begin{bmatrix} D_1 & & \\ I & D_1 & \\ & \dots & \\ & & I & D_1 \end{bmatrix}$$

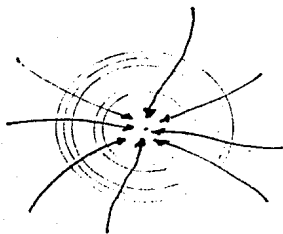
donde  $D_1 = \begin{bmatrix} \alpha_1 & -\beta_1 \\ \beta_1 & \alpha_1 \end{bmatrix}$ ,  $I = \begin{bmatrix} 1 & 0 \\ 0 & 1 \end{bmatrix}$  ■

Como consecuencias inmediatas de este lema tenemos los siguientes resultados:

Corolario 1.4 Sea  $x' = \Delta x$ , los valores propios de  $\Delta$  tienen parte real negativa ( $\text{Re}(\lambda) < 0$  para todo  $\lambda$  valor propio de  $\Delta$ ). Entonces existe una base  $\mathcal{B}$  de  $\mathbb{R}^n$  y un producto interno asociado a ella tal que toda trayectoria solución cruza transversalmente a todas las esferas

$$S_a = \{ x \in \mathbb{R}^n \mid |x| = a, a > 0 \},$$

donde  $|x|$  representa la norma inducida por este producto interno.



Demostración: sea  $\delta < 0$  tal que  $\text{Re}(\lambda) \leq \delta$  para todo valor propio de  $\Delta$ . Sea  $x(t)$  solución de  $x' = \Delta x$ ,  $x(t) = (x_1(t), \dots, x_n(t))$ . Podemos suponer que este sistema ya está representa-

do en la base de  $\mathbb{R}^n$  mencionada en el lema 1.3, calculamos ahora la derivada con respecto al tiempo de la norma de la solución  $x(t)$  ( $x(t) \neq 0$  para  $t$  en  $\mathbb{R}$ )

$$\begin{aligned} \frac{d}{dt} |x(t)| &= \frac{d}{dt} \left[ \sum_{j=1}^n x_j^2 \right]^{1/2} \\ &= \frac{\sum_{j=1}^n x_j x_j'}{\left[ \sum_{j=1}^n x_j^2 \right]^{1/2}} \end{aligned}$$

de donde 
$$\frac{d}{dt} |x(t)| = \frac{\langle x, x' \rangle}{|x|}$$

como  $\Delta x = x'$ , tenemos 
$$\frac{d}{dt} |x(t)| = \frac{\langle x, \Delta x \rangle}{|x|}$$

ahora, por el lema sabemos que  $\langle x, \Delta x \rangle \leq \delta |x|^2$ ,

entonces 
$$\frac{\langle x, \Delta x \rangle}{|x|} \leq \delta |x|$$

y por lo tanto 
$$\frac{d}{dt} |x(t)| \leq \delta |x|$$

pero como  $\delta < 0$ , concluimos que  $\frac{d}{dt} |x(t)| < 0$  (para toda solución distinta de la solución  $x(t) \equiv 0$ ) ■

Corolario 1.5 Sea  $x' = \Delta x$ , los valores propios de  $\Delta$  son parte real negativa. Entonces toda trayectoria solución cumple con:

$$\lim_{t \rightarrow \infty} x(t) = 0$$

Demostración: Sabemos que  $\frac{d}{dt} |x(t)| \leq \delta |x|$

entonces 
$$\frac{\frac{d}{dt} |x(t)|}{|x(t)|} \leq \delta$$

pero esto podemos escribirlo así  $\frac{d}{dt} [\ln |x(t)|] \leq \delta$

e integrando obtenemos:

$$\ln |x(t)| - \ln |x(0)| \leq \delta t$$

$$\ln \frac{|x(t)|}{|x(0)|} \leq \delta t$$

$$\frac{|x(t)|}{|x(0)|} \leq e^{\delta t}$$

entonces  $|x(t)| \leq |x(0)| e^{\delta t}$  como  $\delta < 0$ , si tomamos límite de ambos

lados de la desigualdad obtenemos  $\lim_{t \rightarrow \infty} |x(t)| = 0$  ■

Observemos que estos resultados tienen sus equivalentes en el caso de que la parte real de todos los valores propios fuera estrictamente mayor que cero.

Definición 1.6 Dada la ecuación  $x' = Ax$  llamaremos fuente al punto unitivo del campo  $A$ , si para toda solución  $x(t)$  distinta de la solución  $x(t) \equiv \vec{0}$  se tiene que:

$$\lim_{t \rightarrow \infty} |x(t)| = \infty$$

Llamaremos sumidero al punto unitivo, si para toda solución  $x(t)$  se tiene que:

$$\lim_{t \rightarrow \infty} |x(t)| = 0$$

Relacionaremos, ahora, estos resultados con los campos hiperbólicos.

Teorema 1.7 Si  $L \in \mathcal{L}(\mathbb{R}^n)$  es hiperbólico, entonces existe una única descomposición de  $\mathbb{R}^n$  en suma directa de dos subespacios,  $\mathbb{R}^n = E^s \oplus E^u$ , donde  $E^s$  y  $E^u$  son invariantes bajo  $L$  (y bajo el flujo asociado a  $L$ ) tales que los valores propios de  $L^s = L|_{E^s}$  tienen parte real negativa y los valores propios de  $L^u = L|_{E^u}$  tienen parte real positiva.

Demostración: La demostración es consecuencia del teorema de la forma canónica de Jordan [Hir.]. Dado  $L \in \mathcal{L}(\mathbb{R}^n)$  existe una base  $\Gamma = \{\gamma_1, \dots, \gamma_n\}$  de  $\mathbb{R}^n$  tal que la matriz asociada a  $L$  es de la forma:





$$\begin{bmatrix} \Delta_1 & & & \\ & \Delta_2 & & \\ & & B_1 & \\ & & & B_2 \\ & & & & \Delta_3 & & \\ & & & & & & \Delta_4 \end{bmatrix} \quad \text{y} \quad \begin{bmatrix} C_1 & & & \\ & C_2 & & \\ & & D_1 & \\ & & & D_2 \\ & & & & C_3 & & \\ & & & & & & D_3 & \\ & & & & & & & D_4 \end{bmatrix}$$

respectivamente, con lo que terminamos la demostración ■

Observemos que si  $x(t)$  es solución de  $x' = \Delta x$ ,  $\Delta$  es hiperbólico y la condición inicial para  $x(t)$  está en  $E^s$  ( $x(0) \in E^s$ ), entonces

$$\lim_{t \rightarrow \infty} x(t) = \bar{0}$$

en cambio si la condición inicial está en  $E^u$  entonces

$$\lim_{t \rightarrow \infty} |x(t)| = \infty$$

Esto es,  $\Delta$  restringido a  $E^s$  es un sumidero y  $\Delta$  restringido a  $E^u$  tiene una fuente.

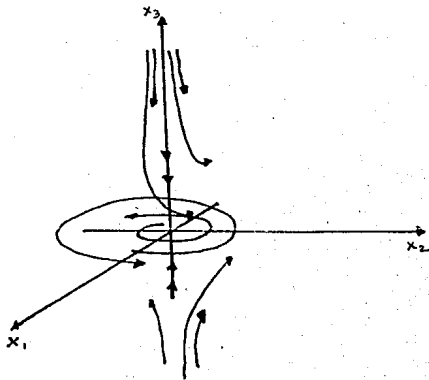
Consideremos el siguiente ejemplo:

$$x' = \Delta x \quad \text{donde} \quad \Delta = \begin{bmatrix} 1 & -1 & 0 \\ 1 & 1 & 0 \\ 0 & 0 & -1 \end{bmatrix}$$

con condición inicial  $x(0) = (a, b, c)$ .

Las curvas solución están dadas por

$$\begin{aligned} & (\exp \Delta) x(0) \\ &= \exp \begin{pmatrix} 1 & -1 & 0 \\ 1 & 1 & 0 \\ 0 & 0 & -1 \end{pmatrix} \begin{bmatrix} a \\ b \\ c \end{bmatrix} \\ &= \begin{pmatrix} e^t \cos t - e^t \sin t & 0 \\ e^t \sin t & e^t \cos t \\ 0 & 0 & e^{-t} \end{pmatrix} \begin{bmatrix} a \\ b \\ c \end{bmatrix} \end{aligned}$$



por lo tanto  $x(t) = (a e^t \cos t - b e^t \sin t, a e^t \sin t + b e^t \cos t, c e^{-t})$ .

El flujo es:  $\varphi(t, x) = (x_1 e^t \cos t - x_2 e^t \sin t, x_1 e^t \sin t + x_2 e^t \cos t, x_3 e^{-t})$

donde  $x = (x_1, x_2, x_3)$ .

Observamos que  $E^3$  es el eje  $x_3$  y  $E^2$  el plano generado por el eje  $x_1$  y el eje  $x_2$ . Además si  $x \notin E^2$  y  $x \notin E^3$ , entonces

$$\lim_{t \rightarrow \infty} \varphi(t, x) \neq \bar{0}$$

$$\text{y } \lim_{t \rightarrow -\infty} \varphi(t, x) \neq \bar{0}$$

## Sección 2. Campos hiperbólicos y $\mathcal{L}(\mathbb{R}^n)$ .

Mostraremos, en esta parte, que el conjunto de los campos hiperbólicos es abierto y denso en  $\mathcal{L}(\mathbb{R}^n)$ . Para hacerlo veremos primero que la función,  $n$ -valuada, de  $\mathcal{L}(\mathbb{R}^n)$  en  $\mathbb{C}$ , que a cada transformación lineal le asocia su espectro, es continua.

Lema 1.8 Los valores propios dependen continuamente de la transformación lineal.

Demostración: Sea  $L \in \mathcal{L}(\mathbb{R}^n)$ , consideremos en  $\mathbb{R}^n$  la base canónica  $\{e_1, \dots, e_n\}$ , entonces  $L$  tiene asociada una matriz

$$\Delta = \begin{bmatrix} a_{11} & a_{12} & \dots & a_{1n} \\ a_{21} & & & \\ \vdots & & & \\ a_{n1} & \dots & & a_{nn} \end{bmatrix}$$

Los valores propios de  $L$  son las raíces del polinomio  $\det(\Delta - \lambda I) = P(\lambda)$ , esto es  $P(\lambda) = C_n \lambda^n + \dots + C_1 \lambda + C_0$ , donde cada  $C_i$  depende en forma continua de los coeficientes de la matriz, ya que son el resultado de multiplicar y su-

15  
mar de distintas formas los coeficientes  $a_{ij}$ . Abusando de la notación podemos escribir

$P(\lambda) = P(\lambda, a_{11}, \dots, a_{nn})$ , y como las raíces son elementos de  $\mathbb{C}$ , tenemos que

$P$  puede interpretarse como una función de  $\mathbb{C} \times \mathbb{R}^{n^2}$  en  $\mathbb{C}$ .

Sea  $\lambda_1$  raíz del polinomio, supongamos que es de multiplicidad uno, entonces

$$P(\lambda) = (\lambda - \lambda_1) Q(\lambda)$$

donde  $Q(\lambda)$  es un polinomio con coeficientes que también dependen de los  $a_{ij}$ . Co-

mo  $\lambda_1$  es raíz tenemos

$$P(\lambda_1, a_{ij}) = 0$$

donde  $(\lambda_1, a_{ij})$  es un elemento en  $\mathbb{C} \times \mathbb{R}^{n^2}$ .

$$\text{Calculemos ahora } \left. \frac{\partial P}{\partial \lambda} \right|_{(\lambda_1, a_{ij})}$$

aquí podemos considerar a  $P$  una función de  $\mathbb{C}$  en  $\mathbb{C}$ . Como  $P$  tiene forma polinomial es una función holomorfa, entonces

$$\left. \frac{\partial P}{\partial \lambda} \right|_{(\lambda_1, a_{ij})} = P'(\lambda_1)$$

y como  $\lambda_1$  es raíz de multiplicidad uno, tenemos que

$$P'(\lambda_1) \neq 0$$

Si  $P$  es considerada como una función de  $\mathbb{R}^2$  en  $\mathbb{R}^2$ ,  $P(\bar{u}, \bar{v}) = (\bar{u}, \bar{v})$ , tendríamos que:

$$\left. \frac{\partial P}{\partial \lambda} \right|_{(\lambda_1, a_{ij})} = \begin{bmatrix} \frac{\partial \bar{u}}{\partial \bar{u}} & \frac{\partial \bar{u}}{\partial \bar{v}} \\ \frac{\partial \bar{v}}{\partial \bar{u}} & \frac{\partial \bar{v}}{\partial \bar{v}} \end{bmatrix} (\bar{u}_1, \bar{v}_1)$$

donde  $\lambda_1 = (\bar{u}_1, \bar{v}_1)$ . Esta matriz tiene determinante distinto de cero ya que está relacionada con  $P'(\lambda_1)$ .

Consideremos, ahora, la diferencial de  $P: \mathbb{R}^2 \times \mathbb{R}^{n^2} \rightarrow \mathbb{R}^2$  en el punto  $(\lambda_1, a_{ij})$ :

$$DP|_{(u,v,a_{ij})} = \begin{pmatrix} \frac{\partial \bar{u}}{\partial u} & \frac{\partial \bar{u}}{\partial v} & \frac{\partial \bar{u}}{\partial a_{11}} & \dots & \frac{\partial \bar{u}}{\partial a_{nn}} \\ \frac{\partial \bar{v}}{\partial u} & \frac{\partial \bar{v}}{\partial v} & \frac{\partial \bar{v}}{\partial a_{11}} & \dots & \frac{\partial \bar{v}}{\partial a_{nn}} \end{pmatrix}_{(u,v,a_{ij})}$$

observamos que el bloque  $\begin{pmatrix} \frac{\partial \bar{u}}{\partial u} & \frac{\partial \bar{u}}{\partial v} \\ \frac{\partial \bar{v}}{\partial u} & \frac{\partial \bar{v}}{\partial v} \end{pmatrix}_{(u,v,a_{ij})}$

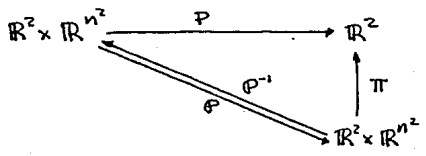
tiene determinante distinto de cero.

Consideremos ahora la función:

$$P : \mathbb{R}^2 \times \mathbb{R}^{n^2} \longrightarrow \mathbb{R}^2 \times \mathbb{R}^{n^2}$$

definida por  $P(u,v,a_{ij}) = (P(u,v,a_{ij}), a_{ij}) = (\bar{u}, \bar{v}, \bar{a}_{11}, \dots, \bar{a}_{nn})$ , tenemos,

ahora, el siguiente diagrama:



donde  $\pi$  es la proyección en las primeras dos coordenadas.

La matriz jacobiana de  $P$  es de la siguiente forma:

$$\begin{pmatrix} \frac{\partial \bar{u}}{\partial u} & \frac{\partial \bar{u}}{\partial v} & \frac{\partial \bar{u}}{\partial a_{11}} & \dots & \frac{\partial \bar{u}}{\partial a_{nn}} \\ \frac{\partial \bar{v}}{\partial u} & \frac{\partial \bar{v}}{\partial v} & \frac{\partial \bar{v}}{\partial a_{11}} & \dots & \frac{\partial \bar{v}}{\partial a_{nn}} \\ 0 & 0 & 1 & 0 & \dots & 0 \\ 0 & 0 & 0 & 1 & \dots & 0 \\ \vdots & \vdots & \vdots & \vdots & \ddots & \vdots \\ 0 & 0 & 0 & \dots & \dots & 1 \end{pmatrix}$$

y evaluada en  $(u,v,a_{ij})$  tiene determinante distinto de cero. Entonces, por el teorema de la función inversa, existe (localmente) una función inversa de  $P$

$$P^{-1}: U \subset \mathbb{R}^2 \times \mathbb{R}^{2n} \rightarrow \mathbb{R}^2 \times \mathbb{R}^{2n}.$$

Fijémonos, ahora, en el conjunto  $P^{-1}(0) = \{(\mu, \nu, a_{11}, \dots, a_{nn}) \mid P(\mu, \nu, a_{11}, \dots, a_{nn}) = 0\}$ ,  $P^{-1}(0) = P^{-1}(P^{-1}(0))$  ya que  $\Pi \circ P = P$

$$\text{ahora } \Pi^{-1}(0) = \{(\bar{\mu}, \bar{\nu}, \bar{a}_{11}, \dots, \bar{a}_{nn}) \mid \bar{\mu} = 0, \bar{\nu} = 0\}$$

entonces  $P^{-1}$  restringido al conjunto  $\Pi^{-1}(0)$  es tal que

$$P^{-1}(0, 0, \bar{a}_{11}, \dots, \bar{a}_{nn}) = (\mu, \nu, a_{11}, \dots, a_{nn})$$

donde  $(\mu, \nu, a_{11}, \dots, a_{nn})$  está en  $P^{-1}(0)$

$$\text{entonces } \mu = \mu(\bar{a}_{11}, \dots, \bar{a}_{nn}) \quad \nu = \nu(\bar{a}_{11}, \dots, \bar{a}_{nn})$$

y como  $\bar{a}_{ij} = a_{ij}$  tenemos que:

$\mu$  y  $\nu$  son funciones que dependen de  $a_{11}, \dots, a_{nn}$ , además  $\mu$  y  $\nu$  son funciones continuas ya que son componentes de una función continua,  $P^{-1}$ , y por lo tanto  $\lambda$  depende continuamente de  $a_{ij}$  (localmente).

En caso de que  $\lambda_i$  no sea raíz simple, entonces

$$P(\lambda) = (\lambda - \lambda_i)^{s_i} Q(\lambda)$$

$$\text{de donde } P(\lambda) = (\lambda - \lambda_i)^{s_i-1} (\lambda - \lambda_i) Q(\lambda)$$

y trabajaríamos con  $(\lambda - \lambda_i) Q(\lambda) = R(\lambda)$ ; observamos que el conjunto de puntos donde se anula  $R(\lambda)$  es un subconjunto del conjunto de puntos donde se anula  $P(\lambda)$ . Con esto terminamos la demostración. ■

Teorema 1.9 El conjunto de los campos hiperbólicos forman un conjunto abierto en  $\mathcal{L}(\mathbb{R}^n)$ .

Demostración: Sea  $\Delta \in \mathcal{L}(\mathbb{R}^n)$  hiperbólico, sean  $\lambda_1, \dots, \lambda_n$  sus valores propios, entonces  $\operatorname{Re}(\lambda_i) \neq 0$  para todo  $i = 1, \dots, n$ , sea  $\varepsilon = \min\{|\operatorname{Re}(\lambda_i)|, i = 1, \dots, n\}$ ,

entonces por el lema 1.8 existe  $\delta > 0$  tal que si  $F$  está en  $B_\delta(\Delta)$  no tiene q los valores propios de  $F$  tienen parte real distinta de cero, y por lo tanto  $F$  es hiperbólico. Concluimos que  $B_\delta(\Delta)$  está totalmente contenida en el conjunto de los campos hiperbólicos y por lo tanto éstos forman un conjunto abierto ■

Observemos que si  $\mu_1, \dots, \mu_n$  son los valores propios de  $F$ , podemos ordenarlos de tal forma que obtenemos

$$|\operatorname{Re}(\mu_i) - \operatorname{Re}(\lambda_i)| < \epsilon \quad i=1, \dots, n$$

con lo que concluimos que  $\Delta$  y  $F$  tienen la misma cantidad de valores propios con parte real negativa.

Teorema 1.10 El conjunto de los campos hiperbólicos forman un conjunto denso en  $L(\mathbb{R}^n)$ .

Demostración: Sea  $L \in L(\mathbb{R}^n)$  no hiperbólico, sea  $\Delta$  su matriz asociada (forma canónica de Jordan), sea  $\delta = \min \{ |\operatorname{Re}(\lambda_i)| \mid \lambda_i \text{ es valor propio de } \Delta \text{ y } \operatorname{Re}(\lambda_i) \neq 0 \}$  (si  $\operatorname{Re}(\lambda_i) = 0$  para todo  $i=1, \dots, n$ , entonces sea  $\delta = 1$ ).

Si tomamos  $t \in \mathbb{R}$  tal que  $0 < t < \delta$ , entonces el campo  $B = \Delta + tI$  es hiperbólico ya que los valores propios de él,  $\mu_1, \dots, \mu_n$ , cumplen con:

$$\operatorname{Re}(\mu_i) = \operatorname{Re}(\lambda_i) + t \quad i=1, \dots, n$$

y por lo tanto  $\operatorname{Re}(\mu_i) \neq 0 \quad i=1, \dots, n$ .

Además la distancia entre  $\Delta$  y  $B$  está dada por

$$\rho(\Delta, B) = \|\Delta - B\| = \|\Delta - (\Delta + tI)\| = \|tI\| = |t| \|I\|$$

por lo tanto  $\rho(\Delta, B) = |t|$ , o sea,  $B$  está tan cercano de  $\Delta$  como deseemos y por ser  $B$  hiperbólico, concluimos el teorema ■

### Sección 3. Campos hiperbólicos y estabilidad estructural

Definición 1.11 Sean  $Z, Y \in \mathcal{I}(\mathbb{R}^n)$ , decimos que el campo  $Z$  es topológicamente equivalente al campo  $Y$  ( $Z \sim Y$ ) si existe un homeomorfismo  $h: \mathbb{R}^n \rightarrow \mathbb{R}^n$  tal que toda trayectoria solución de  $Z$  es transformada en una trayectoria solución de  $Y$  preservando la orientación. En otras palabras, si  $\varphi_t(x)$  es el flujo asociado a  $Z$  y  $\psi_t(x)$  el asociado a  $Y$  entonces para todo  $t$  existe un tiempo  $\tau$  tal que

$$h(\varphi_t(x)) = \psi_\tau(h(x))$$

además si  $t > 0$  entonces  $\tau > 0$ . Si el tiempo se preserva, esto es,  $t = \tau$ , entonces decimos que  $Z$  y  $Y$  son conjugados topológicos.

Observemos que  $\sim$  es una relación de equivalencia. En efecto, tomemos  $Y, Z, W \in \mathcal{I}(\mathbb{R}^n)$ , entonces:

i)  $Y \sim Y$ , tomamos  $h$  como el homeomorfismo identidad.

ii) Si  $Z \sim Y$ , entonces existe  $h: \mathbb{R}^n \rightarrow \mathbb{R}^n$ , homeomorfismo tal que  $h(\varphi_t(x)) = \psi_\tau(h(x))$ , donde  $\varphi_t(x)$  y  $\psi_\tau(x)$  son los flujos asociados a  $Z$  y  $Y$  respectivamente. Consideremos  $h^{-1}: \mathbb{R}^n \rightarrow \mathbb{R}^n$

$$h^{-1}(h(\varphi_t(x))) = h^{-1}(\psi_\tau(h(x)))$$

$$\varphi_t(x) = h^{-1}(\psi_\tau(h(x)))$$

si  $h(x) = y$ , entonces  $x = h^{-1}(y)$ , tenemos que la última igualdad se

transforma en:

$$\varphi_t(h^{-1}(y)) = h^{-1}(\psi_\tau(y))$$



y por lo tanto  $Y \sim Z$ .

iii) Si  $Z \sim Y$  y  $Y \sim W$ , queremos mostrar que  $Z \sim W$ .

Si los flujos asociados son  $\varphi_1(x)$ ,  $\varphi_2(x)$ ,  $\theta_3(x)$ , de  $Z$ ,  $Y$  y  $W$  respectivamente, entonces existen  $h, k$  homeomorfismos de  $\mathbb{R}^n$  tales que

$$h(\varphi_1(x)) = \varphi_2(h(x))$$

$$k(\varphi_2(y)) = \theta_3(k(y))$$

por lo tanto  $k \circ h(\varphi_1(x)) = \theta_3(k \circ h(x))$

con esto concluimos que  $Z \sim W$  ya que  $k \circ h$  es un homeomorfismo de  $\mathbb{R}^n$  en  $\mathbb{R}^n$

Para mostrar algunas propiedades de esta relación de equivalencia necesitamos las siguientes definiciones.

Definición 1.12 Una trayectoria solución por  $x$  es una órbita cerrada si existe  $\lambda > 0$  tal que  $\varphi_\lambda(x) = x$  y  $\varphi_t(x)$  no es trivial, o sea  $\varphi_t(x) \neq x$  para alguna  $t \in \mathbb{R}$ .

Definición 1.13 Sea  $\bar{x} \in \mathcal{L}(\mathbb{R}^n)$ , sea  $\varphi_t(x)$  su flujo. Decimos que  $y \in \mathbb{R}^n$  es un  $\omega$ -punto límite de  $x$  ( $x \in \mathbb{R}^n$ ) si existe una sucesión  $\{t_n\}$ ,  $\lim_{n \rightarrow \infty} t_n = \infty$ , tal que 
$$\lim_{n \rightarrow \infty} \varphi_{t_n}(x) = y$$
.

El conjunto de todos los  $\omega$ -puntos límite de  $x$ , forman el  $\omega$ -conjunto límite  $w(x)$ .

Análogamente definimos  $\alpha$ -punto límite y  $\alpha$ -conjunto límite, reemplazando  $t_n \rightarrow \infty$  por  $t_n \rightarrow -\infty$ .

Por último, un conjunto límite será un conjunto de la forma  $w(x)$  ó  $v(x)$  para algún  $x \in \mathbb{R}^n$ .

Veremos ahora tres proposiciones que muestran que si dos campos son topológicamente equivalentes, entonces el conjunto de sus trayectorias solución es "parecido".

Sean  $X, Y \in \mathcal{L}(\mathbb{R}^n)$  tales que  $X \sim Y$  (bajo  $h: \mathbb{R}^n \rightarrow \mathbb{R}^n$ ), entonces:

a)  $p \in \mathbb{R}^n$  es una singularidad de  $X \iff h(p)$  es una singularidad de  $Y$ .

Denotemos los flujos por  $X_t$  y  $Y_t$ , entonces tenemos

$$h(p) = h(X_t(p)) \quad \text{para todo } t \text{ en } \mathbb{R}, \text{ ya que } p \text{ es singularidad, además}$$

$$h(X_\tau(p)) = Y_\tau(h(p)) \quad \text{para todo } \tau > 0$$

por lo tanto 
$$h(p) = Y_\tau(h(p))$$

de donde concluimos que  $h(p)$  es singularidad para el campo  $Y$ .

b) la trayectoria (o órbita) por  $p$ , solución del campo  $X$  ( $O_x(p)$ ) es cerrada  $\iff O_y(h(p))$  es cerrada.

Si  $\lambda$  es el período de  $O_x(p)$ , tenemos  $X_\lambda(p) = p$  y como

$$h(p) = h(X_\lambda(p)) = Y_{\lambda*}(h(p))$$

se tiene que  $O_y(h(p))$  es cerrada, y por ser  $h$  biyectiva su período es  $\lambda^*$ .

La otra parte de la demostración es inmediata.

c) la imagen bajo  $h$  de  $w(p)$  es  $w(h(p))$ .

Sea  $q \in w(p)$ , por lo tanto existe  $\{t_n\}$  tal que

$$\lim_{t_n \rightarrow \infty} X_{t_n}(p) = q$$

de aquí

$$h(q) = h\left(\lim_{t_n \rightarrow \infty} X_{t_n}(p)\right)$$

como  $h$  es continua

$$h\left(\lim_{t_n \rightarrow \infty} X_{t_n}(p)\right) = \lim_{t_n \rightarrow \infty} h(X_{t_n}(p))$$

pero 
$$h(X_{1/n}(p)) = Y_{2n}(h(p))$$

de donde 
$$h(q) = \lim_{2n \rightarrow \infty} Y_{2n}(h(p))$$

por lo tanto 
$$h(q) \in w(h(p))$$

$$h(w(p)) \subset w(h(p))$$
 y utilizando  $h^{-1}$  obtenemos

$$h(w(p)) \supset w(h(p))$$

concluimos que 
$$h(w(p)) = w(h(p)).$$

Observamos que en estas demostraciones no hemos utilizado el hecho de que los campos son lineales. Por lo tanto las propiedades enunciadas hasta aquí (en esta sección) las tienen un conjunto de campos más amplio que el conjunto de campos lineales, de hecho lo único que se le pide a cada campo es que tenga asociado un flujo.

Para justificar el camino que seguiremos, de aquí en adelante, veamos el siguiente ejemplo:

Sean  $X$  y  $Y \in \mathcal{L}(\mathbb{R}^2)$  definidos por las matrices  $\begin{pmatrix} 1 & 0 \\ 0 & 1 \end{pmatrix}$  y  $\begin{pmatrix} 1 & 1 \\ -1 & 1 \end{pmatrix}$  respectivamente. El flujo de  $X$  es  $\varphi_t(x, y) = e^t(x, y)$  y el de  $Y$  es  $\psi_t(x, y) = e^t(x \cos t + y \sin t, -x \sin t + y \cos t)$ , donde  $(x, y)$  es elemento de  $\mathbb{R}^2$ .

Estos dos campos tienen sus dos valores propios con parte real mayor que cero; en ambos casos el punto crítico es una fuente. Con esta información nos gustaría concluir que son dos campos topológicamente equivalentes.

Construiremos un homeomorfismo  $h: \mathbb{R}^2 \rightarrow \mathbb{R}^2$  apoyándonos en el hecho de que todas las trayectorias, de ambos campos, son transversales a  $S^1 = \{(x, y) \mid |x, y| = 1\}$ , esto con excepción de la trayectoria  $\vec{0}$ .

Definimos  $h$  de la siguiente forma:

- i)  $h(\bar{0}) = \bar{0}$
- ii)  $h(p) = p$  para todo  $p$  en  $S^1$
- iii) Si  $q \in \mathbb{R}^2$  no está en ninguno de los dos casos anteriores, entonces existe un único  $t \in \mathbb{R}$  tal que

$$\varphi_t(q) = p$$

donde  $p \in S^1$ , en base a esto definimos

$$h(q) = \Psi_{-t}(p) = \Psi_{-t}(\varphi_t(q)).$$

Observemos que  $h$  transforma

trayectorias solución de  $X$  en trayectorias solución de  $Y$ . Tomemos  $r \in \mathbb{R}^2$ , sea  $\varphi_t(r)$  la

trayectoria solución que pasa por  $r$  en  $t=0$ , supongamos que  $\varphi_\lambda(r) = p$  donde  $p \in S^1$ , entonces

$$\varphi_{\lambda-t}(\varphi_t(r)) = p \quad t \in \mathbb{R},$$

por lo que

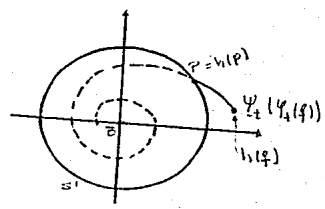
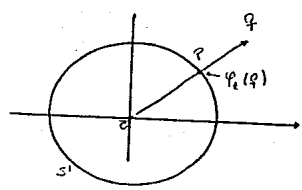
$$\begin{aligned} h(\varphi_t(r)) &= \Psi_{t-\lambda}(\varphi_{\lambda-t}(\varphi_t(r))) \\ &= \Psi_t(\Psi_{-\lambda}(\varphi_{\lambda-t}(\varphi_t(r)))) \\ &= \Psi_t(\varphi_{-\lambda}(\varphi_\lambda(r))) \end{aligned}$$

por lo tanto  $h(\varphi_t(r)) = \Psi_t(h(r))$ .

Que  $h$  es una biyección es inmediato del teorema de existencia y unicidad de soluciones. Lo que no es tan inmediato es que  $h$  sea continua.

Para  $q \neq \bar{0}$  podemos expresar a  $h$  de la siguiente forma:

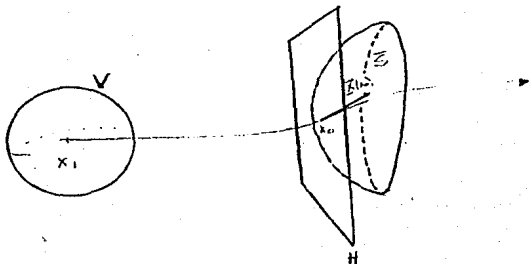
$$\begin{aligned} h(q) &= \Psi_{-t}(\varphi_t(q)) \\ &= \Psi_{-t}(\varphi(\pm|q|, q)) \end{aligned}$$



$$h(q) = \varphi(-t(q), \varphi(t(q), q)).$$

Por lo tanto  $h$  es una composición de funciones. Sabemos que  $\varphi$  y  $\Psi$  son continuas y nos faltaría ver que  $t(q)$  es una función continua. Recordemos que  $t(q)$  es el tiempo necesario para que  $\varphi_t(q)$  esté en  $S'$ .

Lema 1.14 Sean  $\bar{X}$  un campo de clase  $C^1$  en un abierto  $U \subset \mathbb{R}^n$ ,  $x_0$ ,  $x_1$  puntos regulares ( $\bar{X}(x_1) \neq 0$ ,  $\bar{X}(x_0) \neq 0$ ) de una misma trayectoria,  $t_1 \in \mathbb{R}$  tal que  $\varphi_{t_1}(x_1) = x_0$  y  $x_0 \in \bar{S}$ , donde  $\bar{S}$  es una superficie regular transversal al campo en  $x_0$ ; entonces existen vecindades  $V \subset U$  de  $x_1$ ,  $I \subset \mathbb{R}$  de  $t_1$  y una función  $s \in C^1$ ,  $s: V \rightarrow \mathbb{R}$  tales que  $(t, x) \in I \times V$  y  $\varphi_t(x) \in \bar{S}$  si y solo si  $t = s(x)$ , en particular  $s(x_1) = t_1$ .



Demostración: Sea  $H$  el plano tangente a  $\bar{S}$  en  $x_0$ , sea  $\{V_1, \dots, V_n\}$  una base de  $H$ , consideremos en  $U$  el sistema de coordenadas  $(y_1, \dots, y_n)$  donde la base tiene como origen al punto  $x_0$  y está formada por los vectores  $\{\bar{X}(x_0), V_1, \dots, V_n\}$ , éstos son linealmente independientes ya que  $\bar{S}$  es transversal al campo en  $x_0$ .

Dado que  $\bar{S}$  es una superficie regular, existe una vecindad  $x_0$  en  $\bar{S}$  tal que

es la imagen inversa de un valor regular,  $G(y_1, \dots, y_n) = 0$ , donde  $DG_{(x_0)} \neq \bar{0}$ ,  
 notemos que  $DG_{(x_0)} : \mathbb{R}^n \rightarrow \mathbb{R}$ ,  $\text{Ker } DG_{(x_0)} = H$  ya que si  $v \in H$ , enton-  
 ces existe  $(y_1(t), \dots, y_n(t)) \in \bar{S}$  tal que  $(y_1(0), \dots, y_n(0)) = x_0$

$$\text{y } (y_1'(0), \dots, y_n'(0)) = v$$

$$\text{como } G(y_1(t), \dots, y_n(t)) = 0$$

se tiene que  $DG_{(x_0)}(v) = 0$  por lo tanto  $H \subset \text{Ker } DG_{(x_0)}$

y como la dimension de  $\text{Ker } DG_{(x_0)}$  es  $n-1$  y la de  $H$  también, se tiene  
 que  $H = \text{Ker } DG_{(x_0)}$ .

Como  $\bar{S}$  y  $\bar{X}$  son transversales en  $x_0$ , entonces  $\bar{X}_{(x_0)} \notin H$  y por lo  
 tanto  $DG_{(x_0)}(\bar{X}(x_0)) \neq 0$ .

En resumen tenemos:

$$\varphi(t, x) \in \bar{S} \iff G(\varphi(t, x)) = 0,$$

$$G(\varphi(t, x)) = 0,$$

$$\frac{\partial}{\partial t} [G(\varphi(t, x))] = DG_{(x_0)} \left[ \frac{\partial \varphi}{\partial t}(t, x) \right] = DG_{(x_0)}(\bar{X}(x_0)),$$

pero  $DG_{(x_0)}(\bar{X}(x_0)) \neq 0$ ,

$$\text{por lo tanto } \frac{\partial}{\partial t} [G(\varphi(t, x))] \neq 0.$$

Por el teorema de la función implícita, existen vecindades de  $t_1$  y  $x_1$  tales que

$$t = s(x) \text{ y } s \in C^1. \blacksquare$$

Gracias a este lema nuestra función  $t(q)$  es continua, y por lo tanto  $h$  es  
 continua en  $q \in \mathbb{R}^2$ ,  $q \neq \bar{0}$ . Veremos ahora que  $h$  es continua en  $\bar{0}$ . Tene-  
 mos que mostrar que dada  $\epsilon > 0$  existe  $\delta > 0$  tal que si  $|q| < \delta$ , entonces

$$|h(q)| < \epsilon.$$

Demostración: Recordemos que  $h(q) = \varphi_{-t}(\varphi_t(q))$  para  $q \neq \bar{o}$ ,  $h(\bar{o}) = \bar{o}$  y que  $\lim_{t \rightarrow -\infty} |\varphi_t(p)| = 0$  para todo  $p$  en  $S^1$ . Como  $S^1$  es compacto, se tiene que para todo  $\varepsilon > 0$  existe  $\lambda \in \mathbb{R}$  tal que

$$|\varphi_\lambda(p)| < \varepsilon \quad \text{para todo } p \in S^1, \lambda \text{ sólo depende de } \varepsilon.$$

Además si  $t < \lambda$  tenemos

$$(3.1) \quad |\varphi_t(p)| < \varepsilon \quad \text{para todo } p \in S^1, \text{ (observemos que } \lambda < 0).$$

Consideremos  $\varphi_{-\lambda} : \mathbb{R}^2 \rightarrow \mathbb{R}^2$ ,  $\varphi_{-\lambda}$  es continua, por lo tanto para  $\varepsilon > 0$  (la misma que en (3.1)), existe  $\delta > 0$  tal que si  $|r| < \delta$  entonces

$$|\varphi_{-\lambda}(r)| < 1$$

esto quiere decir que  $\varphi_{-\lambda}(r)$  aún no pertenece a  $S^1$ . Llamemos  $s(r) \in \mathbb{R}$  al tiempo tal que  $\varphi_{s(r)}(r) \in S^1$ , entonces  $s(r) > -\lambda$ , y de aquí  $-s(r) < \lambda$ .

Entonces si  $|r| < \delta$

$$\begin{aligned} h(r) &= \varphi_{-s(r)}(\varphi_{s(r)}(r)) \\ &= \varphi_{-s(r)}(p) \quad \text{donde } p \in S^1, \end{aligned}$$

como  $-s(r) < \lambda$ , por (3.1) tenemos

$$|\varphi_{-s(r)}(p)| < \varepsilon.$$

En resumen, si  $|r| < \delta$ , entonces  $|h(r)| < \varepsilon$  ■

El último detalle es mostrar que  $h^{-1}$  es continua; pero  $h^{-1}$  es de la forma:

i)  $h^{-1}(\bar{o}) = \bar{o}$

ii)  $h^{-1}(p) = p$  para todo  $p$  en  $S^1$

iii)  $h^{-1}(m) = \varphi_{-t}(\varphi_t(m))$  ya que  $h(q) = \varphi_{-t}(\varphi_t(q))$  y observamos que  $h \circ h^{-1} = h^{-1} \circ h = I$

Entonces la demostración de que  $h^{-1}$  es continua es igual a la demostración de la continuidad de  $h$ .

Con esto terminamos nuestro ejemplo. Las demostraciones que en él hicimos han sido lo bastante generales para poder concluir, casi inmediatamente, el siguiente lema.

Lema 1.15 Dos campos lineales en  $\mathbb{R}^n$  que tienen todos sus valores propios con parte real estrictamente mayor que cero son topológicamente equivalentes.

Demostración: Sean  $\Delta, B \in \mathcal{L}(\mathbb{R}^n)$  tales que sus valores propios tienen parte real mayor que cero. Entonces por el corolario existen  $A, C$  bases de  $\mathbb{R}^n$  y  $S_A^1$  y  $S_B^1$  esferas unitarias tales que son transversales a los flujos definidos por  $\Delta$  y  $B$  respectivamente.

Observemos que  $S_A^1$  y  $S_B^1$  son homeomorfos y a que cada una de ellas es homeomorfa a  $S^1$  en la norma usual bajo la aplicación

$$x \longrightarrow \frac{x}{|x|}$$

llamemos  $K$  al homeomorfismo entre  $S_A^1$  y  $S_B^1$ .

Para mostrar que  $\Delta$  y  $B$  son topológicamente equivalentes definimos

$$h: \mathbb{R}^n \rightarrow \mathbb{R}^n \quad \text{así:}$$

$$i) \quad h(0) = 0$$

$$ii) \quad h(p) = K(p) \quad \text{para todo } p \text{ en } S_A^1$$

$$iii) \quad h(q) = \Psi_{-t|q|} \circ K \circ \Psi_{t|q|}(q) \quad \text{donde } \Psi_t \text{ y } \Psi_{-t} \text{ son los flujos de}$$

$\Delta$  y  $B$  respectivamente y  $t(q) \in \mathbb{R}$  es tal que  $\Psi_{t|q|}(q) \in S_A^1$ .

La demostración de que  $h$  es un homeomorfismo que transforma trayectorias



28

solución de  $A$  en trayectorias solución de  $B$  es igual a la hecha en el ejemplo.

Observese que el mismo resultado se obtiene si ambos campos tienen todos sus valores propios con parte real negativa. Esto es, en lugar de tener dos campos con fuentes tendríamos los campos con sumideros.

Nuestro siguiente paso es extender estos resultados a campos hiperbólicos cuya singularidad no es fuente ni sumidero.

Teorema 1.16 Sean  $L$  y  $T \in \mathcal{L}(\mathbb{R}^n)$  hiperbólicos, entonces  $L$  y  $T$  tienen la misma cantidad de valores propios (contando multiplicidad) con parte real menor que cero, si y sólo si son topológicamente equivalentes.

Demostración: Si  $L$  y  $T$  tienen la misma cantidad de valores propios con parte real negativa, y  $E^s, E^{s'}$  son sus subespacios estables respectivamente, entonces

$$\dim E^s = \dim E^{s'}$$

Restringidos a  $E^s$  y  $E^{s'}$ ,  $L$  y  $T$  son sumideros, por lo tanto existe un homeomorfismo

$$h_s : E^s \rightarrow E^{s'}$$

tal que  $L|_{E^s} = L^s$  y  $T|_{E^{s'}} = T^s$  son topológicamente equivalentes por lo tanto  $h_s$  cumple con

$$h_s(\varphi_t^s(p)) = \varphi_t^{s'}(h_s(p)) \quad \text{donde } \varphi_t, \varphi_t^s \text{ son los flujos de}$$

$L$  y  $T$  respectivamente, y  $\varphi_t^s, \varphi_t^{s'}$  su respectiva restricción a  $E^s$  y  $E^{s'}$ .

De la misma forma vemos que existe un homeomorfismo

$$h_m : E^m \rightarrow E^{m'}$$

$$y \quad h_m(\varphi_t^m(p)) = \varphi_t^{m'}(h_m(p))$$

Definimos  $h: \mathbb{R}^n \rightarrow \mathbb{R}^n$  de la siguiente forma:

$$h: E^s \oplus E^u \rightarrow E^s \oplus E^u$$

si  $x \in \mathbb{R}^n$ ,  $x = x^s + x^u$  donde  $x^s \in E^s$ ,  $x^u \in E^u$ , entonces

$$h(x) = h(x^s + x^u) = h_s(x^s) + h_u(x^u).$$

Podemos escribir  $h = h_s \oplus h_u$  y observar que  $h$  hereda las propiedades que lo hacen un homeomorfismo. Mostraremos, entonces, solamente que  $h$  transforma trayectorias de  $L$  en trayectorias de  $T$ .

$$\begin{aligned} h(\Psi_t(x)) &= h(\Psi_t(x_s + x_u)) = h(\Psi_t^s(x_s) + \Psi_t^u(x_u)) \\ &= h_s(\Psi_t^s(x_s)) + h_u(\Psi_t^u(x_u)) = \Psi_t^s(h_s(x_s)) + \Psi_t^u(h_u(x_u)) \\ &= \Psi_t(h_s(x_s) + h_u(x_u)) = \Psi_t(h(x_s + x_u)) \end{aligned}$$

por lo tanto  $h(\Psi_t(x)) = \Psi_t(h(x))$ .

Ahora supongamos que  $L$  y  $T$  son equivalentes bajo  $h$ , homeomorfismo. Observe mos que  $h(\bar{0}) = \bar{0}$  ya que  $h$  transforma singularidades en singularidades. Mostrare mos, a continuación, que  $E^s$  y  $E^{s'}$  tienen la misma dimensión.

Si  $x \in E^s$ , entonces  $w(x) = \bar{0}$  y como  $h(w(x)) = w(h(x))$  tenemos que  $w(h(x)) = \bar{0}$   
 y por lo tanto  $h(x) \in E^{s'}$   
 concluimos que  $h(E^s) \subset E^{s'}$ .

Por argumentos similar tenemos que  $h^{-1}(E^{s'}) \subset E^s$   
 entonces  $E^s$  y  $E^{s'}$  son homeomorfos, de aquí que  $\dim E^s = \dim E^{s'}$  y por lo tanto  $L$  y  $T$  tienen la misma cantidad de valores propios con parte real negativa. ■

Definición 1.17 Un campo  $L \in \mathcal{L}(\mathbb{R}^n)$  es estructuralmente estable si existe una vecindad  $N$  de él, tal que para todo campo lineal  $Y$ , tal que  $Y \in N$ , se tiene que  $Y$  es topológicamente equivalente a  $L$ .

A partir de esta definición inmediatamente encontramos campos que no son estructuralmente estables. Consideremos  $\Delta \in \mathcal{L}(\mathbb{R}^n)$  tal que el Kernel de  $\Delta$  sea distinto de  $\{0\}$ , esto es, el conjunto de singularidades es todo un subespacio de  $\mathbb{R}^n$  no trivial; pero los campos hiperbólicos forman un conjunto denso en  $\mathcal{L}(\mathbb{R}^n)$ , entonces para toda vecindad  $N$  de  $\Delta$  existe  $Y$  campo hiperbólico tal que  $Y \in N$ , pero  $\Delta$  y  $Y$  no pueden ser topológicamente equivalentes ya que el homeomorfismo transforma puntos singulares de  $\Delta$  en puntos singulares de  $Y$  en forma biyectiva, por lo tanto habría una correspondencia uno a uno entre  $\text{Ker } \Delta$  y  $\{0\}$ , lo cual es una contradicción.

Concluimos este capítulo con el siguiente resultado:

Teorema 1.18 El conjunto de los campos estructuralmente estables en  $\mathcal{L}(\mathbb{R}^n)$  es el conjunto de los campos hiperbólicos.

Demostración: Sea  $L \in \mathcal{L}(\mathbb{R}^n)$  hiperbólico, ya que los campos hiperbólicos forman un conjunto abierto, existe  $N$  vecindad de  $L$  tal que si  $\bar{X} \in N$  entonces  $\bar{X}$  es hiperbólico, además con la misma cantidad de valores propios con parte real negativa que  $L$ , por lo tanto  $L$  y  $\bar{X}$  son topológicamente equivalentes. Concluimos que  $L$  es estructuralmente estable, o sea:

$$\{\text{Campos hiperbólicos}\} \subset \{\text{Campos estructuralmente estables}\}$$

Para ver la contención inversa mostraremos que si  $\Delta \in \mathcal{L}(\mathbb{R}^n)$  no es hiper-

bólico entonces  $\Delta$  no es estructuralmente estable.

Sea  $\Delta \in \mathcal{L}(\mathbb{R}^n)$  no hiperbólico, para toda vecindad  $N$  de  $\Delta$  consideremos los campos  $B = \Delta + \delta I$  y  $C = \Delta - \delta I$ , donde  $\delta < \min \{ |\operatorname{Re}(\lambda_i)| \mid \lambda_i \text{ es valor propio de } \Delta, \operatorname{Re}(\lambda_i) \neq 0 \}$ , y  $\delta$  suficientemente pequeño para que

$$B \in N \text{ y } C \in N,$$

si  $\Delta$  fuera estructuralmente estable, entonces

$$\Delta \sim B \text{ y } \Delta \sim C$$

y por lo tanto  $B \sim C$  pero esto es una contradicción ya que la cantidad de valores propios de  $B$  con parte real negativa es distinta a la cantidad de valores propios de  $C$  con parte real negativa. ■

## Capítulo II

En esta parte trabajaremos con campos definidos en un subconjunto de  $\mathbb{R}^2$ . Serán campos con derivadas parciales continuas, esto es, elementos de  $C^1$ . En la primera sección daremos las primeras definiciones y recordaremos el teorema de Poincaré-Bendixon. De la segunda sección en adelante tomaremos un campo estructuralmente estable y trataremos de ir descubriendo cuáles son sus características. En particular nos interesará describir lo más ampliamente posible el conjunto de sus trayectorias solución. En la segunda sección estudiaremos los puntos singulares; mostraremos que un campo estructuralmente estable tiene una cantidad finita de este tipo de puntos, todos ellos simples y sus raíces características con parte real distinta de cero. En la sección tres mostraremos que para un campo estructuralmente estable no puede haber una trayectoria solución que una dos puntos silla. La última sección (la cuarta) la dedicaremos al estudio de las trayectorias cerradas de un campo estructuralmente estable; mostraremos que sólo hay una cantidad finita de ellas, y que en todas se satisface

$$\int_{\gamma} \operatorname{div} \bar{X} dt \neq 0$$

donde  $\gamma$  es la trayectoria cerrada y  $\bar{X}$  es un campo estructuralmente estable.

Sección 1    Definiciones y ejemplos.

Consideremos en  $B^2 = \{P \in \mathbb{R}^2 \mid |P| \leq 1\}$  el siguiente sistema de ecuaciones diferenciales:

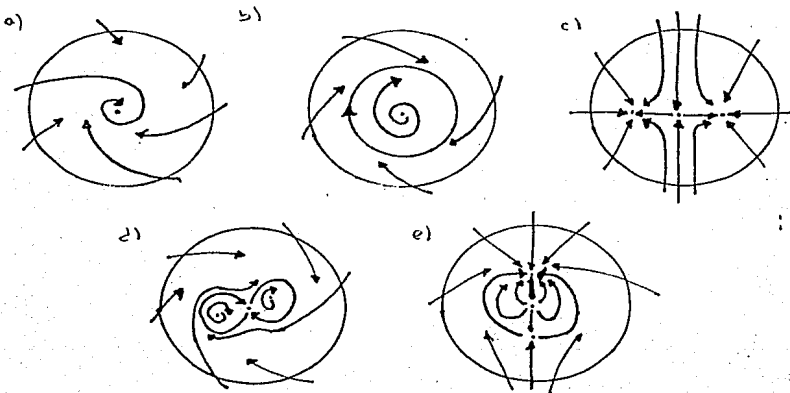
$$(1.1) \quad \begin{aligned} \frac{dx}{dt} &= \bar{X}_1(x, y) \\ \frac{dy}{dt} &= \bar{X}_2(x, y) \end{aligned}$$

donde  $\bar{X}_1, \bar{X}_2 : \Omega \rightarrow \mathbb{R}$ ,  $\bar{X}_1, \bar{X}_2 \in C^1$  y  $\Omega$  es un conjunto abierto que contiene a  $B^2$ . Supongamos que la frontera de  $B^2$  ( $= S^1$ ) es una curva sin contacto con el campo  $\bar{X} = (\bar{X}_1, \bar{X}_2)$ , podemos considerar que

$$\langle \bar{X}(p), p \rangle < 0 \quad \text{para todo } p \text{ en } S^1,$$

esto es, el campo apunta hacia adentro en todo punto de  $S^1$ , Bajo estas condiciones todas las trayectorias solución que intersectan  $S^1$  entran en  $B^2$  cuando  $t$  crece.

Dibujando algunas trayectorias nos podemos dar una idea de como son los campos con que trabajaremos.



Definición 2.1 Llamaremos  $\Sigma$  al conjunto de todos los campos definidos en  $\Omega$  abierto ( $B^2 \subset \Omega$ ) tales que si  $\bar{X} \in \Sigma$ , entonces

i)  $\bar{X}$  apunta hacia adentro en todo punto de  $S^1$

ii)  $\bar{X} \in C^1$ .

Si tenemos otro campo  $\bar{Y} = (Y_1, Y_2)$  en  $\Sigma$  definimos la distancia entre  $\bar{X}$  y  $\bar{Y}$  así:

$$\rho(\bar{X}, \bar{Y}) = \max_{B^2} \left\{ |X_1 - Y_1|, |X_2 - Y_2|, \left| \frac{\partial X_1}{\partial x} - \frac{\partial Y_1}{\partial x} \right|, \left| \frac{\partial X_1}{\partial y} - \frac{\partial Y_1}{\partial y} \right|, \left| \frac{\partial X_2}{\partial x} - \frac{\partial Y_2}{\partial x} \right|, \left| \frac{\partial X_2}{\partial y} - \frac{\partial Y_2}{\partial y} \right| \right\},$$

este máximo existe ya que  $B^2$  es compacto y  $\bar{X}, \bar{Y} \in C^1$ .

Definimos  $B_\delta(\bar{X}) = \{ \bar{Y} \in \Sigma \mid \rho(\bar{X}, \bar{Y}) < \delta \}$ .

Las definiciones de punto singular, órbita cerrada y conjuntos límite se aplican también a elementos del conjunto  $\Sigma$ .

Definición 2.2 Sean  $\bar{X}, \bar{Y} \in \Sigma$ , decimos que  $\bar{X}$  y  $\bar{Y}$  son topológicamente equivalentes si existe un homeomorfismo  $h: B^2 \rightarrow B^2$  tal que transforma trayectorias de  $\bar{X}$  en trayectorias de  $\bar{Y}$  preservando la orientación, esto es si  $\varphi_t$  y  $\psi_t$  son los flujos asociados a  $\bar{X}$  y  $\bar{Y}$  respectivamente, entonces

$$h(\{ \varphi_t(p) \mid t \geq 0 \}) = \{ \psi_\tau(h(p)) \mid \tau \geq 0 \}.$$

Definición 2.3 Un campo  $\bar{X} \in \Sigma$  es estructuralmente estable si existe  $\delta > 0$ , tal que para todo  $\bar{Y} \in B_\delta(\bar{X})$ ,  $\bar{X}$  y  $\bar{Y}$  son topológicamente equivalentes. A este campo  $\bar{Y}$ , le llamaremos una perturbación permitida de  $\bar{X}$  (o simplemente una perturbación).

Notación:  $\Sigma^* = \{ \bar{X} \in \Sigma \mid \bar{X} \text{ es estructuralmente estable} \}$

Parte fundamental de la herramienta con la que vamos a trabajar la forman las siguientes proposiciones (que aquí enunciamos sin demostración), [Hir.].

teorema 2.4 (Poincaré - Bendixson). Un conjunto límite, compacto, no vacío, en  $\mathbb{R}^2$ , que no contiene puntos singulares es una órbita cerrada.

Definición 2.5 Un ciclo límite es una órbita cerrada  $\gamma$  tal que  $\gamma \subset w(x)$  o  $\gamma \subset \alpha(x)$  para algún  $x \notin \gamma$ .

teorema 2.6 Sea  $\gamma$  un  $w$ -ciclo límite. Si  $\gamma = w(x)$ ,  $x \notin \gamma$ , entonces  $x$  tiene una vecindad  $N$  tal que  $\gamma = w(y)$  para todo "y" en  $N$ . En otras palabras, el conjunto

$$\Delta = \{ y \mid \gamma = w(y) \} - \gamma$$

es abierto.

teorema 2.7 Un conjunto compacto no vacío que es positivamente (o negativamente) invariante contiene un ciclo límite o un punto singular.

Corolario 2.8 Sea  $\gamma$  una órbita cerrada y supongamos que el dominio del campo incluye la región  $U$  encerrada por  $\gamma$ . Entonces  $U$  contiene un punto singular o un ciclo límite.

teorema 2.9 Sea  $\gamma$  una órbita cerrada, sea  $U$  la región que encierra ( $U$  contenida en el dominio del campo). Entonces  $U$  contiene un punto singular.



## Sección 2. Puntos singulares.

Sea  $\bar{X} \in \Sigma$  un campo estructuralmente estable. En esta sección estudiaremos cuáles son las características de sus puntos críticos.

Observemos que  $\bar{X} = (X_1, X_2)$  es tal que  $X_1, X_2 \in C^1$ , y por lo tanto (teorema de aproximación de Weierstrass) dada  $\delta > 0$  existe  $\bar{Y} = (Y_1, Y_2)$  tal que  $\bar{Y} \in B_\delta(\bar{X})$ ,  $Y_1$  y  $Y_2$  polinomios. Podemos encontrar estos dos polinomios de tal forma que sean primos relativos (los únicos factores comunes son los polinomios constantes) sumando una  $\varepsilon > 0$  pequeña a alguno de ellos.

Mencionaremos, ahora, un teorema que nos da información acerca de los puntos críticos del campo  $\bar{Y}$ .

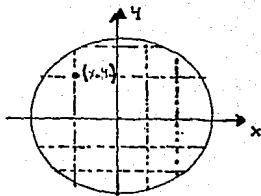
Teorema 2.10 Si  $P: \mathbb{R}^2 \rightarrow \mathbb{R}$ ,  $Q: \mathbb{R}^2 \rightarrow \mathbb{R}$  son polinomios primos relativos, entonces existe sólo un número finito de valores  $y_0$  para los cuales la ecuación

$$P(x, y_0) = 0 \text{ y } Q(x, y_0) = 0$$

tiene una raíz común. [Ahl.].

Este teorema nos dice que el campo  $\bar{Y}$  tiene puntos críticos para una cantidad finita de coordenadas  $x_0$  y una cantidad finita de ordenadas  $y_0$ , por lo tanto  $\bar{Y}$  tiene una cantidad finita de puntos críticos.

Ahora, como  $\bar{Y}$  es una perturbación permisible de  $\bar{X}$ , o sea es topé



lógicamente equivalente a  $\bar{X}$ , y ya que el homeomorfismo  $h$  transforma puntos críticos en puntos críticos en forma biyectiva, concluimos que  $\bar{X}$  tiene a lo más una cantidad finita de puntos críticos. Hemos demostrado lo siguiente:

Lema 2.11 Si  $\bar{X} \in \Sigma^*$ , entonces  $\bar{X}$  tiene una cantidad finita de puntos críticos.

Ahora, si  $p = (0, 0)$  es punto crítico de  $\bar{X}$ , podemos expresar a  $\bar{X}$  de la siguiente forma (en una vecindad de  $p$ ):

$$(2.1) \quad \begin{aligned} X_1(x, y) &= \left. \frac{\partial X_1}{\partial x} \right|_p x + \left. \frac{\partial X_1}{\partial y} \right|_p y + E_1(x, y) \\ X_2(x, y) &= \left. \frac{\partial X_2}{\partial x} \right|_p x + \left. \frac{\partial X_2}{\partial y} \right|_p y + E_2(x, y) \end{aligned}$$

donde  $\lim_{(x,y) \rightarrow (0,0)} \frac{E_i(x,y)}{|(x,y)|} = 0 \quad i = 1, 2$

si tomamos  $\varepsilon = (\varepsilon_1, \varepsilon_2)$ , tenemos que (2.1) se escribe así:

$$\bar{X} = \Delta \begin{pmatrix} x \\ y \end{pmatrix} + \varepsilon \begin{pmatrix} x \\ y \end{pmatrix}$$

donde  $\Delta = D\bar{X}|_p$  es la parte lineal del campo  $\bar{X}$ . Esta matriz  $\Delta$  es en algunos casos de mucha utilidad para reconocer el aspecto topológico en una vecindad del punto crítico  $p$ ; en este sentido enunciamos el siguiente teorema.

Teorema 2.12 (Hartman, Grobman). Sea  $\bar{X}: B^2 \rightarrow \mathbb{R}^2$  un cam-

po  $C^1$  y  $p = (x_0, y_0)$  una singularidad hiperbólica de  $\bar{X}$ , sea

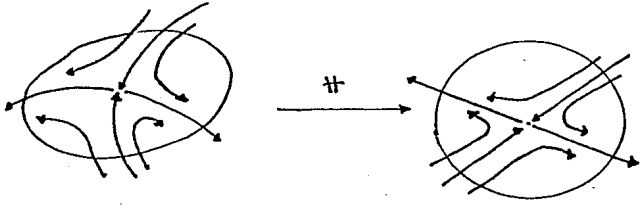
$L = D\bar{X}|_p$ , entonces  $\bar{X}$  en  $p$  es localmente equivalente a  $L$  en  $\bar{0}$ . [Pal.].

Por singularidad hiperbólica consideramos a los puntos  $p \in B^2$  tales que

i)  $\bar{X}(p) = \bar{0}$

ii)  $DX_{(p)} : \mathbb{R}^2 \rightarrow \mathbb{R}^2$  es un campo hiperbólico.

Y por equivalencia local entre  $\bar{X}$  y  $L$  entendemos que existen vecindades  $V$  de  $p$  y  $U$  de  $\bar{o}$ , y un homeomorfismo  $H: V \rightarrow U$  tal que transforma trayectorias de  $\bar{X}$  en trayectorias de  $L$  preservando la orientación, y  $H(p) = \bar{o}$ .



Podemos hacer una primera clasificación de los puntos críticos de  $\bar{X}$  de la siguiente manera:  $p$  es un sumidero, fuente, silla o centro si  $\bar{X}$  en " $p$ " es localmente equivalente a  $L \subset \mathbb{I}(\mathbb{R}^2)$  donde  $L$  tiene un sumidero, fuente, silla (un valor propio negativo y el otro positivo) o centro (valores propios con parte real igual a cero) respectivamente.

Observese que puede haber puntos críticos de otro tipo.

Si tenemos que  $\bar{X}$  y  $\bar{Y}$  son topológicamente equivalentes ( $\bar{X} \sim \bar{Y}$ ) y " $p$ " es un punto crítico de  $\bar{X}$ , entonces  $h(p) = q$  es un punto crítico de  $\bar{Y}$  tal que si  $p$  es un sumidero, fuente, silla o centro, entonces  $q$  es un sumidero, fuente, silla o centro respectivamente.

Para mostrar la validez de esta afirmación vemos que para  $p$  y  $\bar{o}$  existen vecindades  $U$  y  $V$  respectivamente tales que

$$X|_U \sim L|_V$$

y como  $X \sim Y$ , tenemos que  $\nabla|_W \sim L|_V$  donde  $W=h(U)$ .

Un poco más en general podemos concluir que si  $\bar{X} \sim \bar{Y}$ , entonces  $\bar{X}$  y  $\bar{Y}$  tienen la misma cantidad de fuentes; la misma de sumideros; la misma de sillitas y la misma de centros.

Definición 2.13 Sean  $\bar{X} \in \Sigma$ ,  $p$  punto crítico de  $\bar{X}$  aislado y  $S$  una esfera concentricada en  $p$  de radio tan pequeño para que  $p$  sea el único punto crítico en su interior, y el campo  $\bar{X}(s)$  para todo  $s \in S$ , definimos

$$\text{Índice de } S = \frac{1}{2\pi} \int_S \frac{X_1 dx_2 - X_2 dx_1}{X_1^2 + X_2^2} \quad \text{donde } \bar{X} = (X_1, X_2).$$

Este índice del campo  $\bar{X}$  con respecto a  $S$  es  $\frac{1}{2\pi}$  veces la variación angular del vector  $\bar{X}(s)$  cuando  $s$  recorre  $S$  una vez en sentido positivo.

Definición 2.14 Sea  $p \in B^2$ ,  $p$  es un punto singular simple del campo  $\bar{X}$  si  $\left. \frac{\partial(X_1, X_2)}{\partial(x, y)} \right|_p \neq 0$

donde  $\left. \frac{\partial(X_1, X_2)}{\partial(x, y)} \right|_p = \text{determinante de } D\bar{X}|_p$ .

Lema 2.15 Si  $\bar{X}$  es un campo estructuralmente estable, entonces todo punto singular es simple.

Demostración: Supongamos que  $\bar{o}$  es un punto singular tal que  $\left. \frac{\partial(X_1, X_2)}{\partial(x, y)} \right|_{\bar{o}} = 0$ .

Sea  $\varphi: B^2 \rightarrow \mathbb{R}$  un polinomio tal que

$$\varphi(0,0) = 1 \quad \text{y} \quad \varphi(x_0, y_0) = 0 \quad \text{para todo } (x_0, y_0) \text{ punto singular de } \bar{X}.$$

Consideremos el sistema  $\bar{Y} = (Y_1, Y_2)$  donde

$$Y_1(x, y) = X_1(x, y) + \frac{\epsilon a_1}{M} \times \varphi(x, y)$$

$$Y_2(x, y) = X_2(x, y) + \frac{\epsilon a_2}{M} \times \varphi(x, y)$$

donde  $M = \max_{\mathcal{D}} \{ |\varphi|, \left| \frac{\partial \varphi}{\partial x} \right|, \left| \frac{\partial \varphi}{\partial y} \right| \}$  y  $|a_1| < 1$ ,  $|a_2| < 1$  constantes.

Como  $|x| \leq 1$  y  $|y| \leq 1$  se tiene que  $\rho(\bar{X}, \bar{Y}) \leq \epsilon$ . Por lo tanto para  $\epsilon$  suficientemente pequeño  $\bar{Y}$  es una perturbación permitida de  $\bar{X}$ .

Sabemos que  $\bar{X}$  y  $\bar{Y}$  tienen la misma cantidad de singularidades, y no sólo esto, si no que ambos campos se anulan precisamente en los mismos puntos.

Calculemos  $\left. \frac{\partial(Y_1, Y_2)}{\partial(x, y)} \right|_{\bar{0}}$

$$\begin{aligned} \left. \frac{\partial(Y_1, Y_2)}{\partial(x, y)} \right|_{\bar{0}} &= \left| \begin{array}{cc} \frac{\partial X_1}{\partial x} + \frac{\epsilon a_1}{M} \varphi + \frac{\epsilon a_1}{M} \times \frac{\partial \varphi}{\partial x} & \frac{\partial X_1}{\partial y} + \frac{\epsilon a_1}{M} \times \frac{\partial \varphi}{\partial y} \\ \frac{\partial X_2}{\partial x} + \frac{\epsilon a_2}{M} \varphi + \frac{\epsilon a_2}{M} \times \frac{\partial \varphi}{\partial x} & \frac{\partial X_2}{\partial y} + \frac{\epsilon a_2}{M} \varphi + \frac{\epsilon a_2}{M} \times \frac{\partial \varphi}{\partial y} \end{array} \right|_{\bar{0}} \\ &= \left. \frac{\partial(X_1, X_2)}{\partial(x, y)} \right|_{\bar{0}} + \frac{\epsilon a_1}{M} \varphi \left[ \frac{\partial X_1}{\partial y} + \frac{\epsilon a_1}{M} \varphi + \frac{\epsilon a_2}{M} \times \frac{\partial \varphi}{\partial y} \right] \\ &\quad + \frac{\epsilon a_1}{M} \times \frac{\partial \varphi}{\partial x} \left[ \frac{\partial X_2}{\partial y} + \frac{\epsilon a_2}{M} \varphi + \frac{\epsilon a_2}{M} \times \frac{\partial \varphi}{\partial y} \right] + \frac{\partial X_1}{\partial x} \left[ \frac{\epsilon a_2}{M} \varphi + \frac{\epsilon a_2}{M} \times \frac{\partial \varphi}{\partial y} \right] \\ &\quad - \frac{\partial X_2}{\partial x} \left[ \frac{\epsilon a_1}{M} \times \frac{\partial \varphi}{\partial y} \right] - \frac{\epsilon a_1}{M} \times \frac{\partial \varphi}{\partial x} \left[ \frac{\partial X_1}{\partial y} + \frac{\epsilon a_1}{M} \times \frac{\partial \varphi}{\partial y} \right] \end{aligned}$$

evaluando en  $\bar{0}$ , muchos términos se cancelan y nos queda

$$\begin{aligned} \left. \frac{\partial(Y_1, Y_2)}{\partial(x, y)} \right|_{\bar{0}} &= \frac{\epsilon a_1}{M} \frac{\partial X_2}{\partial y} + \frac{\epsilon a_2}{M} \frac{\epsilon a_1}{M} + \frac{\epsilon a_2}{M} \frac{\partial X_1}{\partial x} \\ &= \epsilon \left[ \frac{a_1 a_2}{M} \frac{\partial X_2}{\partial y} + \frac{a_2}{M} \frac{\partial X_1}{\partial x} + \frac{\epsilon a_1 a_2}{M^2} \right]_{\bar{0}} \end{aligned}$$

de aquí que podemos escoger  $a_1$  y  $a_2$  de tal forma que obtengamos

$$(2.2) \quad \left. \frac{\partial(Y_1, Y_2)}{\partial(x, y)} \right|_{\bar{0}} > 0 \quad ; \quad \left. \frac{\partial(Y_1, Y_2)}{\partial(x, y)} \right|_{\bar{0}} < 0$$

Ahora, sea  $S$  un círculo con centro en  $\bar{0}$  que no contiene ningún otro punto singular y tal que el campo  $\bar{X}$  no se anule en él. Sea  $\epsilon > 0$  suficientemente pequeño

para que en ningún punto de  $S$  el campo de cualesquiera dos perturbaciones permitidas  $\bar{Y}$  y  $\bar{Z}$  estén en oposición, entonces el índice de  $S$  es el mismo para todo  $Y \in B_\varepsilon(\bar{X})$ , [4.], pero por (2.2) existen  $\bar{Y}$  y  $\bar{Z}$  permutaciones permitidas tales que

$$\frac{\partial(Y_1, Y_2)}{\partial(x, y)} \Big|_0 > 0 \quad \text{y} \quad \frac{\partial(Z_1, Z_2)}{\partial(x, y)} \Big|_0 < 0.$$

En el primer caso el origen es localmente homeomorfo a un caudal, sumidero o fuente, y en el segundo caso el origen es localmente homeomorfo a un punto silla, lo cual es una contradicción ya que ambos campos tienen el mismo índice y en este caso  $\bar{Y}$  tiene índice 1 y  $\bar{Z}$  índice -1. Por lo tanto todo punto crítico de  $\bar{X}$  es tal que  $\det(D\bar{X})$  en él, es distinto de cero. Todo punto crítico es simple  $\square$

Lema 2.6 Si  $\bar{X}$  es un campo estructuralmente estable, entonces  $\bar{X}$  no tiene ninguna singularidad donde  $D\bar{X}|_0$  tenga valores propios imaginarios puros. En particular  $\bar{X}$  no tiene centros.

Demostración: Sean  $(a_j, b_j)$   $j=1, \dots, n$  las singularidades de  $\bar{X}$ , sean  $m, p \in \mathbb{Z}$  tales que  $m \neq 0$ ,  $p \neq 0$ ,  $m+p \neq 0$ . Definimos  $\varphi_j: B^2 \rightarrow \mathbb{R}$  como sigue

$$\varphi_j(x, y) = m(x - a_j) + p(y - b_j),$$

observamos que  $\varphi_j(a_j, b_j) = 0$ . Podemos elegir  $m$  y  $p$  de tal forma que si  $j \neq k$ , entonces  $\varphi_j(a_k, b_k) \neq 0$ .

Sea  $\varphi = \varphi_1 \cdot \varphi_2 \cdots \varphi_n$ ,  $\varphi: B^2 \rightarrow \mathbb{R}$ , además  $\varphi = 0$  en cada una de las singularidades. Consideremos el campo  $\phi = (\varphi, \varphi)$ , entonces la divergencia de  $\phi$  en  $q \in B^2$  es  $\frac{\partial \varphi}{\partial x} \Big|_q + \frac{\partial \varphi}{\partial y} \Big|_q$ , si nos olvidamos del punto podemos escribir  $\text{div}(\varphi, \varphi) = \frac{\partial \varphi}{\partial x} + \frac{\partial \varphi}{\partial y}$ .

Ahora 
$$\frac{\partial \varphi}{\partial x} = \frac{\partial \varphi_1}{\partial x} \varphi_2 \dots \varphi_n + \dots + \varphi_1 \varphi_2 \dots \varphi_{n-1} \frac{\partial \varphi_n}{\partial x}$$

$$= m \varphi_2 \dots \varphi_n + \dots + \varphi_1 \dots \varphi_{n-1} m$$

$$= m (\varphi_2 \dots \varphi_n + \dots + \varphi_1 \dots \varphi_{n-1})$$

y 
$$\frac{\partial \varphi}{\partial y} = p (\varphi_2 \dots \varphi_n + \dots + \varphi_1 \dots \varphi_{n-1})$$

evaluando 
$$\frac{\partial \varphi}{\partial x} \Big|_{(a_j, b_j)} = m (\varphi_1 \dots \varphi_{j-1} \varphi_{j+1} \dots \varphi_n) \neq 0$$

$$\frac{\partial \varphi}{\partial y} \Big|_{(a_j, b_j)} = p (\varphi_1 \dots \varphi_{j-1} \varphi_{j+1} \dots \varphi_n) \neq 0$$

esto para todo  $j$  desde 1 hasta  $n$ .

Ahora 
$$\text{div}(\varphi, \varphi) \Big|_{(a_j, b_j)} = \left( \frac{\partial \varphi}{\partial x} + \frac{\partial \varphi}{\partial y} \right) \Big|_{(a_j, b_j)} = (m+p) (\varphi_1 \dots \varphi_{j-1} \varphi_{j+1} \dots \varphi_n)$$

por lo tanto  $\text{div}(\varphi, \varphi) \Big|_{(a_j, b_j)} \neq 0$  para  $j = 1, \dots, n$

Sea  $\varepsilon$  suficientemente pequeño tal que el sistema  $\underline{Y}_\varepsilon = (X_1 + \varepsilon \varphi, X_2 + \varepsilon \varphi)$  sea una perturbación permitida y de tal forma que el signo de los jacobianos en las singularidades se conserve (rewardese que por el lema 2.15, todos los puntos críticos de  $\underline{X}$  son simples).

Si existiera un punto crítico de  $\underline{X}$ ,  $(a_k, b_k)$ , donde  $\text{div}(X_1, X_2) \Big|_{(a_k, b_k)} = 0$ , tendríamos que

$$\begin{aligned} \text{div}(Y_1, Y_2) \Big|_{(a_k, b_k)} &= \left( \frac{\partial \varepsilon \varphi}{\partial x} + \frac{\partial \varepsilon \varphi}{\partial y} \right) \Big|_{(a_k, b_k)} \\ &= \varepsilon \left( \frac{\partial \varphi}{\partial x} + \frac{\partial \varphi}{\partial y} \right) \Big|_{(a_k, b_k)} \neq 0 \end{aligned}$$

por lo tanto  $DY \Big|_{(a_k, b_k)}$  es hiperbólico (ya que el jacobiano en  $(a_k, b_k)$  también es distinto de cero). Por lo tanto  $\underline{Y}$  no tiene centros, y como  $\underline{Y} \sim \underline{X}$ , entonces  $\underline{X}$  tampoco tiene centros. Con esto terminamos la segunda parte del lema. Nos falta demostrar que en ningún punto crítico la diferencial de  $\underline{X}$  tiene valores propios con parte

real nula.

Recordemos que para encontrar los valores propios de  $D\bar{X}|_{(q)}$  tenemos que resolver la ecuación  $\det(D\bar{X}|_{(q)} - \lambda I) = 0$ ,

o sea,

$$\begin{vmatrix} \frac{\partial x_1}{\partial x} - \lambda & \frac{\partial x_1}{\partial y} \\ \frac{\partial x_2}{\partial x} & \frac{\partial x_2}{\partial y} - \lambda \end{vmatrix} = 0 \quad (9)$$

de donde  $\frac{\partial x_1}{\partial x} \frac{\partial x_2}{\partial y} - \lambda \left( \frac{\partial x_1}{\partial x} + \frac{\partial x_2}{\partial y} \right) + \lambda^2 - \frac{\partial x_1}{\partial x} \frac{\partial x_1}{\partial y} = 0$

$$\lambda^2 - \lambda (\operatorname{div}(X_1, X_2)) + \frac{\partial(x_1, x_2)}{\partial(x, y)} = 0$$

despejando  $\lambda$  obtenemos

$$\lambda = \frac{\operatorname{div}(X_1, X_2)}{2} \pm \sqrt{\frac{\operatorname{div}(X_1, X_2)^2}{4} - 4 \frac{\partial(x_1, x_2)}{\partial(x, y)}}$$

por lo tanto si  $\operatorname{div}(X_1, X_2) \neq 0$ , entonces los valores propios tienen parte real distinta de cero. Podemos observar, también, que si " $q$ " es punto crítico de  $\bar{X}$ , el jacobiano en  $q$  es mayor que cero y  $\operatorname{div}(X_1, X_2)|_{(q)} = 0$  (o sea,  $D\bar{X}|_{(q)}$  tiene valores propios imaginarios puros), entonces podemos tomar  $\varepsilon$ , tal que  $|\varepsilon|$  pequeño, para que cualquier perturbación  $(Y_1, Y_2) = (X_1 + \varepsilon \varphi, X_2 + \varepsilon \varphi)$  cumpla con

$$\left. \frac{\partial(Y_1, Y_2)}{\partial(x, y)} \right|_{(q)} > 0,$$

podemos modificar  $\varphi$  para obtener dos perturbaciones  $\bar{Y}$  y  $\bar{Y}^*$  tales que

$$\operatorname{div}(Y_1, Y_2)|_{(q)} > 0$$

$$\operatorname{div}(Y_1^*, Y_2^*)|_{(q)} < 0$$

pero  $\bar{Y} \sim \bar{X}$  y  $\bar{Y}^* \sim \bar{X}$ , por lo tanto  $\bar{Y} \sim \bar{Y}^*$  lo cual es una contradicción, ya que en  $q$   $\bar{Y}$  tiene una fuente y  $\bar{Y}^*$  un sumidero y en todos los otros puntos críticos tienen el mismo tipo de singularidad. Por lo tanto  $\bar{X}$  no tiene puntos críticos



donde  $\overline{DX}$  tenga valores propios con parte real nula ■

### Sección 3. Unión de puntos silla.

Aunque nuestro objetivo en esta sección es aparentemente modesto, mostrar que un sistema estructuralmente estable no puede tener una trayectoria solución que una dos puntos silla, necesitaremos de tres lemas, uno de ellos con una demostración bastante extensa.

Lema 2.17 (Gronwall). Sea  $u: [0, z] \rightarrow \mathbb{R}$  una función continua y no negativa. Supongamos que existen  $c \geq 0$ ,  $K \geq 0$  tales que

$$u(t) \leq c + \int_0^t K u(s) ds \quad \text{para todo } t \text{ en } [0, z],$$

entonces  $u(t) \leq ce^{Kt}$  para todo  $t$  en  $[0, z]$ .

Demostración: Lo demostraremos sólo para el caso  $c > 0$ , que es el que precisamente utilizaremos después.

Sea  $U(t) = c + \int_0^t K u(s) ds$ , entonces

$$(2.3) \quad U'(t) = K u(t)$$

por hipótesis tenemos  $u(t) \leq c + \int_0^t K u(s) ds$

de aquí que  $u(t) \leq U(t)$

$$K u(t) \leq K U(t)$$

$$(2.4) \quad K \frac{u(t)}{U(t)} \leq K$$

dividiendo ambos miembros de la igualdad (2.3) por  $U(t)$  obtenemos

$$\frac{U'(t)}{U(t)} = K \frac{u(t)}{U(t)}$$

y por (2.4) concluimos que  $\frac{U'(t)}{U(t)} \leq K$

resolviendo esta ecuación diferencial obtenemos

$$\ln(U(t)) - \ln(U(t_0)) \leq kt$$

$$\ln(U(t)) \leq \ln(U(t_0)) + kt$$

aplicando exponencial

$$U(t) \leq e^{\ln(U(t_0)) + kt}$$

$$U(t) \leq U(t_0)e^{kt}$$

$$U(t) \leq Ce^{kt}$$

y como  $u(t) \leq U(t)$ , concluimos  $u(t) \leq Ce^{kt}$ ,  $t \in [0, 2]$

Lema 2.18 Sean  $\Delta, B \in \Sigma$ ,  $\Delta - B = \eta$ , consideremos los siguientes sistemas en  $B^2$

$$(2.5) \quad \begin{cases} x'(t) = \Delta(x(t)) \\ y'(t) = B(y(t)) \end{cases}$$

$$\text{donde } x(t) = (x_1(t), x_2(t)) \text{ y } y(t) = (y_1(t), y_2(t)).$$

Entonces las trayectorias  $x(t)$ , solución de  $\Delta$ , y  $y(t)$ , solución de  $B$ , se mantienen "cerca" para un tiempo finito si las condiciones iniciales están suficientemente cercanas y  $P(\Delta, B)$  es pequeña.

Demostración: Integrando las igualdades de (2.5) obtenemos

$$x(t) - x(t_0) = \int_0^t \Delta(x(s)) ds$$

$$y(t) - y(t_0) = \int_0^t B(y(s)) ds$$

entonces  $x(t) - y(t) = x(t_0) - y(t_0) + \int_0^t [\Delta(x(s)) - B(y(s))] ds$

$$|x(t) - y(t)| \leq |x(t_0) - y(t_0)| + \int_0^t |\Delta(x(s)) - B(y(s))| ds$$

como  $\Delta - B = \eta$ ,  $-B = \eta - \Delta$ , tenemos

$$|x(t) - y(t)| \leq |x(t_0) - y(t_0)| + \int_0^t |\Delta(x(s)) - \Delta(y(s)) + \eta(y(s))| ds$$

$$= |x(t_0) - y(t_0)| + \int_0^t |\Delta(x(s)) - \Delta(y(s))| + |\eta(y(s))| ds$$

como  $\Delta \in C^1$ , tenemos que  $\Delta$  es Lipschitz, entonces

$$|x(t) - y(t)| \leq |x_0 - y_0| + \int_0^t |\eta(y(s))| ds + \int_0^t K |x(s) - y(s)| ds$$

donde  $x_0 = x(0)$ ,  $y_0 = y(0)$ . Si tomamos  $t$  solamente del intervalo  $[0, \tau]$  obtenemos

$$|x(t) - y(t)| \leq |x_0 - y_0| + |\eta(y(s_0))| \tau + \int_0^t K |x(s) - y(s)| ds$$

donde  $s_0 \in [0, \tau]$  tal que  $|\eta(y(s_0))| = \max \{ |\eta(y(s))|, s \in [0, \tau] \}$ .

Por el lema setiene

$$|x(t) - y(t)| \leq [ |x_0 - y_0| + \delta \tau ] e^{K\tau} \quad \text{para todo } t \in [0, \tau]$$

donde  $\delta = |\eta(y(s_0))|$ .

Esto quiere decir que para todo  $t$  en  $[0, \tau]$  la distancia entre las soluciones  $x(t)$  y  $y(t)$  es pequeña si,  $|x_0 - y_0|$ , las condiciones iniciales están cercanas y si los campos están cercanos ( $\delta$  pequeña). A esto lo llamaremos continuidad con respecto a las condiciones iniciales y con respecto a variaciones pequeñas del campo ■

Lema 2.19 Si  $\bar{X}$  es estructuralmente estable entonces ninguna trayectoria solución va de un punto silla a otro punto silla.

Demostración: Iniciamos haciendo las siguientes observaciones:

Si  $\varepsilon$  ( $0 < \varepsilon < \pi$ ) es suficientemente pequeño y  $\lambda$ ,  $0 < \lambda \leq 1$ , entonces el sistema  $\bar{Y}_\varepsilon$  dado por:

$$Y_{1,\lambda} = X_1 \cos(\lambda\varepsilon) - X_2 \sin(\lambda\varepsilon)$$

$$Y_{2,\lambda} = X_1 \sin(\lambda\varepsilon) + X_2 \cos(\lambda\varepsilon)$$

es una perturbación permitida de  $\bar{X}$ . Para convencernos observemos que

$$|X_1 - Y_{1,\lambda}| = |X_1 (1 - \cos(\lambda\varepsilon)) + X_2 \sin(\lambda\varepsilon)|$$

$$\left| \frac{\partial X_1}{\partial x} - \frac{\partial Y_{1,\lambda}}{\partial x} \right| = \left| \frac{\partial X_1}{\partial x} (\cos(\lambda\varepsilon) - 1) + \frac{\partial X_2}{\partial x} \sin(\lambda\varepsilon) \right|$$

$$\left| \frac{\partial x_1}{\partial y} - \frac{\partial y_{12}}{\partial y} \right| = \left| \frac{\partial x_1}{\partial y} (1 - \cos(\lambda \varepsilon)) + \frac{\partial x_2}{\partial y} (\varepsilon \sin(\lambda \varepsilon)) \right|$$

y por lo tanto  $|x_1 - y_{12}|$ ,  $|x_2 - y_{22}|$ ,  $\left| \frac{\partial x_1}{\partial x} - \frac{\partial y_{12}}{\partial x} \right|$ ,  $\left| \frac{\partial x_1}{\partial y} - \frac{\partial y_{12}}{\partial y} \right|$ ,  $\left| \frac{\partial x_2}{\partial x} - \frac{\partial y_{22}}{\partial x} \right|$ ,  $\left| \frac{\partial x_2}{\partial y} - \frac{\partial y_{22}}{\partial y} \right|$  pueden ser menor que una  $\delta > 0$  dada, si  $\varepsilon$  es suficientemente pequeña.

Observemos también que

$$\begin{bmatrix} y_{12} \\ y_{22} \end{bmatrix} = \begin{bmatrix} \cos(\lambda \varepsilon) & -\sin(\lambda \varepsilon) \\ \sin(\lambda \varepsilon) & \cos(\lambda \varepsilon) \end{bmatrix} \begin{bmatrix} x_1 \\ x_2 \end{bmatrix},$$

esto quiere decir que el vector  $\bar{Y}_\lambda$  es el resultado de rotar el vector  $\bar{X}$ , un ángulo  $\lambda \varepsilon$  en sentido positivo, en todo punto. De aquí concluimos que:

i)  $\bar{X}$  y  $\bar{Y}_\lambda$  tienen los mismos puntos críticos

ii) todo arco de trayectoria de  $\bar{Y}_\lambda$  es un arco sin contacto para todo campo  $\bar{Y}_\mu$  si  $\lambda \neq \mu$

iii) considerando el índice de cada singularidad, el conjunto de puntos silla de  $\bar{X}$  coincide con el conjunto de puntos silla de  $\bar{Y}_\lambda$ ,  $\lambda \in (0, 1]$

Por otro lado, sabemos que si  $p \in B^2$  es punto silla de  $\bar{X}$  entonces las trayectorias que tienen a  $p$  cuando  $t \rightarrow \infty$  ó  $t \rightarrow -\infty$  (líneas también separatrices) tienen tangentes en  $p$ , que sólo dependen de la parte lineal de  $\bar{X}$  [cob.].

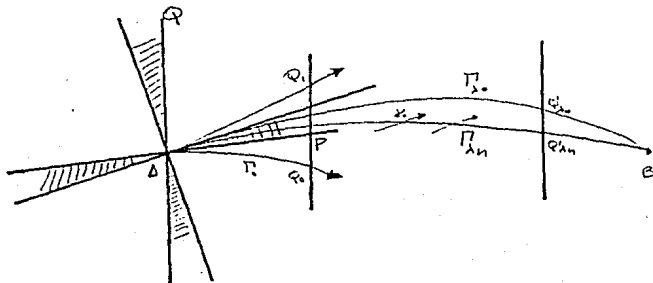
La parte lineal de  $\bar{Y}_\lambda$  está dada por

$$\begin{pmatrix} \frac{\partial y_{12}}{\partial x} & \frac{\partial y_{12}}{\partial y} \\ \frac{\partial y_{22}}{\partial x} & \frac{\partial y_{22}}{\partial y} \end{pmatrix} = \begin{bmatrix} \cos(\lambda \varepsilon) & -\sin(\lambda \varepsilon) \\ \sin(\lambda \varepsilon) & \cos(\lambda \varepsilon) \end{bmatrix} \begin{pmatrix} \frac{\partial x_1}{\partial x} & \frac{\partial x_1}{\partial y} \\ \frac{\partial x_2}{\partial x} & \frac{\partial x_2}{\partial y} \end{pmatrix},$$

por lo tanto las tangentes de las separatrices para el sistema  $\bar{Y}_\lambda$  son obtenidas de las tangentes a las separatrices de  $\bar{X}$  mediante una rotación, entonces para  $\varepsilon$  pequeño las tangentes de  $\bar{Y}_\lambda$  están tan cerca como queramos de las tangentes a las separatrices de  $\bar{X}$ ,

recordemos que el ángulo de rotación decrece cuando  $\lambda$  se acerca al cero.

Si tenemos  $A, B$  dos puntos silla de  $\bar{X}$ , sean  $\overline{\Delta P}$  y  $\overline{\Delta Q}$  las tangentes de las separatrices que tienden a  $A$ . Todas las separatrices de  $\bar{Y}_\lambda$  que tienden a  $A$  lo hacen con una tangente en alguno de los ocho sectores sombreados.



LLamemos  $\Gamma_0$  la separatriz de  $\bar{X}$  y  $\Gamma_\lambda$  de de  $\bar{Y}_\lambda$ . Sea  $p$  tan cercano de  $A$  y  $\epsilon$  suficientemente pequeño para que la perpendicular  $\overline{Q_0 P}$  (a  $\overline{\Delta P}$ ) interseque todas las separatrices desde  $\Gamma_0$  hasta  $\Gamma_1$ , en  $Q_0$  hasta  $Q_1$ , y tal que  $\overline{Q_0 Q_1}$  sea un arco sin contacto con  $\bar{Y}_\lambda$ ,  $\lambda \in (0, 1]$ .

Podemos suponer, además, que no hay puntos críticos en el interior de  $Q_1 \Delta Q_0$ , al que llamaremos sector  $S$ .

Tenemos que  $\Gamma_\lambda$  interseca  $\overline{Q_0 Q_1}$  en el punto  $Q_\lambda$  de tal forma que si  $m < \lambda$ , el arco  $\overline{\Delta Q_m}$  solución de  $\bar{Y}_m$  está entre los arcos  $\overline{\Delta Q_0}$  y  $\overline{\Delta Q_\lambda}$  y estos tres arcos sólo se intersecan en  $A$ . Esta afirmación es en  $S$  y para mostrar su validez observemos que si  $m < \lambda$ , entonces en una vecindad de  $A$ ,  $\Gamma_m$  está "abajo" de  $\Gamma_\lambda$ , ahora, si  $\Gamma_\lambda$  y  $\Gamma_m$  se intersecan en  $m$ , donde  $m$  no es punto singular, tendría

mos que  $Y_n(m)$  sería paralelo a  $Y_m(m)$ , o  $Y_m$  se obtendría de  $\bar{X}(m)$  mediante una rotación de un ángulo mayor que  $\lambda$ , lo cual es una contradicción ya que  $\mu < \lambda$ .



Supongamos que en los tres sectores restantes hemos construido un triángulo curvilíneo análogo a  $Q_1 \Delta Q_0$ .

Con estas bases podemos iniciar realmente la demostración del lema. Recordese que se trata de mostrar que si  $\bar{X}$  es estructuralmente estable, entonces ninguna trayectoria solución de  $\bar{X}$  une dos puntos silla.

Procederemos por reducción al absurdo. Supongamos que existen dos puntos silla,  $C$  y  $D$ , que están unidos por una trayectoria solución del campo  $\bar{X}$ .

Caso 1. Supongamos que  $C \neq D$ . Llamamos  $T_x$  al homeomorfismo de equivalencia entre  $\bar{X}$  y  $\underline{Y}_x$ . Si  $\gamma$ , trayectoria solución, une las sillas  $C$  y  $D$ , entonces  $T_x(\gamma)$  es una trayectoria de  $\underline{Y}_x$  que une las sillas  $C_x$  y  $D_x$ . Como el número de puntos silla es finito se sigue que existen  $A$  y  $B$  puntos silla y un conjunto no numerable  $J \subset (0, 1]$  tal que

si  $\lambda \in J$ , entonces  $T_x(\gamma)$  es una trayectoria que une a  $A$  con  $B$ .

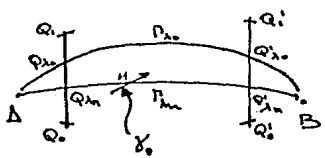
Llamemos  $T_x(\gamma) = \Gamma_\lambda$ . Podemos suponer que cuando  $t$  es creciente  $\Gamma_\lambda$  sale de un sector  $S$  de  $A$  y se acerca a un sector  $S'$  de  $B$ .

Como  $J$  es no numerable podemos encontrar una sucesión monótona

$\{\lambda_i\} \subset J$  convergente a  $\lambda_0 \in J$ .

Llamaremos  $\overline{Q'_0 Q'_1}$  el análogo de  $\overline{Q_0 Q_1}$  para el sector  $S'$ . Sean  $Q_{i_0}$

y  $Q'_2$  los puntos en los cuales  $\Gamma_{\lambda_0}$  interseca  $\overline{Q_0 A_1}$  y  $\overline{Q_0' A_1'}$  respectivamente. Observe  
 vemos que es necesario un tiempo finito para ir de  $Q_{\lambda_0}$  a  $Q'_2$  a través de  $\Gamma_{\lambda_0}$ .



De la continuidad de las soluciones con respecto a condición inicial y perturbaciones  
 pequeñas del campo, se sigue que podemos encontrar  $n$  suficientemente grande para  
 que el arco  $\widehat{Q_{\lambda_n} Q'_{\lambda_n}}$  de  $\Gamma_{\lambda_n}$  se mantenga cerca del arco  $\widehat{Q_{\lambda_0} Q'_{\lambda_0}}$  de  $\Gamma_{\lambda_0}$ , además  
 podemos lograr que no haya algún punto crítico en la región contenida en:

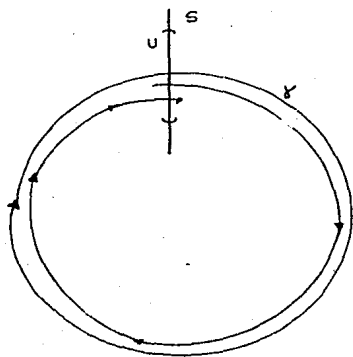
$$\overline{Q_{\lambda_n} Q_{\lambda_0}} \cup \widehat{Q_{\lambda_n} Q'_{\lambda_0}} \cup \overline{Q'_{\lambda_0} Q'_{\lambda_n}} \cup \widehat{Q'_{\lambda_n} Q'_{\lambda_0}},$$

por lo tanto no existe punto crítico alguno entre  $\Gamma_{\lambda_0}$  y  $\Gamma_{\lambda_n}$  excepto  $A$  y  $B$ .

Consideremos una trayectoria  $\gamma_0$ , solución de  $\underline{Y}_{\lambda_0}$  que en el punto  $M \in \Gamma_{\lambda_n}$   
 entra en la región acotada por  $\Gamma_{\lambda_0} \cup \Gamma_{\lambda_n} \cup \Delta \cup B = P$ .

Si  $\Gamma_{\lambda_0}$  y  $\Gamma_{\lambda_n}$  no se intersecan, entonces  $P$  es una curva de Jordan. Como  
 $\underline{Y}_{\lambda_0}$  es sin contacto con  $\Gamma_{\lambda_n}$  se tiene que  $\gamma_0$  no sale por  $\Gamma_{\lambda_n}$ ; tampoco por  
 $\Gamma_{\lambda_0}$  por unicidad de soluciones. Esta información junto con el teorema de Poincaré-  
 Bendixson nos hacen concluir que  $\gamma_0$  tiende a  $A$  ó a  $B$ .

Haciendo la misma construcción para todo  $M$  en  $\Gamma_{\lambda_0}$  concluiríamos que existen  
 una cantidad infinita de trayectorias de  $\underline{Y}_{\lambda_0}$  que tienden a  $A$  (ó  $B$ ), lo que  
 es una contradicción ya que por el Teorema de Hartman Grobman el punto silla  
 $A$  (ó  $B$ ) es localmente equivalente a un punto silla lineal y por lo tanto sólo existen



Si  $x$  está suficientemente cercano a  $\bar{o}$ , entonces, por el lema 2.18, hay un tiempo  $t(x)$  cercano a  $\lambda$  para el cual

$$\varphi_{t(x)}(x) \in S.$$

Por tanto, podemos definir una función

$$T: U \rightarrow S$$

dada por

$$T(x) = \varphi_{t(x)}(x), \quad x \in U$$

donde  $U$  es subconjunto de  $S$ ,  $U$  abierto en  $\mathbb{R}^2$  que contiene a  $\bar{o}$ . Llamaremos a esta función transformación de Poincaré. Sabemos por [Hir.] que  $T$  es de clase  $C^1$ .

Lema 2.20 Si  $\bar{X}$  es estructuralmente estable, entonces sólo tiene una cantidad finita de órbitas cerradas.

Demostración Como  $\bar{X} \in C^1$  tenemos que existe un campo polinomial  $P$ ,  $P = (P_1, P_2) \in \Sigma$  tal que  $P$  es una perturbación permitida de  $\bar{X}$  (Weierstrass). Por tanto existe un campo  $\bar{Y} = (\bar{Y}_1, \bar{Y}_2)$  donde  $\bar{Y}_1$  y  $\bar{Y}_2$  son funciones analíticas, y  $\bar{Y} \in \Sigma$  es una perturbación permitida de  $\bar{X}$ .

Como  $\bar{Y}$  y  $\bar{X}$  son topológicamente equivalentes, algunas de las características del comportamiento topológico de las trayectorias cerradas de  $\bar{Y}$  son las mismas para trayectorias cerradas de  $\bar{X}$ . Por este motivo nuestra demostración seguirá los siguientes pasos:



Paso 1.- Mostraremos que en los sistemas analíticos que tienen órbitas cerradas, éstas son aisladas o forman una banda abierta.

Paso 2.- Mostraremos que los sistemas analíticos estructuralmente estables no pueden tener un conjunto de órbitas cerradas que forme una banda abierta.

Paso 3.- Mostraremos que los campos estructuralmente estables (analíticos o  $C^1$ ) no pueden tener una cantidad infinita de órbitas cerradas.

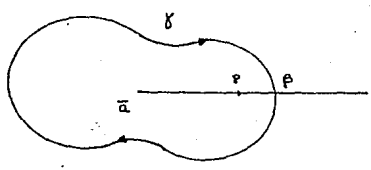
Paso 1.- Sea  $\bar{Y} \in \Sigma$ , analítico. Sea  $\delta$  una órbita cerrada solución de  $\bar{Y}$ , supongamos que  $\delta$  no es aislada, es decir, para todo  $\epsilon > 0$  existe  $p \in B^\Sigma$  tal que  $d(p, \delta) < \epsilon$  y  $p$  es trayectoria solución de  $\bar{Y}$  por  $p$  es cerrada. Por lo tanto si tomamos  $q$  en  $\delta$ , y una normal  $\eta$  a  $\delta$  en  $q$ , consideramos la transformación de Poincaré  $h: \eta \rightarrow \eta$ . Sabemos que si  $\bar{Y}$  es analítica,  $h$  es una función analítica en una vecindad de  $q$ . Consideremos la función  $f: \eta \rightarrow \eta$  definido por:

$$f(x) = h(x) - x$$

$f$  es analítica también,  $f(q) = 0$  y como  $\delta$  no es aislada se tiene que los puntos donde  $f(x) = 0$  tienen una subsecuencia que converge a  $q$ , por tanto  $f$  se anula en una sucesión de puntos de su dominio y esta sucesión converge a  $q$ , donde  $q$  está en el dominio de  $f$ , por tanto  $f \equiv 0$  en una vecindad de  $q$  y  $\delta$  está en una banda de trayectorias cerradas. Por el mismo argumento podemos concluir que esta banda es abierta.

Poso 2.- Demuestra si  $\bar{Y}$  además de analítico es estructuralmente estable muestra  
remos que sus soluciones cerradas no pueden formar una banda abierta  $\Gamma$ .

Supongamos que existe la banda  $\Gamma$ , sea  $\delta$  trayectoria cerrada,  $\delta \in \Gamma$ . Sa-  
bemos que en la región encerrada por  $\delta$  existe al menos un punto crítico de  $\bar{Y}$ ,  
sea  $\bar{a}$  ese punto crítico. Por el teorema de Hartman Grobman existe  $\delta > 0$  tal que  
 $B_\delta(\bar{a})$  está encerrada por  $\delta$  y por todo punto de  $B_\delta(\bar{a})$  no pasa una órbita cerrada.



Sea  $p$  en  $\delta$  tal que  $\bar{a}p$  este en el interior de  $\delta$ . Como  $\Gamma$  es abierta,  
tenemos que el conjunto  $\bar{a}p - (\bar{a}p \cap \Gamma)$  es cerrado en  $\bar{a}p$ . Sea  $p$  el  
punto de  $\bar{a}p$  mas cercano a  $p$ . Llamemos  $\varphi_t(p)$  a la trayectoria solución  
de  $\bar{Y}$  que pasa por  $p$  (observese que podemos suponer que  $p$  no es punto crítico).  
Por la forma en que encontramos  $p$ , tenemos que  $\varphi_t(p)$  no es cerrada. Por el teorema  
de Poincare - Bendixon tenemos que a la semitraectoria positiva

$$\varphi_t^+ = \{ \varphi_t(p) \mid t \geq 0 \}$$

le sucede alguna de las siguientes posibilidades:

- i) tiende a un punto crítico.
- ii) tiende a un ciclo límite (órbita cerrada)
- iii) tiende a una gráfica compuesta por puntos críticos y tra-

yectorias que los unen.

Los casos ii) y iii) no pueden suceder, ya que por continuidad de las soluciones con respecto a las condiciones iniciales tendríamos que trayectorias que pasan en una vecindad de  $P$  tendrían al mismo  $w$ -conjunto límite, lo cual no es cierto ya que en cualquier vecindad de  $p$  siempre encontramos órbitas cerradas.

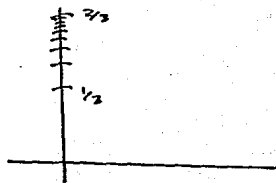
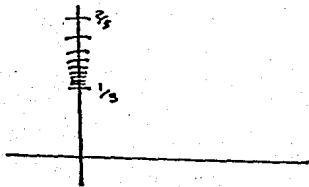
Por el mismo argumento  $\Gamma^+$  no tiene aun sumidero. Por lo tanto esta semi-trayectoria tiene aun punto silla. Pero el mismo razonamiento se puede seguir para la semiórbita negativa  $\Gamma^-$ , y por tanto tendríamos una trayectoria  $\Gamma$ , que une dos puntos silla. Esto último no es posible ya que  $\Sigma$  es estructuralmente estable.

Por lo tanto las órbitas cerradas no pueden formar una banda abierta.

Prso 3.- Tenemos ya que todas las trayectorias cerradas son aisladas (y por lo tanto ciclos límite), sin embargo no es suficiente para afirmar que sólo son una cantidad finita. Consideremos como ejemplos a los conjuntos:

$$A = \left\{ \text{círculos con centro en } \bar{0} \text{ y radio } r = \frac{1}{3} + \frac{1}{n} \mid n \in \mathbb{N}, n \geq 3 \right\}$$

$$B = \left\{ \text{círculos con centro en } \bar{0} \text{ y radio } r = \frac{2}{3} - \frac{1}{n} \mid n \in \mathbb{N}, n \geq 3 \right\}$$



Ambos son subconjuntos de  $\mathbb{E}^2$  con una cantidad numerable de órbitas cerradas, y sin embargo cada una de ellas aislada.

Mostraremos, ahora, que si  $\Sigma$  es analítico o de clase  $C^1$  y estructuralmente estable, entonces sólo tiene una cantidad finita de órbitas cerradas.

Supongamos que  $\Sigma$  tiene una cantidad infinita de órbitas cerradas y aisladas. Como cada una de ellas debe contener en su interior al menos un punto crítico y sólo hay una cantidad finita de ellos, tenemos que existe una cantidad infinita de órbitas cerradas que contienen en su interior el mismo conjunto de puntos críticos  $a_1, a_2, \dots, a_s$ . Sea  $\Gamma = \{ \text{órbitas cerradas que contienen sólo a } a_1, \dots, a_s \}$ .

Sean  $\gamma, \gamma^*$  en  $\Gamma$  y  $d(\gamma, \gamma^*) = \min \{ d(p, q) \mid p \in \gamma, q \in \gamma^* \}$ .

Dado que  $\Gamma \subset \mathbb{B}^2$  y  $\Gamma$  contiene una cantidad infinita de órbitas cerradas, tenemos  $\inf \{ d(\gamma, \gamma^*) \mid \gamma \in \Gamma, \gamma^* \in \Gamma \} = 0$ . Por lo tanto existe una sucesión de órbitas cerradas  $\{ \gamma_\lambda \}_{\lambda \in \mathbb{N}}$  tal que  $\lim_{\lambda \rightarrow \infty} d(\gamma_\lambda, \gamma_{\lambda+1}) = 0$ .

Observemos que esta sucesión tiene una subsucesión que es homeomorfa al conjunto  $A$ , o al conjunto  $B$ , que definimos antes. Sea  $\{ \gamma_n \}_{n \in \mathbb{N}}$  esa subsucesión homeomorfa a  $A$  (el caso para  $B$  es similar). Sea  $C_n$  igual a  $\gamma_n$  uní en su interior, por tanto  $C_n$  es compacto. Observemos que  $C_m \subseteq C_n$  si  $m \geq n$  y que la intersección finita es distinta del vacío

$$\bigcap_{i \in J} C_i \neq \emptyset \quad J \text{ conjunto finito de índices.}$$

Por tanto

$$\bigcap_{\substack{n \in \mathbb{N} \\ n \geq 3}} C_n \neq \emptyset$$

llamemos  $C$  a  $\bigcap_{\substack{n \in \mathbb{N} \\ n \geq 3}} C_n$ ,  $C$  contiene a los puntos críticos  $a_1, a_2, \dots, a_s$ .

Sea  $M \in \partial C$ , podemos suponer  $\bar{Y}(M) \neq \bar{0}$ , consideremos un segmento transversal a  $\bar{Y}$  en  $M$ ,  $\eta_1$  y consideremos la trayectoria solución de  $\bar{Y}$  que pasa por  $M$ ,  $\varphi_t(M)$ .

Fijémonos en la semi-trayectoria  $\varphi_t^+(M)$ . Por el mismo argumento utilizado antes (paso 2)  $\varphi_t^+(M)$  no puede tender a un sumidero, a un ciclo límite, o a una gráfica. La semi-órbita  $\varphi_t^-(M)$  tampoco le sucede lo anterior, ni sale de  $B^2$  cuando  $t$  tiende a menos infinito. Tampoco  $\varphi_t(M)$  puede unir puntos silla, por lo tanto  $\varphi_t(M)$  es una órbita cerrada, pero esto es una contradicción puesto que sería una trayectoria cerrada no aislada.

Por lo tanto  $\bar{Y}$  sólo tiene una cantidad finita de órbitas cerradas ■

Mencionamos al inicio de esta sección la integral

$$\int_{\gamma} \operatorname{div} \bar{X}(\gamma(s)) ds$$

donde  $\gamma$  es una órbita cerrada de  $\bar{X}$ , y  $\operatorname{div} \bar{X} = \frac{\partial X_1}{\partial x} + \frac{\partial X_2}{\partial y}$   $X_1$  y  $X_2$  son las componentes del campo  $\bar{X}$ . Discutiremos ahora su significado.

Consideremos la ecuación diferencial

$$(1) \dots \bar{y}' = A(t)\bar{y} \quad \text{donde } \bar{y} \in \mathbb{R}^2, A(t) \text{ es una matriz de}$$

$2 \times 2$  para todo  $t$  en  $\mathbb{R}$ . Si tenemos dos soluciones  $\bar{y}_1$  y  $\bar{y}_2$ :

$$\bar{y}_1' = A(t)\bar{y}_1, \quad \bar{y}_2' = A(t)\bar{y}_2$$

Podemos formar la ecuación

$$\begin{bmatrix} \bar{y}_1 \\ \bar{y}_2 \end{bmatrix}' = A(t) \begin{bmatrix} \bar{y}_1 \\ \bar{y}_2 \end{bmatrix}$$

es decir  $\bar{Y}' = A(t)\bar{Y}$  donde  $\bar{Y}$  es una matriz de  $2 \times 2$  para

todo  $t$  en  $\mathbb{R}$  y  $\bar{Y}$  tiene como primera columna a  $\bar{y}_1$  y como segunda a  $\bar{y}_2$ .

El rango de  $\overline{Y}(t)$  no depende de  $t$ , es decir, si  $\overline{y}_1(t)$  y  $\overline{y}_2(t)$  son soluciones de  $\mathbf{1}$ , entonces los vectores  $\overline{y}_1(t_0)$  y  $\overline{y}_2(t_0)$  son linealmente independientes si y solo si  $\overline{y}_1(t)$  y  $\overline{y}_2(t)$  son linealmente independientes para todo  $t$  en  $\mathbb{R}$ . Esto es parte del contenido del siguiente teorema.

Teorema 2.21 (Liouville). Sea  $\overline{Y} = \overline{Y}(t)$  una matriz de  $2 \times 2$  para toda  $t$  en  $\mathbb{R}$ , solución de  $\overline{Y}' = A(t)\overline{Y}$ , donde  $A(t)$  es una matriz de  $2 \times 2$  para todo  $t$  en  $\mathbb{R}$  con entradas continuas con respecto a  $t$ , entonces

$$\det \overline{Y}(t) = \det \overline{Y}(t_0) \exp \left[ \int_{t_0}^t \text{tr} A(s) ds \right]$$

donde  $\det \overline{Y}(t)$  es el determinante de la matriz  $\overline{Y}(t)$ . [Har.].

Demostración Sea  $A(s) = \begin{pmatrix} a_{11}(s) & a_{12}(s) \\ a_{21}(s) & a_{22}(s) \end{pmatrix}$

El determinante de  $\overline{Y}(t)$  es:  $\begin{vmatrix} y_{11}(t) & y_{12}(t) \\ y_{21}(t) & y_{22}(t) \end{vmatrix} = y_{11}(t)y_{22}(t) - y_{21}(t)y_{12}(t)$

si derivamos obtenemos:  $\frac{d}{dt}(\det \overline{Y}(t)) = \begin{vmatrix} y_{11}' & y_{12}' \\ y_{21} & y_{22} \end{vmatrix} + \begin{vmatrix} y_{11} & y_{12} \\ y_{21}' & y_{22}' \end{vmatrix}$

Por la ecuación 1 tenemos  $\begin{pmatrix} y_{11}' & y_{12}' \\ y_{21}' & y_{22}' \end{pmatrix} = \begin{pmatrix} a_{11} & a_{12} \\ a_{21} & a_{22} \end{pmatrix} \begin{pmatrix} y_{11} & y_{12} \\ y_{21} & y_{22} \end{pmatrix}$

de donde  $y_{11}' = a_{11}y_{11} + a_{12}y_{21}$   $y_{12}' = a_{11}y_{12} + a_{12}y_{22}$

Por lo tanto

$$\begin{aligned} \frac{d}{dt}(\det \overline{Y}(t)) &= \begin{vmatrix} a_{11}y_{11} + a_{12}y_{21} & a_{11}y_{12} + a_{12}y_{22} \\ y_{21} & y_{22} \end{vmatrix} + \begin{vmatrix} y_{11} & y_{12} \\ y_{21}' & y_{22}' \end{vmatrix} \\ &= \begin{vmatrix} a_{11}y_{11} & a_{11}y_{12} \\ y_{21} & y_{22} \end{vmatrix} + \begin{vmatrix} a_{12}y_{21} & a_{12}y_{22} \\ y_{21} & y_{22} \end{vmatrix} + \begin{vmatrix} y_{11} & y_{12} \\ y_{21}' & y_{22}' \end{vmatrix} \end{aligned}$$

$$\text{donde } \frac{d}{dt} (\det \bar{Y}(t)) = a_{11} \begin{vmatrix} y_{11} & y_{12} \\ y_{21} & y_{22} \end{vmatrix} + \begin{vmatrix} y_{11} & y_{12} \\ y_{21} & y_{22} \end{vmatrix}$$

Haciendo el mismo procedimiento con el otro sumando obtenemos:

$$\begin{aligned} \frac{d}{dt} (\det \bar{Y}(t)) &= a_{11} \begin{vmatrix} y_{11} & y_{12} \\ y_{21} & y_{22} \end{vmatrix} + a_{22} \begin{vmatrix} y_{11} & y_{12} \\ y_{21} & y_{22} \end{vmatrix} \\ &= (\text{traza de } A) \det \bar{Y}(t) \end{aligned}$$

Es decir,  $\det \bar{Y}(t)$  cumple la ecuación diferencial:

$$\varphi' = T\varphi$$

cuya solución es:  $\varphi(t) = \varphi(t_0) \exp \int_{t_0}^t T(s) ds$

Por tanto

$$\det \bar{Y}(t) = \det \bar{Y}(t_0) \exp \int_{t_0}^t \text{traza } A(s) ds$$

Teorema 2.22 Sean  $D \subset \mathbb{R}^2$  un conjunto abierto,  $\bar{X} = (\bar{X}_1, \bar{X}_2)$  un campo vectorial definido en  $D$  de clase  $C^1$ , y una órbita cerrada solución de  $\bar{X}$  de periodo  $\lambda$  y  $T: S_0 \rightarrow S$  la transformación de Poincaré en una sección transversal  $S$  en  $p$ ,  $p \in S$ . Entonces

$$T^1(p) = \exp \int_0^\lambda \text{div } \bar{X}(\bar{x}(t)) dt$$

Demostración Para todo  $t$  en  $\mathbb{R}$  definimos  $A(t) = D\bar{X}(\bar{x}(t))$ , diferencial de  $\bar{X}$  en el punto  $\bar{x}(t)$ . Es decir

$$A(t) = \begin{bmatrix} \frac{\partial \bar{X}_1}{\partial x} & \frac{\partial \bar{X}_1}{\partial y} \\ \frac{\partial \bar{X}_2}{\partial x} & \frac{\partial \bar{X}_2}{\partial y} \end{bmatrix} \bar{x}(t)$$

Sea  $\phi(t)$  una matriz solución de  $\bar{Y}' = A(t)\bar{Y}$  ..... (1)  
con condición inicial

$$\phi(0) = \begin{bmatrix} 1 & 0 \\ 0 & 1 \end{bmatrix} = E$$

Por el teorema anterior, (2.21), se tiene

$$\det \phi(\lambda) = \det \phi(0) \exp \int_0^\lambda \frac{\partial x_1}{\partial x} \Big|_{g(s)} + \frac{\partial x_2}{\partial y} \Big|_{g(s)} ds$$

estar

$$\det \phi(\lambda) = \exp \int_0^\lambda \operatorname{div} \bar{X}(g(s)) ds \dots (2)$$

Sabemos por [Hir.] que la matriz  $\phi(\lambda)$  está dada por

$$\phi(\lambda) = \frac{\partial \varphi}{\partial (x, y)}(\lambda, p) \quad \text{donde } \varphi(t, p) \text{ es el flujo asociado}$$

a  $\bar{X}$ .

Mostraremos, ahora, que  $T'(p) = \det \phi(\lambda)$ .

Como  $\frac{d}{dt}(\varphi(t, p)) \Big|_{t=0} = \bar{X}(p)$  tenemos

$$\begin{aligned} \frac{\partial \varphi}{\partial (x, y)}(\lambda, p)(\bar{X}(p)) &= \frac{\partial \varphi}{\partial (x, y)}(\lambda, p) \left( \frac{d}{dt} \varphi(t, p) \Big|_{t=0} \right) \\ &= \frac{d}{dt} \varphi(\lambda, \varphi(t, p)) \Big|_{t=0} \\ &= \frac{d}{dt} \varphi(\lambda + t, p) \Big|_{t=0} \\ &= \frac{d}{dt} \varphi(t, p) \Big|_{t=0} \\ &= \bar{X}(p) \end{aligned}$$

Por lo tanto  $\frac{\partial \varphi}{\partial (x, y)}(\lambda, p)(\bar{X}(p)) = \bar{X}(p) \dots (3)$

Ahora, sea  $g: (-\epsilon, \epsilon) \rightarrow S$  una parametrización de  $S$  tal que  $g(0) = p$ .

Tenemos:  $T(g(s)) = \varphi(\lambda + \tau(\varphi(\lambda, g(s))), g(s))$

donde  $\tau(\bar{q})$  es el tiempo que le falta a  $\bar{q}$  para llegar a  $S$ .

Derivando con respecto a  $s$  y evaluando en  $s=0$ , obtenemos

$$\begin{aligned} T'(p)g'(0) &= \frac{\partial \varphi}{\partial t}(\lambda, p) \frac{d}{ds} \tau(\varphi(\lambda, g(s))) \Big|_{s=0} + \frac{\partial \varphi}{\partial (x, y)}(\lambda, p)(g'(0)) \\ &= \bar{X}(p) \frac{d}{ds} \tau(\varphi(\lambda, g(s))) \Big|_{s=0} + \frac{\partial \varphi}{\partial (x, y)}(\lambda, p)(g'(0)) \end{aligned}$$



Por lo tanto  $\frac{\partial \varphi}{\partial (\lambda, \mu)} (\lambda, \mu) (g'(0)) = T'(p) g'(0) - \bar{X}(p) \frac{d}{ds} \zeta(\varphi(\lambda, g(s))) \Big|_{s=0}$

Observemos que el conjunto  $\{\bar{X}(p), g'(0)\}$  forman una base de  $\mathbb{R}^2$ .

La última igualdad que obtuvimos junto con (2) nos dan una expresión de la matriz  $\frac{\partial \varphi}{\partial (\lambda, \mu)} (\lambda, \mu)$  en esta base: 
$$\begin{bmatrix} 1 & -\frac{d}{ds} \zeta(\varphi(\lambda, g(s))) \Big|_{s=0} \\ 0 & T'(p) \end{bmatrix}$$

y como  $\frac{\partial \varphi}{\partial (\lambda, \mu)} (\lambda, \mu) = \phi(\lambda)$  concluimos que 
$$d\phi(\lambda) = T'(p)$$

y portanto por (2) tenemos  $T'(p) = \exp \int_0^1 \operatorname{div} \bar{X}(g(s)) ds$  ■

Definición 2.23. Sea  $\gamma$  una órbita cerrada de  $\bar{X}$ ,  $p \in \gamma$ .

Sea  $T$  la transformación de Poincaré por  $p$ . Decimos que  $\gamma$

es hiperbólica si  $T'(p) \neq 1$

o decir, si  $\int_0^1 \operatorname{div} \bar{X}(g(s)) ds \neq 0$ .

Definición 2.24 Sea  $p$  un punto crítico (o singular) de  $\bar{X}$ ,

decimos que  $p$  es hiperbólico si

$$D\bar{X}(p) : \mathbb{R}^2 \rightarrow \mathbb{R}^2 \quad \text{es un campo hiperbólico.}$$

Sabemos por [Hir.] que si  $T'(p)$  es menor que uno, esto es,

$\int_0^1 \operatorname{div} \bar{X}(g(s)) ds$  es menor que cero, entonces  $\gamma$  es una órbita cerrada atractora,

y si  $T'(p)$  es mayor que uno,  $\int_0^1 \operatorname{div} \bar{X}(g(s)) ds > 0$ , entonces  $\gamma$  es repulsora.

Consideremos, ahora, un campo  $\bar{X}$  y una órbita cerrada  $\gamma$  solución de él. Dado que para todo punto  $p$  en  $\gamma$  se tiene que  $\bar{X}(p) \neq 0$  ( $\gamma$  es una curva suave de clase  $C^2$ ), tenemos que para un  $\epsilon > 0$  suficientemente pe-

quóno existe una vecindad tubular  $N$  de  $\delta$ , [Brö.].

$N$  es construida de tal forma que  $N \subset B^2$  y para todo punto  $p$  en  $\delta$ , el segmento normal a  $\delta(p)$ , de longitud  $2\epsilon$  y centrado en  $p$  está contenido en la vecindad  $N$ . Además si  $p$  y  $q$  están en  $\delta$  y  $p \neq q$ , entonces sus respectivos segmentos normales no se intersectan.

Ahora definimos una función  $f: B^2 \rightarrow \mathbb{R}$  de la siguiente forma:

$$f(x,y) = \begin{cases} g(x,y) & \text{si } (x,y) \in N \\ \frac{1}{2} & \text{si } (x,y) \in \text{Interior de } \delta - N \\ -\frac{1}{2} & \text{si } (x,y) \in \text{Exterior de } \delta - N \end{cases}$$

Donde interior de  $\delta$  es el subconjunto de  $B^2$  encerrado por  $\delta$ , exterior de  $\delta$  es el complemento, en  $B^2$ , del interior de  $\delta$  unión  $\delta$ , y  $g(x,y)$  está dada por:

$$g(x,y) = \begin{cases} \frac{\exp\left(\frac{-1}{(t+\epsilon)z}\right)}{\exp\left(\frac{-1}{(t+\epsilon)z}\right) + \exp\left(\frac{-1}{(\epsilon-t)z}\right)} - \frac{1}{2} & \text{si } -\epsilon < t < \epsilon \\ -\frac{1}{2} & \text{si } t = -\epsilon \\ \frac{1}{2} & \text{si } t = \epsilon \end{cases}$$

Donde  $t$  está dado por la siguiente regla: si  $(x,y)$  está en la normal correspondiente a  $p$ , nos fijamos en la longitud del segmento  $\overline{(x,y), P}$ ,  $t$  será esta distancia con signo positivo si  $(x,y)$  está en el interior de  $\delta$  y con signo negativo si  $(x,y)$  está en el exterior de  $\delta$ .

Nuestra función  $f$  tiene las siguientes características:  $f$  es diferencia

ble, al menos de clase  $C^2$ ,  $f$  se anula solamente en  $\gamma$  y para todo punto  $p$  en  $\gamma$  se tiene que  $\left(\frac{\partial f}{\partial x}, \frac{\partial f}{\partial y}\right)_{(p)} \neq (0,0)$  ya que la derivada direccional (en  $p$ )

en dirección de la normal es:

$$\frac{\exp\left(\frac{-z}{\varepsilon^2}\right)}{\exp\left(\frac{-z}{\varepsilon^2}\right)\varepsilon^2} \neq 0$$

Siguiendo una construcción similar podemos obtener, dada una órbita cerrada  $\Gamma$  de  $\bar{X}$ , una función  $F: B^2 \rightarrow \mathbb{R}$  tal que  $F$  se anula sólo en  $\Gamma$  y Gradiente de  $F$  en  $\gamma$  es igual a  $(0,0)$ .

Lema 2.25 Si  $\bar{X}$  es estructuralmente estable y  $\gamma$  es una solución, órbita, cerrada, entonces

$$h(\gamma) = \int_{\gamma} \operatorname{div}(\bar{X})(x) dx \neq 0.$$

### Demostración

Sean  $\delta_1, \delta_2, \dots, \delta_p$  las órbitas cerradas de  $\bar{X}$ . Supongamos que  $h(\delta_i) = 0$ . Consideremos una función  $f_i$  tal que  $f_i$  sólo se anula en  $\delta_i$  y para todo punto  $p$  en  $\delta_i$  se tiene que gradiente de  $f_i$  en  $p$  es distinto de  $(0,0)$ . Sean  $f_1, \dots, f_p$  funciones de  $B^2$  en  $\mathbb{R}$  tales que  $f_i$  sólo se anula en  $\delta_i$  para  $i=1, \dots, p$  y gradiente de  $f_i$  es igual a  $(0,0)$  en todo punto de  $\delta_i$ .

Consideremos el siguiente campo:  $\bar{Y} = (Y_1, Y_2)$  donde

$$Y_1(x, y) = \bar{X}_1(x, y) + \varepsilon a f_1(x, y) f_2(x, y) \dots f_p(x, y) \cdot \frac{\partial f_1}{\partial x}(x, y)$$

$$Y_2(x, y) = \bar{X}_2(x, y) + \varepsilon a f_1(x, y) f_2(x, y) \dots f_p(x, y) \cdot \frac{\partial f_1}{\partial y}(x, y)$$

Donde  $\varepsilon > 0$ ,  $|a| < 1$  constantes. Observamos que si  $\varepsilon$  es suficientemente pequeño, entonces  $\bar{Y}$  es un campo cercano a  $\bar{X}$ . Observamos también que  $\delta_1, \dots, \delta_p$  son órbitas cerradas también de  $\bar{Y}$ .

Calculemos, ahora, la divergencia de  $\bar{Y}$

$$\frac{\partial \bar{Y}_i}{\partial x} = \frac{\partial \bar{X}_i}{\partial x} + \varepsilon a \frac{\partial f_i}{\partial x} [f_2 \cdot f_3 \cdots f_p \frac{\partial f_i}{\partial x}] + \varepsilon a f_i \left[ \frac{\partial}{\partial x} (f_2 \cdots f_p \frac{\partial f_i}{\partial x}) \right]$$

$$\frac{\partial \bar{Y}_i}{\partial y} = \frac{\partial \bar{X}_i}{\partial y} + \varepsilon a \frac{\partial f_i}{\partial y} [f_2 \cdots f_p \frac{\partial f_i}{\partial y}] + \varepsilon a f_i \left[ \frac{\partial}{\partial y} (f_2 \cdots f_p \frac{\partial f_i}{\partial y}) \right]$$

Observemos que  $\text{div } \bar{Y}$  y  $\text{div } \bar{X}$  son iguales para todo punto  $p$  en  $\delta_i$ .

$i=2,3,\dots,p$ , y por tanto  $h(\delta_i) = h_{\bar{Y}}(\delta_i)$   $i=2,\dots,p$ .

Como  $f_i$  se anula en  $\delta_i$  tenemos

$$\int_{\delta_i} \text{div } \bar{Y}(x, (s)) ds = \int_{\delta_i} \text{div } \bar{X}(x, (s)) ds + \varepsilon a \int_{\delta_i} \left[ \left( \frac{\partial f_i}{\partial x} \right)^2 + \left( \frac{\partial f_i}{\partial y} \right)^2 \right]_{x(s)} f_2 \cdots f_p ds$$

Como suponemos que  $h(\delta_i) = 0$ , tenemos

$$h_{\bar{Y}}(\delta_i) = \int_{\delta_i} \text{div } \bar{Y}(x(s)) ds = \varepsilon a \int_{\delta_i} \left[ \left( \frac{\partial f_i}{\partial x} \right)^2 + \left( \frac{\partial f_i}{\partial y} \right)^2 \right]_{x(s)} f_2 \cdots f_p ds$$

por tanto  $h_{\bar{Y}}(\delta_i) \neq 0$

Además, tomando " $a$ " menor que cero o " $a$ " mayor que cero  $h_{\bar{Y}}(\delta_i)$  toma un signo o el otro.

En resumen, tenemos una perturbación  $\bar{Y}$  de  $\bar{X}$  tal que tienen las mismas órbitas cerradas  $\delta_1, \dots, \delta_p$ ,  $h(\delta_i) = h_{\bar{Y}}(\delta_i)$  para  $i=2, \dots, p$ . Pero tomando  $a < 0$  o  $a > 0$  obtenemos distintos signos para  $h_{\bar{Y}}(\delta_1)$ . Sabemos que si  $h_{\bar{Y}}(\delta_1) > 0$  entonces  $\delta_1$  es un  $\alpha$ -conjunto límite y si  $h_{\bar{Y}}(\delta_1) < 0$ , entonces  $\delta_1$  es un  $\omega$ -conjunto límite. Es decir podemos obtener dos campos  $\bar{Y}_1$  y  $\bar{Y}_2$  cercanos a  $\bar{X}$  tanto como queramos tales que  $\bar{Y}_1 \sim \bar{X}$  y  $\bar{Y}_2 \sim \bar{X}$ , por tanto  $\bar{Y}_1 \sim \bar{Y}_2$  y tales que en las órbitas  $\delta_2, \dots, \delta_p$  tienen

$$h_{\bar{Y}_1}(\delta_i) = h_{\bar{Y}_2}(\delta_i) \quad i=2, \dots, p$$

y en  $\delta_1$   $h_{\bar{Y}_1}(\delta_1) < 0 < h_{\bar{Y}_2}(\delta_1)$

Lo cual es una contradicción, ya que la equivalencia topológica transforma  $w$ - $w$ -  
 conjuntos límite en  $w$ -conjuntos límite.

Por lo tanto si  $\bar{X}$  es estructuralmente estable y  $\gamma$  es una órbita cerrada de  
 $\bar{X}$ , entonces

$$h(\gamma) = \int_{\gamma} \operatorname{div} \bar{X}(x(s)) ds \neq 0.$$

### Capítulo III

Mostraremos en este capítulo que si un campo  $A \in \Sigma$  cumple con las siguientes condiciones:

- i)  $A$  tiene sólo una cantidad finita de puntos críticos, todos ellos hiperbólicos
- ii)  $A$  tiene sólo una cantidad finita de órbitas cerradas, todas ellas hiperbólicas
- iii)  $A$  no tiene trayectorias solución que unan puntos silla.

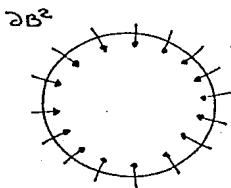
Entonces  $A$  es un campo estructuralmente estable. Es decir que para todo campo  $\bar{Y}$  suficientemente cercano a  $A$  construiremos un homeomorfismo de  $B^2$  en sí mismo, tal que transforme trayectorias de  $A$  en trayectorias de  $\bar{Y}$ .

Denotaremos por  $A^*$  al campo (elemento de  $\Sigma$ ) que cumpla con las condiciones i), ii), iii).

Nuestra tarea la hemos dividido en dos partes. En la primera mostraremos que si  $\rho(\bar{Y}, A^*) < \delta$  (para una  $\delta$  pequeña), entonces las trayectorias solución de  $\bar{Y}$  son "muy parecidas" a las trayectorias solución de  $A^*$ . Observaremos que el conjunto de trayectorias de  $A^*$  induce una descomposición de  $B^2$  en una cantidad finita de subregiones y que existe una correspondencia con las subregiones inducidas por las soluciones de  $\bar{Y}$ . En la se-

gunda parte construiremos homeomorfismos en cada subregión, cuidando que sean compatibles para obtener así el homeomorfismo de  $B^2$  en  $B^2$  buscado.

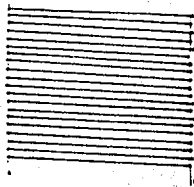
llamaremos de aquí en adelante sumideros también a las trayectorias cerradas  $\gamma$  con  $h(\gamma) < 0$ , llamaremos fuentes a las trayectorias  $\gamma$  tales que  $h(\gamma) > 0$ . A la frontera de  $B^2$  la consideramos también una fuente.



Definición 3.1 Sean  $\bar{X}$  y  $\tilde{X}$  dos campos (o sistemas) definidos en las regiones  $R$  y  $\tilde{R}$  respectivamente. Decimos que el conjunto  $\mathcal{C}$  de trayectorias de  $\bar{X}$  es equivalente al conjunto  $\tilde{\mathcal{C}}$  de trayectorias de  $\tilde{X}$  si existe un homeomorfismo de  $R$  en  $\tilde{R}$  que transforme  $\mathcal{C}$  en  $\tilde{\mathcal{C}}$ .

Definición 3.2 Decimos que una subregión  $R$  de  $B^2$  es una región paralela relativa al campo  $\bar{X}$  si y sólo si el conjunto de trayectorias de  $\bar{X}$  en  $R$  es equivalente a uno de los siguientes conjuntos:

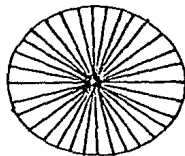
- El conjunto de segmentos de línea horizontales contenidos en una banda (abierta, semiabierta





o cerrada) limitada por dos líneas paralelas.

- b) El conjunto de todos los radios en un disco (abierto o cerrado) donde el centro está excluido.



Definición 3.3 Una trayectoria de un sistema  $\bar{X} \in \Sigma$  es ordinaria cuando pertenece a una región paralela. A una trayectoria no ordinaria la llamaremos trayectoria singular o separatriz.

Observese que con esta definición ampliamos nuestro concepto de separatriz, ya que para un sistema  $\bar{X} \in \Sigma$ , el conjunto de sus separatrices será:

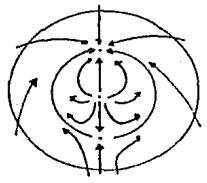
- a) Puntos críticos
- b) Trayectorias cerradas o ciclos límite.
- c) trayectorias que tienden a un punto silla (ya sea cuando  $t$  tiende a infinito o cuando  $t$  tiende a menos infinito).

Si el campo con el que estamos trabajando cumple con las condiciones i), ii), iii), o sea es  $A^*$ . Entonces el conjunto de separatrices es finito y, visto como subconjunto de  $B^2$ , es cerrado. Llamemos  $V$  a este conjunto.

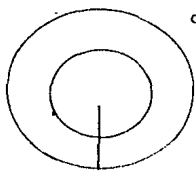
Definición 3.4 Una región canónica de  $A^*$  es una componente conexa de  $B^2 - V$ .

Observese que ya que  $V$  es un conjunto finito de trayectorias de  $A^*$ , entonces la cantidad de componentes de  $B^2 - V$  es finita.

Ejemplo 3.5



$B^2 - V$  (dos regiones canónicas).



Teorema 3.6 Cada región canónica de  $A^*$  tiene exactamente una fuente y un sumidero en su frontera.

Demostración Desarrollaremos la afirmación para sumideros, para fuentes es análoga. Observemos que en la frontera de una región existe al menos un sumidero. Supongamos que  $M_1$  y  $M_2$  ( $M_1 \neq M_2$ ) son dos sumideros en la frontera de la región  $C$ . Dado que  $C$  es conexa, existe una curva rectificable que une  $M_1$  y  $M_2$  totalmente contenida en  $C$ .

$$\gamma: [0,1] \rightarrow B^2 \quad \gamma(0) = M_1, \quad \gamma(1) = M_2$$

Dado que  $M_1$  es sumidero, existe  $\delta > 0$  tal que para todo punto  $p \in C$ ,  $|\gamma(s) - p| < \delta$ , se tiene que la trayectoria que pasa por  $p$ ,  $\varphi_t(p)$ , converge a  $M_1$  cuando  $t$  tiende a infinito.

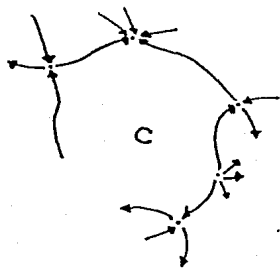
Observamos que el conjunto de puntos de  $\gamma$  tales que convergen a  $M_1$  cuando  $t$  tiende a infinito forman un conjunto abierto en  $\gamma$  (por continuidad con respecto a condiciones iniciales). La misma afirmación se puede hacer para  $M_2$ . Tenemos que

$$\gamma = D_1 \cup D_2$$

donde  $D_i$  es el abierto, en  $\gamma$ , correspondiente a  $M_i$ ,  $i=1,2$ . Además  $D_1 \cap D_2 = \emptyset$ , pero esto es una contradicción ya que  $\gamma$  es conexa. Por lo tanto en la fronte-

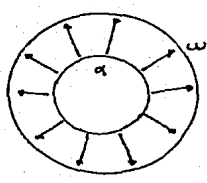
va de  $C$  sólo hay un sumidero ■

Para encontrar todos los tipos posibles de regiones canónicas en  $B^2$  observemos que si  $C$  es una de estas regiones, entonces su frontera contiene a lo más dos puntos silla. Esta afirmación es porque en  $A^*$  no hay trayectorias que unan puntos silla, por tanto en la frontera de  $C$  en medio de cada dos puntos silla debe existir una fuente o un sumidero, como nada más hay una fuente y un sumidero, se sigue la afirmación.

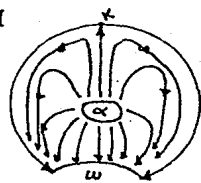


Clasificaremos, ahora, las regiones canónicas.

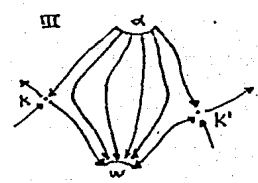
I



II



III



I: La frontera consiste de una fuente y un sumidero.

Ejemplos: a) La región acotada por dos órbitas cerradas, sin puntos críticos en su interior.

b) Si  $B^2$  contiene sólo un sumidero y ninguna otra trayectoria singular, entonces  $B^2$  sólo tiene una región canónica cuya frontera es  $\partial B^2$  unió el sumidero.

II.- La frontera consiste de una fuente, un sumidero, un punto silla ( $k$ ) y tres separatrices que tienden a  $k$ . Ejemplo:  $\alpha$  puede ser una órbita cerrada y  $w$  un sumidero.

III.- La frontera consiste de una fuente, un sumidero, dos puntos silla y cuatro separatrices que tienden a ellos.

Observese que podemos intercambiar  $\alpha$  y  $w$ , la región resultante será del mismo tipo.

Lema 37 Por cada punto singular  $k$  de  $A^*$ , existe  $\delta > 0$  y un disco abierto  $D$  con centro en  $k$  tal que  $D$  contiene un punto singular  $\tilde{k}$  de cada sistema  $\tilde{X}$  con  $\rho(\tilde{X}, A^*) < \delta$ . Además  $k$  y  $\tilde{k}$  son del mismo tipo.

Demostración Sea  $k$  un punto crítico de  $A^*$ , entonces  $\frac{\partial(A_1, A_2)}{\partial(x, y)} \Big|_{(k)} \neq 0$

donde  $A^* = (A_1, A_2)$ . Consideremos  $r > 0$  suficientemente pequeño para que  $\frac{\partial(A_1, A_2)}{\partial(x, y)} \Big|_{(p)} \neq 0$  en todo punto  $p$  en el disco  $D$  con centro en  $k$  y radio  $r$  (esto si es posible ya que el jacobiano depende continuamente de la posición).

Como los puntos críticos son aislados, podemos escoger  $r$  de tal forma que  $D$  sólo contenga un punto crítico,  $k$ . Esto nos asegura que el campo  $A^*$  no se anula en la frontera de  $D$ , podemos tomar  $\delta > 0$  suficientemente pequeña para que se cumpla lo siguiente:

a) si  $\bar{X} \in \Sigma$  es tal que  $\rho(\bar{X}, A^*) < \delta$  entonces  $\bar{X}$  no se anula en la frontera de  $D$

b) el índice de  $A^*$  y de  $\bar{X}$  en la frontera de  $D$  es el mismo.

De aquí concluimos que  $\bar{X}$  tiene al menos un punto crítico en el interior de  $D$ . Dividimos, ahora, nuestro problema en dos casos:

1.-  $K$  es una fuente o sumidero.

2.-  $K$  es un punto silla.

Supongamos que  $K$  es una fuente o sumidero, entonces el jacobiano de  $A^*$  es mayor que cero en todo  $D$ . Consideremos la siguiente expresión de  $\bar{X} = (\bar{X}_1, \bar{X}_2)$

$$\bar{X}_1 = A_1 + \varepsilon_1$$

$$\bar{X}_2 = A_2 + \varepsilon_2$$

donde  $\varepsilon_1$  y  $\varepsilon_2$  son funciones de  $(x, y)$ .

$$\begin{aligned} \text{entonces} \quad \frac{\partial(\bar{X}_1, \bar{X}_2)}{\partial(x, y)} &= \begin{vmatrix} \frac{\partial A_1}{\partial x} + \frac{\partial \varepsilon_1}{\partial x} & \frac{\partial A_1}{\partial y} + \frac{\partial \varepsilon_1}{\partial y} \\ \frac{\partial A_2}{\partial x} + \frac{\partial \varepsilon_2}{\partial x} & \frac{\partial A_2}{\partial y} + \frac{\partial \varepsilon_2}{\partial y} \end{vmatrix} \\ &= \frac{\partial(A_1, A_2)}{\partial(x, y)} + \frac{\partial A_1}{\partial x} \frac{\partial \varepsilon_2}{\partial y} + \frac{\partial \varepsilon_1}{\partial x} \left[ \frac{\partial A_2}{\partial y} + \frac{\partial \varepsilon_2}{\partial y} \right] - \frac{\partial A_2}{\partial x} \frac{\partial \varepsilon_1}{\partial y} - \frac{\partial \varepsilon_2}{\partial x} \left[ \frac{\partial A_1}{\partial y} + \frac{\partial \varepsilon_1}{\partial y} \right] \end{aligned}$$

$$\begin{aligned} \text{por lo tanto} \quad & \left| \frac{\partial(\bar{X}_1, \bar{X}_2)}{\partial(x, y)} - \frac{\partial(A_1, A_2)}{\partial(x, y)} \right| \\ &= \left| \frac{\partial \varepsilon_1}{\partial x} \frac{\partial A_2}{\partial y} + \frac{\partial A_1}{\partial x} \frac{\partial \varepsilon_2}{\partial y} + \frac{\partial \varepsilon_1}{\partial x} \frac{\partial \varepsilon_2}{\partial y} - \frac{\partial A_2}{\partial x} \frac{\partial \varepsilon_1}{\partial y} - \frac{\partial \varepsilon_2}{\partial x} \frac{\partial A_1}{\partial y} - \frac{\partial \varepsilon_2}{\partial x} \frac{\partial \varepsilon_1}{\partial y} \right| \\ &< \delta \left( \left| \frac{\partial A_1}{\partial x} \right| + \delta \left| \frac{\partial A_2}{\partial y} \right| + \delta^2 + \delta \left| \frac{\partial A_2}{\partial x} \right| + \delta \left| \frac{\partial A_1}{\partial y} \right| + \delta^2 \right) \end{aligned}$$

Concluimos que  $\left| \frac{\partial(\bar{X}_1, \bar{X}_2)}{\partial(x, y)} - \frac{\partial(A_1, A_2)}{\partial(x, y)} \right| < \delta (6M)$  para todo punto en  $D$ , donde

$$M = \max_{\partial D} \left\{ \left| \frac{\partial A_1}{\partial x} \right|, \left| \frac{\partial A_1}{\partial y} \right|, \left| \frac{\partial A_2}{\partial x} \right|, \left| \frac{\partial A_2}{\partial y} \right| \right\} \quad \text{y} \quad \rho(\bar{X}, A^*) < \delta.$$

En resumen tenemos que existe  $\delta > 0$  tal que si  $\rho(\bar{X}, A^*) < \delta$ , entonces el jacobiano de  $A^*$  y el jacobiano de  $\bar{X}$  tienen el mismo signo para todo punto en  $D$ , por lo tanto los puntos críticos de  $\bar{X}$  en  $D$  son sumideros o fuentes y no puntos silla.

Ahora, como  $\bar{X}$  y  $A^*$  tienen el mismo índice en la frontera; éste es la suma de los índices de cada punto crítico; el índice por cada fuente o sumidero es 1 y  $A^*$  tiene índice 1 en la  $\partial D$ , concluimos que  $\bar{X}$  tiene un sólo punto crítico (que no es silla). Dado que los valores propios dependen continuamente de la matriz Jacobiana, tenemos que para  $\delta$  suficientemente pequeña la parte real de los valores propios tiene el mismo signo para  $A^*$  y  $\bar{X}$  si  $\rho(A^*, \bar{X}) < \delta$ . Por lo tanto  $\bar{X}$  tiene una singularidad del mismo tipo que  $A^*$  en  $D$ .

Si  $K$  es un punto silla, la demostración es similar al primer caso. ■

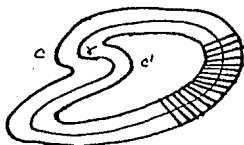
Lema 3.8. Para cada trayectoria cerrada  $\gamma$  de  $A^*$  existe  $\delta > 0$  y un anillo  $S$ , con  $\gamma \subset S$ , ( $S$  está acotado por dos curvas suaves cerradas) tal que si  $\rho(\bar{X}, A^*) < \delta$  se tiene:

- Los segmentos normales a  $\gamma$  contenidos en  $S$  son disjuntos y  $\bar{X}$  es sin contacto (transversal) a ellos.  $\bar{X}$  también es transversal a  $C$  y  $C'$ , donde  $C$  y  $C'$  forman la frontera de  $S$ .
- $\bar{X}$  tiene exactamente una órbita cerrada  $\tilde{\gamma}$  en el interior de  $S$ .
- $h_{\bar{X}}(\tilde{\gamma})$  tiene el mismo signo que  $h(\gamma)$ , donde
 
$$h(\gamma) = \int_{\gamma} \operatorname{div} A^*(\gamma(s)) ds.$$

Demostración. Primero encontraremos un anillo de ancho pequeño que contenga a  $\gamma$  y tal que los segmentos de las normales a  $\gamma$  en su interior sean disjuntos y sin contacto con respecto a  $A^*$ .

Sea  $\eta$  el período de  $\gamma$ , abusando de la notación podemos escribir:

$$\gamma: [0, \eta] \rightarrow \mathbb{B}^2.$$



Consideremos a  $m_0 \in [0, \eta]$  y una vecindad  $U$  de  $m_0$ , sea  $p = \gamma(m_0) \in \gamma$ , demostraremos que existen  $W$  vecindad de  $p$  en  $\gamma$  y  $\varepsilon > 0$  tales que los segmentos de línea normales a  $\gamma$  ( $q \in W \cap \gamma$ ), con centro en  $q$  y longitud  $2\varepsilon$  son disjuntos.

Sea  $F: U \times \mathbb{R} \rightarrow \mathbb{R}^2$  dada por  $F(m, s) = \gamma(m) + sN(m)$ , donde  $m \in U$ ,  $N(m)$  vector unitario normal en  $\gamma(m)$  que señala hacia afuera. Observemos que  $F$  es diferenciable y que

$$\begin{vmatrix} \frac{\partial(\gamma_1(m) + sN_1(m))}{\partial m} & \frac{\partial(\gamma_1(m) + sN_1(m))}{\partial s} \\ \frac{\partial(\gamma_2(m) + sN_2(m))}{\partial m} & \frac{\partial(\gamma_2(m) + sN_2(m))}{\partial s} \end{vmatrix} (m_0, 0)$$

$$= \begin{vmatrix} \frac{\partial \gamma_1}{\partial m} + s \frac{\partial N_1}{\partial m} & N_1 \\ \frac{\partial \gamma_2}{\partial m} + s \frac{\partial N_2}{\partial m} & N_2 \end{vmatrix} (m_0, 0) = \begin{vmatrix} \frac{\partial \gamma_1}{\partial m} & N_1 \\ \frac{\partial \gamma_2}{\partial m} & N_2 \end{vmatrix} (m_0, 0) \neq 0$$

ya que  $(\frac{\partial \gamma_1}{\partial m}(m_0), \frac{\partial \gamma_2}{\partial m}(m_0)) = A^*(p)$  y  $A^*(p)$  es ortogonal a  $(N_1, N_2)$ . Por el teorema de la función inversa existe un paralelogramo en  $U \times \mathbb{R}$

$$m_0 - \varepsilon < m < m_0 + \varepsilon \quad -\varepsilon < s < \varepsilon$$

donde  $F$  es biyectiva. Esto significa que en la imagen del intervalo

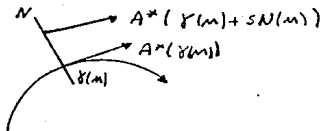
$$(m_0 - \varepsilon, m_0 + \varepsilon)$$

los segmentos normales con centro en  $\gamma$  y longitud  $2\varepsilon$  no se intersecan.

Si construimos para cada punto  $x \in \delta$  un intervalo  $x - \varepsilon_x < u < x + \varepsilon_x$ ,  $-\varepsilon_x < s < \varepsilon_x$  cubrimos  $\delta$  con los imágenes de estos rectángulos, como  $\delta$  es compacta se tiene que existen  $x_1, \dots, x_n$  tales que sus imágenes de rectángulos cubren  $\delta$ . Si tomamos  $\varepsilon = \min \{ \varepsilon_{x_1}, \dots, \varepsilon_{x_n} \}$  se tiene que los segmentos de normal de longitud  $2\varepsilon$  con centro en  $\delta$  son disjuntos.

Consideremos, ahora, la siguiente función  $G : [0, \eta] \times (-\varepsilon, \varepsilon) \rightarrow \mathbb{R}$  dada por:

$$G(u, s) = (A^*(\gamma(u) + sN(u))) \cdot (A^*(\gamma(u)))$$



Observemos que  $G$  es continua y que  $G(u, 0) = |A^*(\gamma(u))|^2$  para todo  $u \in [0, \eta]$ . Como  $A^*$  no se anula en  $\delta$ , existe  $\alpha > 0$  tal que

$$G(u, 0) \geq \alpha \quad \text{para todo } u \in [0, \eta].$$

Como el conjunto  $[0, \eta] \times 0$  es compacto, se tiene que existe una vecindad  $V$  de él (o sea de  $\delta$ ) tal que  $G(u, s) > 0$ ,  $(u, s) \in V$ . Esto quiere decir que en esa vecindad el campo  $A^*$  es transversal a la normal en todo punto de  $V$ , por lo tanto podemos tomar  $\varepsilon > 0$  tal que los segmentos de normal de longitud  $2\varepsilon$  con centro en  $\delta$  sean disjuntos y el campo  $A^*$  es transversal a todos ellos. Dado que sólo hay una cantidad finita de órbitas cerradas podemos tomar  $\varepsilon$  tal que para todo punto, en el segmento de normal, su órbita no sea cerrada ni punto singular.

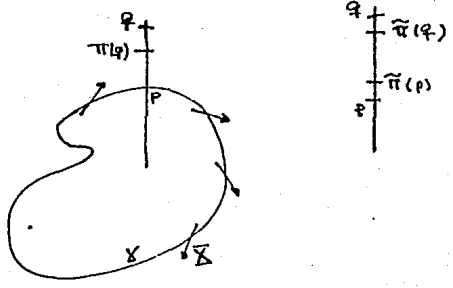


Ahora queremos construir  $C$  y  $C'$  curvas cerradas que encierren a  $\delta$  y tales que  $A^*$  sea transversal a ellas.

Consideremos  $p \in \delta$  y el segmento de normal con centro en  $p$  y de longitud  $2\epsilon$  (esta  $\epsilon$  es la ya construida). Dado que  $h(\delta) \neq 0$ , podemos tomar  $h(p) < 0$ , así  $\delta$  es un sumidero. Tomemos  $q$  en el segmento de normal contenido en el exterior de  $\delta$ , y de tal forma que en  $q$  este definida la transformación de Poincaré

$$\pi: K \rightarrow K$$

donde  $K$  es un subconjunto abierto de la normal que contiene a  $p$ .



Consideremos el campo  $\bar{X}$  obtenido de  $A^*$  bajo una pequeña rotación en el sentido positivo. Para este campo  $\bar{X}$  es una curva sin contacto, de hecho  $\bar{X}$  siempre señala hacia afuera. Si el ángulo de rotación es suficientemente pequeño se tiene que la trayectoria solución de  $\bar{X}$  que pasa por  $q$  intersecciona  $K$  en un punto  $\tilde{\pi}(q)$  y  $\tilde{\pi}(q) \in \overline{pq}$ . La órbita solución de  $\bar{X}$  que pasa por  $p$  intersecciona  $K$  en  $\tilde{\pi}(p)$  y  $\tilde{\pi}(p) \in \overline{pq}$ .

Si  $q = \tilde{\pi}(q)$  tenemos que la órbita solución de  $\bar{X}$  que pasa por  $q$ ,  $O_{\bar{X}}(q)$ , es cerrada y sin contactos con el campo  $A^*$ . Podemos tomar  $q$  sufi.

cientemente cerca de  $p$  de tal forma que  $O_{\Sigma}(q)$  este contenida en la vecindad tubular de radio  $\epsilon$  alrededor de  $\Sigma$  y con ello habremos terminado.

Si  $q \neq \tilde{\pi}(q)$  consideramos la sucesión  $\{q_n = \tilde{\pi}^n(q)\}_{n \in \mathbb{N}}$ , esta sucesión es decreciente en  $K$  y esta acotada inferiormente por  $\tilde{\pi}(p)$ . Sea  $\tilde{q}$  el punto a donde converge, entonces  $O_{\Sigma}(\tilde{q})$  es cerrada (si no lo fuera,  $\tilde{q}$  sería distinto de  $\tilde{\pi}(\tilde{q})$  y por continuidad de las soluciones con respecto a la condición inicial tendríamos que para  $N \in \mathbb{N}$  suficientemente grande  $q_{n+N}$  estaría tan cerca de  $\tilde{\pi}(\tilde{q})$  como quisieramos, lo cual es una contradicción). Nuevamente  $q$  puede tomarse lo su-  
ficientemente cerca de  $p$  para que  $O_{\Sigma}(q)$  este contenida en la vecindad tubular de  $\Sigma$ . Con esto construimos la curva  $C$ , de manera análoga construimos la curva  $C'$ . Llamaremos  $S$  a la región abierta contenida entre  $C$  y  $C'$ .

Ahora mostraremos que si  $\rho(\Sigma, A^*) < \delta$ ,  $\Sigma \in \Sigma$ , entonces  $\Sigma$  tie-  
ne sólo una órbita cerrada  $\tilde{\gamma}$  en el interior de  $S$ , además  $h(\delta)$  y  $h_{\Sigma}(\delta)$   
tienen el mismo signo.

Dado que  $A^*$  es transversal a  $C$  y  $C'$  podemos encontrar  $\delta_1 > 0$  tal que  
si  $\rho(\Sigma, A^*) < \delta_1$ , se tenga que  $\Sigma$  también es transversal a  $C$  y  $C'$ . Por el  
teorema de Poincaré-Bendixon se sigue que  $\Sigma$  tiene al menos una órbita  
cerrada  $\tilde{\gamma}$  en  $S$ .

Veremos que si  $\delta$  es suficientemente pequeña, entonces  $h(\delta)$  y  $h_{\Sigma}(\delta)$   
tienen el mismo signo; una vez hecho esto podemos concluir que  $\Sigma$   
tiene una sola órbita cerrada en  $S$ , ya que de no ser así existirían dos  
dos órbitas consecutivas y por lo tanto una sería atractora y la otra repulso-

va, esto es  $h_x(\gamma_1) < 0 < h_x(\gamma_2)$  lo cual es una contradicción [Lef.].

Sea  $\gamma = (f(t), g(t))$  de periodo  $z$  y tal que

$$h(\gamma) = \int_{\gamma} \left( \frac{\partial A_1}{\partial x} + \frac{\partial A_2}{\partial y} \right)_{\gamma(t)} dt = \int_0^z \left( \frac{\partial A_1}{\partial x}(f, g) + \frac{\partial A_2}{\partial y}(f, g) \right) dt$$

Sea  $\varepsilon, 0 < \varepsilon < z$  tal que

$$\left| \int_t^{t+\varepsilon} \left[ \frac{\partial A_1}{\partial x} + \frac{\partial A_2}{\partial y} \right] dt \right| \leq \frac{h(\gamma)}{4} \quad \text{si } |z-t| < \varepsilon \dots (1)$$

Sea  $\tilde{\gamma} = (\tilde{f}, \tilde{g})$  de periodo  $\tilde{z}$ , entonces

$$h_x(\tilde{\gamma}) = \int_0^{\tilde{z}} \left[ \frac{\partial x_1}{\partial x}(\tilde{f}, \tilde{g}) + \frac{\partial x_2}{\partial y}(\tilde{f}, \tilde{g}) \right] dt \quad \Sigma = (x_1, x_2).$$

Consideremos un punto  $p \in \gamma$  y  $p' \in \tilde{\gamma}$  en la intersección de la normal a  $\Sigma$  en  $p$  con  $\tilde{\gamma}$ , a partir de  $p$  y  $p'$  comenzamos a contar  $t$ . Por la continuidad con respecto a cambios en el campo y condiciones iniciales, tenemos que existe  $\delta_2 > 0$  tal que si  $\rho(\Sigma, A^*) < \delta_2$ , entonces  $|z - \tilde{z}| < \varepsilon$ . Y por tanto  $\frac{\tilde{z}}{z}$  esta cercano a uno.

Por la continuidad de  $\frac{\partial A_1}{\partial x}, \frac{\partial A_2}{\partial y}, \frac{\partial x_1}{\partial x}$  y  $\frac{\partial x_2}{\partial y}$ , existe  $\delta_3 > 0$  tal que si  $\rho(\Sigma, A^*) < \delta_3$  tenemos que para toda  $M \in \gamma$  y  $\tilde{M} \in \tilde{\gamma}$  con  $d(M, \tilde{M}) < \delta_3$

$$\left| \frac{\partial A_1}{\partial x}(M) - \frac{\partial A_1}{\partial x}(\tilde{M}) \right| + \left| \frac{\partial A_2}{\partial y}(M) - \frac{\partial A_2}{\partial y}(\tilde{M}) \right| < \frac{h(\gamma)}{4z} \dots (2)$$

Sea  $\delta_4 > 0$  tal que si  $\rho(\Sigma, A^*) < \delta_4$ , entonces  $d(\gamma(t), \tilde{\gamma}(t)) < \delta_3$  para todo  $t, 0 \leq t \leq z + \varepsilon$ .

Calculemos ahora

$$h_x(\tilde{\gamma}) - h(\gamma) = \int_0^{\tilde{z}} \left[ \frac{\partial x_1}{\partial x}(\tilde{f}, \tilde{g}) - \frac{\partial A_1}{\partial x}(f, g) + \frac{\partial x_2}{\partial y}(\tilde{f}, \tilde{g}) - \frac{\partial A_2}{\partial y}(f, g) \right] dt - \int_z^{\tilde{z}} \left[ \frac{\partial A_1}{\partial x}(f, g) + \frac{\partial A_2}{\partial y}(f, g) \right] dt$$

Por (1) y (2) y tomando  $\delta = \min \{ \delta_1, \delta_2, \delta_3, \delta_4 \}$  tenemos que

$$|h_x(\tilde{\gamma}) - h(\gamma)| \leq \left| \int_0^{\tilde{z}} \frac{h(\gamma)}{4z} dt \right| + \left| \frac{h(\gamma)}{4} \right| = \frac{|h(\gamma)|}{4z} \tilde{z} + \frac{|h(\gamma)|}{4}$$

entonces  $|h_x(\tilde{\gamma}) - h(\gamma)| < \frac{3}{4} |h(\gamma)|$  y por tanto  $h(\gamma)$  y  $h_x(\tilde{\gamma})$  tienen el

mismo signo ■

Definición 3.9 Sean  $K_i, i=1, \dots, r$  los puntos singulares de  $A^*$  y  $S_j, j=1, \dots, s$  sus órbitas cerradas. Las regiones  $D_i$  y  $S_j$  construidas según los lemas 3.7 y 3.8 las llamaremos regiones críticas asociadas a  $K_i$  y  $S_j$ .

Lema 3.10 Si  $\delta > 0$  es suficientemente pequeño y  $\rho(\bar{X}, A^*) < \delta$ , entonces cada punto singular de  $\bar{X}$  está en el interior de algún  $D_i$ , y cada órbita cerrada de  $\bar{X}$  está en el interior de algún  $S_j$ .

En otras palabras, los puntos críticos y las órbitas cerradas de  $A^*$  son estables bajo perturbaciones pequeñas del campo.

Demostración Lo que necesitamos demostrar se traduce en las siguientes dos afirmaciones:

a) Existe  $\delta > 0$  tal que si  $\rho(\bar{X}, A^*) < \delta$ , entonces en  $B^2 - \bigcup_{i=1}^r D_i$ ,  $\bar{X}$  no tiene puntos singulares.

b) Existe  $\delta > 0$  tal que si  $\rho(\bar{X}, A^*) < \delta$ , entonces en  $B^2 - \bigcup_{j=1}^s S_j$ ,  $\bar{X}$  no tiene órbitas cerradas.

Afirmación (a). Sea  $G = B^2 - \bigcup_{i=1}^r D_i$ ,  $G$  es compacto. Consideremos la siguiente función  $F: G \rightarrow \mathbb{R}$  dada por  $F(p) = |A^*(p)|$ , como el campo  $A^*$  no se anula en  $G$  se tiene que  $F(p) > 0$  para todo  $p$  en  $G$ ; como  $G$  es compacto, existe  $\eta > 0$  tal que  $F(p) \geq \eta$  para todo  $p$  en  $G$ . Si tomamos  $\delta < \eta/2$  concluimos que para todo campo  $\bar{X}$  en  $B_\delta(A^*)$ ,  $|\bar{X}(p)| > 0$  para todo  $p$  en  $G$  y por lo tanto  $\bar{X}$  no tiene puntos

crítico en  $G$ .

Afirmación (b). Sea  $F = B^2 - \bigcup_{j=1}^5 S_j$ ,  $F$  es compacto. Consideremos primero  $F'$  el conjunto obtenido de  $F$  quitando todos los  $D_i$  que contienen puntos silla. Sea  $p \in F'$  y consideremos la trayectoria de  $A^*$  que pasa por este punto,  $\varphi_t(p)$ , esta trayectoria es no cerrada. Como no hay unión de sillares, alguna de las semitraectorias de  $\varphi_t(p)$  no converge a un punto silla, supongamos que ésta es

$$\varphi_t^-(p) = \{ \varphi_t(p) \mid t \leq 0 \},$$

entonces  $\varphi_t^-$  converge a un ciclo límite, una fuente o sale de  $B^2$ . Si  $\rho(\mathbb{R}, A^*)$  es pequeña, por continuidad con respecto a variaciones pequeñas del campo se tiene que la órbita de  $\bar{X}$  que pasa por  $p$ ,  $\Psi_t(p)$ , también tiende a un ciclo límite, una fuente o sale de  $B^2$ . De hecho  $\varphi_t(p)$  entra en alguna de las regiones críticas  $D_i, S_j$ , o sale de  $B^2$  cuando  $t$  decrece, y como la otra semitraectoria no puede ingresar a estas regiones ni salir de  $B^2$  cuando  $t$  tiende a más infinito, concluimos que  $\Psi_t(p)$  es no cerrada.

Sea  $\delta^*(p)$  el supremo de los  $\delta$  tales que para cualquier  $\bar{X}$  con  $\rho(\bar{X}, A^*) < \delta$ , la trayectoria solución de  $\bar{X}$  que pasa por  $p$  es no cerrada. Observamos que  $\delta^*(p) > 0$  para todo  $p$  en  $F'$ . Demostraremos ahora que existe  $\alpha > 0$ ,  $\alpha$  constante, tal que  $\delta^*(p) \geq \alpha$  para todo  $p$  en  $F'$ .

Supongamos que no es posible encontrar esta  $\alpha$ , entonces existe una sucesión  $\{x_i\}$ ,  $x_i \in F'$ , tal que

$$\lim_{i \rightarrow \infty} \delta^*(x_i) = 0$$

Como  $F'$  es compacto, existe una subsucesión  $\{y_j\}$  de  $\{x_i\}$  tal que

$$\lim_{j \rightarrow \infty} y_j = \bar{y}, \quad \bar{y} \in F' \quad \text{y} \quad \lim_{j \rightarrow \infty} S^*(y_j) = 0$$

Como  $\bar{y} \in F'$ , se tiene que la órbita de  $A^*$  que pasa por  $\bar{y}$  es no cerrada, por lo tanto existen  $\delta_1 > 0$ ,  $\delta_2 > 0$  tales que para todo  $\bar{X}$ ,  $\rho(\bar{X}, A^*) < \delta_1$ , y todo  $p$ ,  $d(p, \bar{y}) < \delta_2$ , la órbita de  $\bar{X}$  que pasa por  $p$  es no cerrada. Como  $y_j$  converge a  $\bar{y}$ , existe  $N \in \mathbb{N}$  tal que  $d(y_j, \bar{y}) < \delta_2/2$  para todo  $j > N$ . Observe que para todos estos puntos  $y_j$  y para todo campo  $\bar{X}$ ,  $\rho(\bar{X}, A^*) < \delta_1$ , la órbita de  $\bar{X}$  que pasa por  $y_j$  es no cerrada, por lo tanto  $S^*(y_j) \geq \delta_1$  para todo  $j > N$ , y por tanto  $\lim_{j \rightarrow \infty} S^*(y_j) \geq \delta_1 > 0$  lo cual es una contradicción.

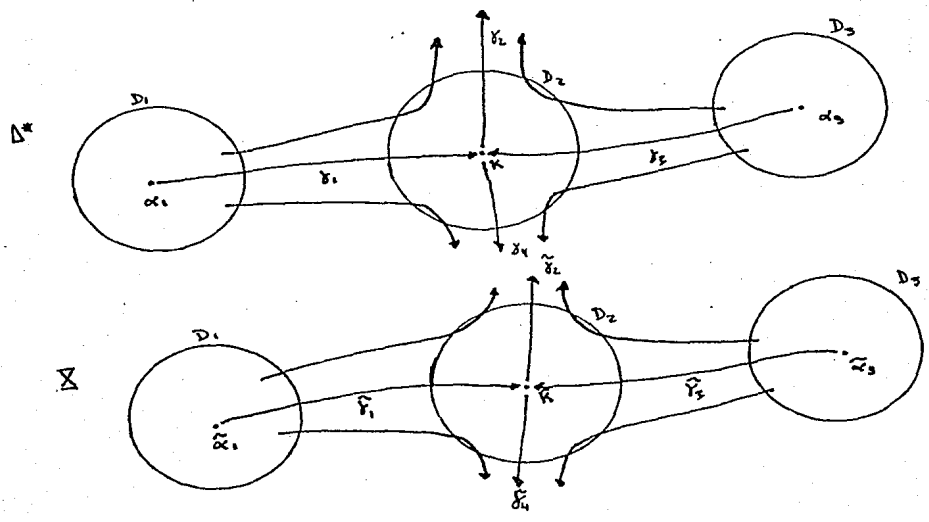
Concluimos que existe  $\alpha > 0$  tal que  $S^*(p) \geq \alpha$  para todo  $p \in F'$ . Tomemos  $\delta$ ,  $0 < \delta < \alpha$  y tenemos que para todo  $\bar{X}$ ,  $\rho(\bar{X}, A^*) < \delta$ , y todo punto  $p \in F'$  la trayectoria  $\mathcal{O}_{\bar{X}}(p)$  es no cerrada.

Recordemos que  $F'$  era el conjunto  $F$  quitándole los  $D_i$  que contienen puntos silla. Tomemos ahora un punto  $p$  en  $D_i$ , si la trayectoria de  $\bar{X}$  por  $p$  es cerrada, ella debe estar contenida toda en  $D_i$ . En el interior de  $\mathcal{O}_{\bar{X}}(p)$  habría otro punto crítico, que no es silla, lo cual es una contradicción.

Por tanto  $\bar{X}$  no tiene orbitas cerradas en  $F'$ .  $\square$

Lema 3.11 Sea  $K$  un punto silla de  $A^*$ , sean  $\delta_1, \delta_2, \delta_3, \delta_4$  sus cuatro separatrices,  $\delta_1$  y  $\delta_3$  tienden a  $K$  cuando  $t$  tiende a infinito;  $\delta_2$  y  $\delta_4$  cuando  $t$  tiende a menor infinito. Supongamos que  $\delta_1$  y  $\delta_3$  provienen de las fuentes  $w_1$  y  $w_3$ , y  $\delta_2$  y  $\delta_4$  tienden a los sumideros  $w_2$  y  $w_4$  respectivamente. Entonces:

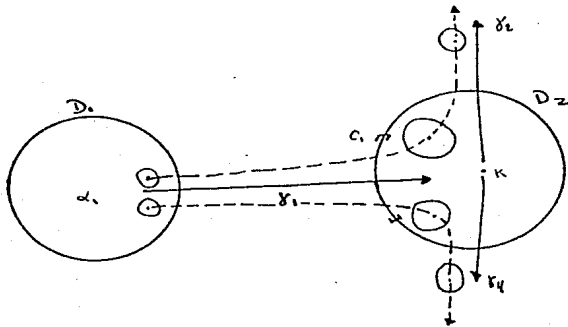
podemos hallar  $\delta > 0$  suficientemente pequeña para que todo campo  $\bar{X}$ ,  $P(\bar{X}, A^*) < \delta$ , tenga separatrices  $\tilde{\delta}_1, \tilde{\delta}_2, \tilde{\delta}_3, \tilde{\delta}_4$  que tienden a  $\tilde{K}$  (asociado con  $K$ ), y estas separatrices unan  $\tilde{K}$  con  $\tilde{\alpha}_1, \tilde{\alpha}_2, \tilde{w}_2, \tilde{w}_4$  (asociadas con  $\alpha_1, \alpha_3, w_1, w_4$ ).



Demostración Observemos primero que lo que se trata de demostrar es que para una perturbación pequeña del campo  $A^*$ , las uniones de fuentes, puntos silla y sumideros se conservan, esto es, son estables. Por lo tanto las fronteras de las regiones canónicas de  $A^*$  y de la perturbación  $\bar{X}$  son cualitativamente iguales. Es decir, si  $R$  es una región canónica de  $A^*$ , entonces existe  $\delta > 0$  tal que para todo  $\bar{X}$ ,  $P(\bar{X}, A^*) < \delta$ , se tiene que  $\bar{X}$  tiene una región canónica  $\tilde{R}$  tal que si una trayectoria  $\gamma$  forma parte de la frontera de  $R$ ,

entonces existe una correspondiente  $\tilde{\gamma}$  que forma parte de la frontera de  $\tilde{R}$ .

Iniciamos la demostración. Dado que  $x_1$  tiende a  $k$  cuando  $t$  tiende a infinito, podemos tomar  $D_2$  tal que el campo  $A^*$  es transversal a  $C_1$  y todas las órbitas "entran" a  $D_2$  cuando  $t$  crece. Si llamamos  $p = x_1 \cap \partial D_2$  entonces  $C_1$  es una vecindad de  $p$  (en  $\partial D_2$ ).



Parametrizamos  $C_1$  de la siguiente forma  $C_1: [-\eta, \eta] \rightarrow B^2$  tal que  $C_1(0) = p$ ,  $C_1(s)$  esté a la izquierda de  $p$  (recorriendo  $\partial D_2$  en sentido contrario a las manecillas del reloj) si  $s < 0$ , y  $C_1(s)$  esté a la derecha (o abajo) de  $p$  si  $s > 0$ .

Consideremos el punto  $C_1(-1/2) = q$ . Sea  $\varphi_t(q)$  la trayectoria de  $A^*$  que pasa por  $q$ ,  $\varphi_0(q) = q$ , entonces existe  $r_1$  tal que  $\varphi_{r_1}(q)$  es elemento del interior de  $D_2$ . Existe  $r_2 > r_1$  tal que  $\varphi_{r_2}(q)$  está en el exterior de  $D_2$  y existe  $r_0 < r_1$  tal que  $\varphi_{r_0}(q)$  está en el interior de  $D_1$ . Sean  $\varepsilon_0, \varepsilon_1, \varepsilon_2$  tales que:

$$B_{\varepsilon_0}(\varphi_{r_0}(q)) \subset D_1^\circ \quad (\text{interior de } D_1)$$

$$B_{\varepsilon_1}(\varphi_{r_1}(q)) \subset D_2^\circ$$



$$B_{\varepsilon_2}(\varphi_{t_2}(\varphi)) \subset (B^2 - D_2)^\circ$$

Entonces por la continuidad con respecto a las condiciones iniciales y a variaciones pequeñas del campo, y tomando  $\varepsilon = \min \{\varepsilon_0, \varepsilon_1, \varepsilon_2\}$ , tenemos que existen  $\delta_1$  y  $\delta_2$  tales que para todo punto  $M$ ,  $d(M, \varphi_0(\varphi)) < \delta_1$ , y todo campo  $\bar{X}$ ,  $\rho(\bar{X}, A^*) < \delta_2$ , la órbita  $\theta_{\bar{X}}(M)$  se mantiene en una vecindad tubular de  $\varphi_t(\varphi)$ . De hecho  $\theta_{\bar{X}}(M)$  parte de  $D_1^\circ$ , entra en  $D_2^\circ$  y sale hacia  $(B^2 - D_2)^\circ$ . Obsérvese que es necesario tomar  $\delta_1 < \varepsilon_0$ , lo que obviamente es posible.

La misma construcción es posible para el punto  $C_1(\eta/2) = \varphi^1$ , obteniéndose las  $\delta_1'$  y  $\delta_2'$  respectivas.

Tomemos  $\delta_2''$  tal que si  $\rho(\bar{X}, A^*) < \delta_2''$ , entonces  $\bar{X}$  es transversal a  $C_1$  y toda trayectoria de  $\bar{X}$  que intersecta  $C_1$  entra en  $D_2$  cuando  $t$  vece.

Si tomamos  $\delta = \min \{\delta_1, \delta_1', \delta_2''\}$  tenemos que para un campo  $\bar{X}$ ,  $\rho(\bar{X}, A^*) < \delta$ , existe un conjunto de trayectorias que provienen de  $\tilde{\alpha}_1$ , ingresan en el interior de  $D_2$  (que contiene al punto si  $\eta \approx \tilde{k}$ ), unas salen en la dirección de  $\delta_2$  y otras en dirección de  $\delta_4$ . Consideremos el siguiente conjunto  $E \subset [-\eta, \eta]$

$$E = \{s \mid \theta_{\bar{X}}(C_1(s)) \text{ sale hacia } \delta_2\},$$

este conjunto es no vacío, ya que  $-\eta/2 \in E$ ; es abierto por continuidad de las soluciones con respecto a la condición inicial; está acotado superiormente por  $\eta/2$ . Sea  $\eta^* = \sup E$ .  $\theta_{\bar{X}}(C_1(\eta^*))$  no puede salir hacia  $\delta_4$  (otra vez por

continuidad de soluciones con respecto a la condición inicial). Entonces  $\mathcal{O}_{\Sigma}(C, (17^{-1}))$  es una separatriz que tiende a  $\tilde{K}$ . Además  $\mathcal{O}_{\Sigma}(C, (17^{-1}))$  proviene de  $\tilde{\alpha}_i$ .

Los tres casos restantes podemos tratarlos en forma similar. ■

En resumen, tenemos el siguiente resultado:

**Teorema 3.12** Sea  $\lambda$  el conjunto de separatrices de  $A^*$  y  $\tilde{\lambda}$  el de  $\tilde{X}$ . Si  $\delta > 0$  es suficientemente pequeña y  $\tilde{X}$  es tal que  $\rho(\tilde{X}, A^*) < \delta$ . Entonces existe una correspondencia uno a uno entre los conjuntos  $\lambda$  y  $\tilde{\lambda}$  de modo que:

- Separatrices correspondientes son del mismo tipo.
- Un subconjunto de  $\tilde{\lambda}$  acota una región canónica de  $\tilde{X}$  si y solo si el subconjunto correspondiente de  $\lambda$  acota una región canónica, similar, de  $A^*$ .

Demostración. Por los lemas 3.7, 3.8 y 3.10 tenemos una correspondencia uno a uno ( $K_i \rightarrow \tilde{K}_i$ ,  $i=1, \dots, r$ ;  $\delta_j \rightarrow \tilde{\delta}_j$ ,  $j=1, \dots, s$ ) entre los puntos críticos y los ciclos límite de  $A^*$  y  $\tilde{X}$ . Esta correspondencia no cambia el tipo de la singularidad ni la estabilidad de los ciclos límite.

Por el lema 3.11 tenemos una correspondencia uno a uno entre las separatrices. Esta correspondencia es tal que asocia a una separatriz que une fuentes, puntos silla o sumideros (de  $A^*$ ), otra separatriz que une las correspondientes fuentes, puntos silla o sumideros (en  $\tilde{X}$ ). Concluimos que si un conjunto de separatrices de  $A^*$  acota una región canónica  $R$ , entonces el correspondiente conjunto de separatrices de  $\tilde{X}$  acota una región canónica  $\tilde{R}$  del mismo tipo. Todo esto es válido

si tomamos como  $\delta$  el mínimo de las deltas utilizadas en los lemas 3.7,  
3.8, 3.10 y 3.11 . Y si  $\rho(\Sigma, A^*) < \delta$  ■

## Sección 2. La equivalencia topológica

En esta parte nos proponemos construir el homeomorfismo de  $B^2$  en  $B^2$  que haga topológicamente equivalente a  $\bar{X}$  con  $A^*$ , siempre que  $\rho(\bar{X}, A^*) < \delta$  (donde  $\delta$  es la mencionada en el teorema 3.12).

Consideremos  $K = (0,0)$  un punto silla de  $A^*$ , tomando a las ejes coordenados como las tangentes a las separatrices, podemos expresar a  $A^* = (A_1, A_2)$  de la forma siguiente:

$$A_1(x, y) = -\lambda x + p(x, y)$$

$$A_2(x, y) = \mu y + q(x, y) \quad \lambda > 0, \mu > 0$$

o sea, tenemos la ecuación diferencial

$$x' = -\lambda x + p(x, y)$$

$$y' = \mu y + q(x, y)$$

(1)

donde  $p$  y  $q$  y sus primeras derivadas parciales se anulan en  $K$

Lema 3.13 Dado  $\varepsilon > 0$  podemos encontrar  $\delta > 0$  y  $\eta > 0$  tales que si  $\rho(\bar{X}, A^*) < \delta$ , la longitud de cualquier arco de trayectoria de  $\bar{X}$  en el interior del Disco,  $D$ , con centro en  $K$  (punto silla) y radio  $\eta$ , es menor que  $\varepsilon$ .

Demostración Tomemos  $\delta$  y  $\eta$  tan pequeños para que en el interior de  $D$ ,  $\bar{X}$  sólo tenga una singularidad (punto silla) en  $(x_0, y_0)$ .  $\bar{X}$  se puede expresar así:

$$x' = -\lambda x + p(x, y) + \bar{p}(x, y) = \bar{X}_1(x, y)$$

$$y' = \mu y + q(x, y) + \bar{q}(x, y) = \bar{X}_2(x, y)$$

Observese que si  $(x, y)$  es elemento de  $D = \{ (x, y) \mid x^2 + y^2 \leq r^2 \}$

$$x' = \frac{\partial \mathcal{L}}{\partial x} \Big|_{(x_0, y_0)} (x - x_0) + \frac{\partial \mathcal{L}}{\partial y} \Big|_{(x_0, y_0)} (y - y_0) + (x - x_0) \xi_1 + (y - y_0) \xi_2$$

$$y' = \frac{\partial \mathcal{L}}{\partial x} \Big|_{(x_0, y_0)} (x - x_0) + \frac{\partial \mathcal{L}}{\partial y} \Big|_{(x_0, y_0)} (y - y_0) + (x - x_0) \xi_3 + (y - y_0) \xi_4$$

donde  $\xi_i$  son funciones de  $(x, y)$  que podemos hacer tan pequeñas como queramos si tomamos  $\delta y$  suficientemente pequeños. Tenemos la siguiente expresión para el campo  $\bar{x}$ :

$$x' = (-\lambda + a_1)(x - x_0) + a_2(y - y_0) + (x - x_0) \xi_1 + (y - y_0) \xi_2 \tag{2}$$

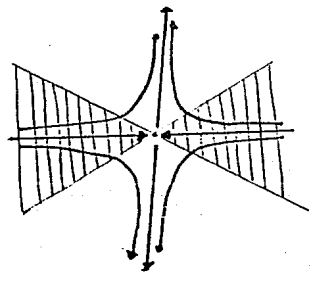
$$y' = (x - x_0) a_3 + (\mu + a_4)(y - y_0) + (x - x_0) \xi_3 + (y - y_0) \xi_4$$

donde  $a_j, j = 1, 2, 3, 4$  son constantes (una vez que tenemos  $\bar{x}$ ).

Dividimos ahora la región  $D$  en dos subconjuntos:

$$I = \{ (x, y) \in D \mid \mu |y - y_0| \leq \lambda |x - x_0| \}$$

$$II = \{ (x, y) \in D \mid \mu |y - y_0| \geq \lambda |x - x_0| \}$$



De (2) obtenemos

$$\begin{aligned} \frac{dy}{dx} &= \frac{a_3(x - x_0) + (\mu + a_4)(y - y_0) + (x - x_0) \xi_3 + (y - y_0) \xi_4}{(-\lambda + a_1)(x - x_0) + a_2(y - y_0) + (x - x_0) \xi_1 + (y - y_0) \xi_2} \\ &= \frac{a_3 + (\mu + a_4) \left[ \frac{y - y_0}{x - x_0} \right] + \xi_3 + \left[ \frac{y - y_0}{x - x_0} \right] \xi_4}{-\lambda + a_1 + a_2 \left[ \frac{y - y_0}{x - x_0} \right] + \xi_1 + \left[ \frac{y - y_0}{x - x_0} \right] \xi_2} \dots \dots \tag{3} \end{aligned}$$

Observemos que en el conjunto I se tiene  $\mu |y - y_0| \leq \lambda |x - x_0|$ , entonces

$$\frac{y - y_0}{|x - x_0|} \leq \frac{\lambda}{\mu} \quad , \quad -\frac{\lambda}{\mu} \leq \frac{y - y_0}{x - x_0} \leq \frac{\lambda}{\mu} \quad . \quad \text{Además } a_1, a_2, a_3 \text{ y } a_4 \text{ tienen la si-}$$

guiente forma:

$$a_1 = \frac{\partial p}{\partial x} |_{(x_0, y_0)} + \frac{\partial \bar{v}}{\partial x} |_{(x_0, y_0)}$$

$$a_2 = \frac{\partial p}{\partial y} |_{(x_0, y_0)} + \frac{\partial \bar{v}}{\partial y} |_{(x_0, y_0)}$$

$$a_3 = \frac{\partial q}{\partial x} |_{(x_0, y_0)} + \frac{\partial \bar{q}}{\partial x} |_{(x_0, y_0)}$$

$$a_4 = \frac{\partial q}{\partial y} |_{(x_0, y_0)} + \frac{\partial \bar{q}}{\partial y} |_{(x_0, y_0)}$$

Por (1), si  $(x_0, y_0)$  está suficientemente cerca de  $K$ , se tiene que  $|\frac{\partial p}{\partial x}|$ ,

$|\frac{\partial p}{\partial y}|$ ,  $|\frac{\partial \bar{q}}{\partial x}|$  y  $|\frac{\partial \bar{q}}{\partial y}|$  son pequeñas. Como  $\rho(\mathbb{R}, A^*) < \delta$ , se tiene que  $|\frac{\partial p}{\partial x}|$ ,

$|\frac{\partial p}{\partial y}|$ ,  $|\frac{\partial \bar{q}}{\partial x}|$  y  $|\frac{\partial \bar{q}}{\partial y}|$  son menores que  $\delta$ . Por lo tanto dado  $\epsilon > 0$  existe  $\delta_y$  y  $\eta$  tales

que  $|a_j| < \epsilon \quad j = 1, 2, 3, 4$

Regresemos a nuestra expresión (3), de ella obtenemos

$$\left| \frac{dy}{dx} \right| \leq \left| \frac{a_3 + (\mu + a_4) \frac{\lambda}{\mu} + \xi_3 + \frac{\lambda}{\mu} \xi_4}{-\lambda + a_2 \left[ \frac{y - y_0}{x - x_0} \right] + \xi_1 + \left[ \frac{y - y_0}{x - x_0} \right] \xi_2} \right|$$

$$\left| \frac{dy}{dx} \right| \leq \left| \frac{a_3 + \lambda + a_4 \frac{\lambda}{\mu} + \xi_3 + \frac{\lambda}{\mu} \xi_4}{-\lambda + a_2 \left[ \frac{y - y_0}{x - x_0} \right] + \xi_1 + \left[ \frac{y - y_0}{x - x_0} \right] \xi_2} \right|$$

Por lo tanto para  $\delta_y$  y  $\eta$  suficientemente pequeños, se tiene que la parte derecha de esta desigualdad está cercana a  $|\frac{\lambda}{\lambda}| = 1$ , de donde podemos esco-

ger  $\delta_y$  y  $\eta$  tales que  $|\frac{dy}{dx}| < 2$  para todo punto en la región I (distinto de  $(x_0, y_0)$ ). En forma análoga obtenemos  $|\frac{dx}{dy}| < 2$  en la región II.

Sea  $\delta$  un arco de trayectoria solución de  $\bar{X}$  contenido en el disco  $D$  con centro en  $K$  y radio  $\eta$ . Podemos dividir  $\delta$  en dos subarcos  $\delta_1$  +  $\delta_2$ ,

donde  $\gamma_1 = \gamma \cap I$  y  $\gamma_2 = \gamma \cap II$ . La longitud de  $\gamma$ ,  $l(\gamma)$ , está dada por:

$$l(\gamma) = \int_a^b \sqrt{1 + \left| \frac{dx}{dx} \right|^2} dx + \int_c^d \sqrt{1 + \left| \frac{dx}{dy} \right|^2} dy$$

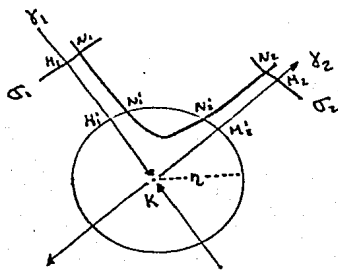
por tanto

$$l(\gamma) \leq (b-a)\sqrt{5} + (d-c)\sqrt{5}.$$

Como  $(b-a) < \eta$  y  $(d-c) < \eta$ , obtenemos  $l(\gamma) < 2\eta\sqrt{5}$  con lo que queda demostrado el lema ■

Lema 3.14 Sea  $K$  un punto silla de  $A^*$ , sean  $\delta_1$  y  $\delta_2$  dos separatrices que tienden a el infinito  $t \rightarrow \infty$  y  $t \rightarrow -\infty$  respectivamente. A través de  $M_1 \in \delta_1$  y  $M_2 \in \delta_2$  consideremos dos pequeñas arcos sin contacto,  $\sigma_1$  y  $\sigma_2$ , llamamos  $N_2$  al punto dor de la trayectoria que pasa por  $N_1 \in \sigma_1$  cruz  $\sigma_2$ . Entonces cuando  $N_1 \rightarrow M_1$  se tiene que

$$l(\overline{N_1 N_2}) \rightarrow l(\overline{M_1 K}) + l(\overline{M_2 K}).$$



Demostración. Con la terminología del lema anterior, aquí tenemos un sólo campo  $A^*$ , por tanto  $S=0$ . Llamamos  $M_i$  a las intersecciones de  $\delta_i$  con la frontera de  $D$ ,  $i=1,2$ . Dado  $\epsilon > 0$  existe  $\eta$  tal que el lema anterior es válido. En-

Entonces  $l(\overline{M_i}, \overline{K}) + l(\overline{M_i}, \overline{K}) < 2\varepsilon$  y  $l(N_i, N_i) < \varepsilon$ . Obsérvese que cuando  $d(M_i, N_i)$  es pequeña se tiene que

$$|l(\overline{M_i}, \overline{M_i}) - l(\overline{N_i}, \overline{N_i})| < \varepsilon \quad \text{y} \quad |l(\overline{M_i}, \overline{N_i}) - l(\overline{N_i}, \overline{N_i})| < \varepsilon.$$

Calculemos ahora  $|l(\overline{N_i}, \overline{N_i}) - l(\overline{M_i}, \overline{K}) - l(\overline{M_i}, \overline{K})|$

$$\begin{aligned} &= |l(\overline{N_i}, \overline{N_i}) + l(\overline{N_i}, \overline{N_i}) + l(\overline{N_i}, \overline{N_i}) - l(\overline{M_i}, \overline{K}) - l(\overline{M_i}, \overline{K})| \\ &= |l(\overline{N_i}, \overline{N_i}) + l(\overline{N_i}, \overline{N_i}) + l(\overline{N_i}, \overline{N_i}) - l(\overline{M_i}, \overline{M_i}) - l(\overline{M_i}, \overline{K}) - l(\overline{K}, \overline{M_i}) - l(\overline{M_i}, \overline{M_i})| \\ &\leq |l(\overline{N_i}, \overline{N_i}) - l(\overline{M_i}, \overline{M_i})| + |l(\overline{N_i}, \overline{N_i}) - l(\overline{M_i}, \overline{M_i})| + |l(\overline{N_i}, \overline{N_i}) - l(\overline{M_i}, \overline{K}) - l(\overline{K}, \overline{M_i})| \end{aligned}$$

Por lo tanto  $|l(\overline{N_i}, \overline{N_i}) - [l(\overline{M_i}, \overline{K}) + l(\overline{M_i}, \overline{K})]| \leq 5\varepsilon$  ■

Lema 3.15 Sea  $\Delta_0 B_0$  un arco (que no se auto-intersecta) y  $\Delta_i B_i$ ,  $i=1, 2, \dots$  una sucesión de arcos que convergen a  $\Delta_0 B_0$  de la siguiente forma:

a)  $l(\Delta_i B_i)$  tiende a  $l(\Delta_0 B_0)$  cuando  $i$  tiende a infinito.

b) si  $M \in \Delta_0 B_0$  es tal que  $l(\Delta_0 M) = s$  y  $M_i \in \Delta_i B_i$  es tal que  $l(\Delta_i M_i) = s$ , entonces para todo  $\varepsilon > 0$  existe  $N \in \mathbb{N}$  tal que para todo  $i > N$  se tiene que  $d(M, M_i) < \varepsilon$  y esta  $N$  no depende de  $M$ .

Entonces:

c) Un punto  $M_i$  de  $\Delta_i B_i$  con  $z_i = \frac{l(\Delta_i M_i)}{l(\Delta_i B_i)}$  converge a un punto  $M_0$  en  $\Delta_0 B_0$  si y solo si  $z_i$  converge a  $z_0 = \frac{l(\Delta_0 M_0)}{l(\Delta_0 B_0)}$  cuando  $i$  tiende a infinito

d) los puntos en  $\Delta_i B_i$  convergen uniformemente a puntos en  $\Delta_0 B_0$  con igual  $z$ -coordenada.



Demostreación . Demostremos primero (c) . Supongamos que  $\lim_{i \rightarrow \infty} z_i = z_0$ ,

tenemos que mostrar que  $\lim_{i \rightarrow \infty} M_i = M_0$  .

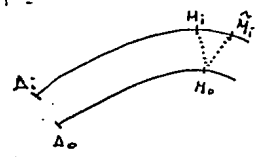
$$\text{El } \lim_{i \rightarrow \infty} z_i = z_0 \text{ implica que } \lim_{i \rightarrow \infty} \frac{l(\Delta_i M_i)}{l(\Delta_i B_i)} = \frac{l(\Delta_0 M_0)}{l(\Delta_0 B_0)}$$

como  $\lim_{i \rightarrow \infty} l(\Delta_i B_i) = l(\Delta_0 B_0)$  . . . . (1)

tenemos que  $\lim_{i \rightarrow \infty} l(\Delta_i M_i) = l(\Delta_0 M_0)$  .

Observemos ahora que  $d(M_i, M_0) \leq l(M_i \tilde{M}_i) + d(\tilde{M}_i, M_0)$  donde

$$l(\Delta_i \tilde{M}_i) = l(\Delta_0 M_0) .$$



$$\begin{aligned} d(M_i, M_0) &\leq |l(\Delta_i \tilde{M}_i) - l(\Delta_i M_i)| + d(\tilde{M}_i, M_0) \\ &= |l(\Delta_0 M_0) - l(\Delta_i M_i)| + d(\tilde{M}_i, M_0) \end{aligned}$$

de (1) y de la convergencia de  $\Delta_i B_i$  a  $\Delta_0 B_0$  concluimos que dada  $\epsilon > 0$  existe  $N \in \mathbb{N}$  tal que para toda  $i > N$ ,  $d(M_i, M_0) < \epsilon$  . Por lo tanto  $\lim_{i \rightarrow \infty} M_i = M_0$

Supongamos, ahora, que  $\lim_{i \rightarrow \infty} M_i = M_0$  y observemos que

$$|l(\Delta_i M_i) - l(\Delta_0 M_0)| = |l(\Delta_0 M_{i_0}) - l(\Delta_0 M_0)|$$

donde  $M_{i_0}$  es tal que  $l(\Delta_i M_i) = l(\Delta_0 M_{i_0})$  para toda  $i \in \mathbb{N}$ , por lo tanto

$$|l(\Delta_i M_i) - l(\Delta_0 M_0)| = l(M_{i_0}, M_0) .$$

Observemos que  $\lim_{i \rightarrow \infty} l(M_{i_0}, M_0) = 0$  ya que de no ser así existiría  $\epsilon > 0$ ,  $\epsilon$  constante tal que  $l(M_{i_0}, M_0) \geq \epsilon$  para toda  $i \in \mathbb{N}$ , pero como  $M_i$  converge a  $M_0$ , se tiene que  $M_{i_0}$  converge a  $M_0$  y esto nos lleva a que  $l(M_0, M_0) \geq \epsilon$

Lo que es una contradicción, ya que  $\Delta_0 B_0$  no se autointerseca. Concluimos que si

$\lim_{i \rightarrow \infty} M_i = M_0$  entonces  $\lim_{i \rightarrow \infty} l(\Delta_i M_i) = l(\Delta_0 M_0)$  y por lo tanto

$$\lim_{i \rightarrow \infty} \frac{l(\Delta_i M_i)}{l(\Delta_i B_i)} = \frac{l(\Delta_0 M_0)}{l(\Delta_0 B_0)}$$

es decir,  $\lim_{i \rightarrow \infty} z_i = z_0$ .

Mostraremos ahora la afirmación (d). Podremos mostrar que la convergencia de puntos de  $\Delta_i B_i$  a puntos  $\Delta_0 B_0$  con igual  $z$ -coordenada es uniforme.

Supongamos que no es uniforme, entonces dada  $\epsilon > 0$  existe una subsucesión de arcos  $A_j B_j$  que convergen a  $\Delta_0 B_0$ , y puntos  $M_j \in A_j B_j$  tales que  $d(M_j, M_{j_0}) > \epsilon$  (para todo  $j$ ) donde  $M_{j_0}$  denota el punto en  $\Delta_0 B_0$  con la misma  $z$ -coordenada de  $M_j$ .

Observemos que el conjunto  $\{M_j\}$  tiene un punto límite en  $\Delta_0 B_0$ , llamémoslo  $\bar{M}$ , sea  $\bar{z}$  su coordenada, entonces existe una subsucesión de  $\{M_j\}$  tal que converge a  $\bar{M}$ ,  $\{M_k\} \rightarrow \bar{M}$ , y las coordenadas de  $M_k$ ,  $z_k$ , convergen a  $\bar{z}$ , como  $z_k$  es la misma para todo  $M_j$  e igual a la coordenada de  $M_{j_0}$ , se tiene que  $\bar{z}$  es la coordenada de  $M_{j_0}$ , pero por la afirmación (c) obtenemos que  $\bar{M} = M_{j_0}$ . Lo que es una contradicción con  $d(M_j, M_{j_0}) > \epsilon$ . ■

Teorema 3.16 Sea  $A^* \in \Sigma$  un campo que satisface las condiciones:

- i)  $A^*$  tiene sólo una cantidad finita de puntos críticos, todos hiperbólicos.
- ii)  $A^*$  tiene sólo una cantidad finita de órbitas cerradas, todas hiperbólicas.

iii)  $A^*$  no tiene trayectorias solución que unen puntos silla.  
 Entonces  $A^*$  es un campo estructuralmente estable. Es decir, existe  $\delta > 0$  tal que si  $\rho(\mathbb{X}, A^*) < \delta$  podemos encontrar un homeomorfismo de  $B^2$  en si mismo que transforma trayectorias de  $A^*$  en trayectorias de  $\bar{\mathbb{X}}$  (conservando la orientación).

Demostración. Consideremos primero  $\delta$  suficientemente pequeño para que el teorema 3.12 y los lemas 3.13, 3.14 y 3.15 se cumplan.

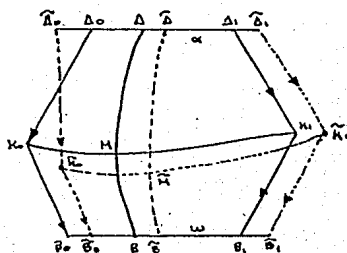
Sea  $G^*$  el conjunto obtenido de  $B^2$  quitando los interiores de todas las regiones críticas que contengan una fuente, un sumidero o un ciclo límite.

Sean  $R_n$  y  $\tilde{R}_n$   $n=1, \dots, m$ , las correspondientes regiones canónicas de  $A^*$  y  $\bar{\mathbb{X}}$ . Llamemos  $R_n^*$  y  $\tilde{R}_n^*$  la intersección de la cerradura de  $R_n$  y  $\tilde{R}_n$  con  $G^*$  respectivamente.

Para cada  $n$  definiremos un homeomorfismo  $h_n$  de  $R_n^*$  en  $\tilde{R}_n^*$ .

Denotamos por  $R$  y  $\tilde{R}$  una región de las del tipo  $R_n$  o  $\tilde{R}_n$  respectivamente. Observemos que dado que tenemos tres tipos de regiones canónicas, debemos construir el homeomorfismo distinguiendo tres casos.

a) Sea  $R$  una región del tipo 1.1.  $R^*$  está acotada por las curvas  $A_0 K_0 B_0$ ,  $A_1 K_1 B_1$ , donde  $K_0$  y  $K_1$  son puntos silla, y por los arcos  $\alpha = A_0 A_1$  y  $w = B_0 B_1$  (que son parte de la frontera de una región crítica o de la frontera de  $B^2$ ). Sea  $U$  el rectángulo  $OM_1 S_1$ ,



0  $\leq v \leq 2$ . Definimos  $\varphi: \mathbb{R}^* \rightarrow U$  de la siguiente forma:

1.- El arco  $\Delta_0 \Delta_1$  es transformado en el lado  $0 \leq m \leq 1$ ,  $v=0$  por fracciones de longitud de arco, esto es, si  $\Delta \in \Delta_0 \Delta_1$ ,  $\varphi(\Delta) = (m, 0)$  donde

$$m = \frac{l(\Delta_0 \Delta)}{l(\Delta_0 \Delta_1)}$$

2.- En forma similar el arco  $\Delta_0 K_0$  es transformado en el semilado  $(0, v)$  donde  $0 \leq v \leq 1$ ; el arco  $\Delta_1 K_1$  en el semilado  $(1, v)$ ,  $0 \leq v \leq 1$ ; el arco  $K_0 B_0$  en  $(0, v)$ ,  $1 \leq v \leq 2$ ; y el arco  $K_1 B_1$  en  $(1, v)$ ,  $1 \leq v \leq 2$ .

3.- Sean  $m_0 = \frac{l(\Delta_0 K_0)}{l(\Delta_0 B_0)}$  y  $m_1 = \frac{l(\Delta_1 K_1)}{l(\Delta_1 B_1)}$ . En cada trayectoria  $\Delta B$

que inicie en el punto  $\Delta \sim (m, 0)$  consideremos el punto  $M$  tal que

$$\frac{l(\Delta M)}{l(\Delta B)} = (1-m)m_0 + m m_1 \dots \dots (1)$$

Definimos  $\varphi(M) = (m, v)$ . Si  $P \in \Delta B$  definimos  $\varphi(P) = (m, v)$ ,

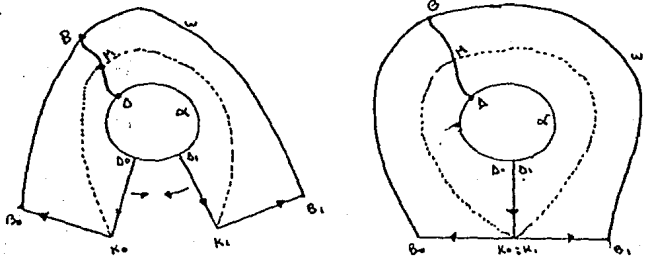
donde  $v = \frac{l(\Delta P)}{l(\Delta M)}$  cuando  $P \in \Delta M$  o  $v = 1 + \frac{l(MP)}{l(MB)}$  cuando  $P \in MB$ ,

con esto hemos definido  $\varphi$  en todo  $\mathbb{R}^*$

Observamos que  $\varphi$  es uno a uno y sobreyectiva. La continuidad de  $\varphi$  en todos los puntos interiores de  $\mathbb{R}^*$  se sigue de la continuidad con respecto a las condiciones iniciales, del lema 3.15 y de la igualdad (1). Para mostrar la continuidad de  $\varphi$  en las curvas  $\Delta_0 K_0 B_0$  y  $\Delta_1 K_1 B_1$  hacemos uso también del lema 3.14. De hecho estos lemas muestran también que  $\varphi^{-1}$  es continua, por lo tanto  $\varphi$  es un homeomorfismo.

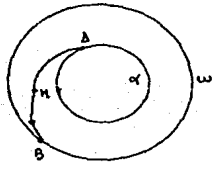
De la misma manera construimos un homeomorfismo  $\hat{\varphi}$  de  $\hat{\mathbb{R}}^*$  en  $U$ . Entonces  $f = \hat{\varphi} \circ \varphi: \mathbb{R}^* \rightarrow \hat{\mathbb{R}}^*$  es un homeomorfismo de  $\mathbb{R}^*$  en  $\hat{\mathbb{R}}^*$ . Además  $f(k_0) = \hat{k}_0$ ,  $f(k_1) = \hat{k}_1$ . Con esto terminamos el caso (a).

b) Sea  $R$  una región de tipo  $\overline{II}$ . Observemos que esta región puede asumirse como un caso límite de regiones del tipo  $\overline{III}$  (cuando los puntos se la coinciden).



El lugar geométrico de los puntos  $M$  es ahora una curva cerrada que contiene en su interior la mira  $\Delta_0 \Delta_1$ . El homeomorfismo  $\mathcal{Q}$  se define en forma totalmente análoga al caso anterior.

c) Sea  $R$  una región de tipo  $I$ . En este caso  $R^* = \tilde{R}^*$  y están acotadas por dos curvas cerradas (una de ellas puede ser la frontera de  $B^2$ ).



Tomemos un homeomorfismo de la mira  $\Delta$  en el círculo  $\alpha$   $\alpha \cong S^1$  con los extremos identificados. Para cada  $M \in R^*$  nos fijamos en  $\Delta \in \alpha$  tal que  $M$  esté en la trayectoria solución de  $A^*$  que pase por  $\Delta$ ; definimos  $\mathcal{Q}(M) = (u, v)$  donde  $u$  es el real que le corresponde a  $\Delta$  y  $v = \frac{1(\Delta, M)}{2(\Delta, B)}$  donde  $B$  es el punto donde la trayectoria por  $M$  interseca  $w$ . De esta forma definimos un homeomorfismo

fismo de  $\mathbb{R}^*$  en el producto del círculo por el intervalo  $0 \leq v \leq 1$ . Haciendo lo mismo para  $\tilde{\mathbb{R}}^*$  obtenemos un homeomorfismo entre  $\mathbb{R}^*$  y  $\tilde{\mathbb{R}}^*$ .

En resumen tenemos una familia de homeomorfismos

$$f_n: \mathbb{R}^*_n \rightarrow \tilde{\mathbb{R}}^*_n \quad n=1, \dots, m$$

tales que si  $p \in \mathbb{R}^*_k \cap \mathbb{R}^*_l$  entonces  $f_k(p) = f_l(p)$  para cualquier  $k$  y  $l$  en  $\{1, \dots, m\}$ . Poniendo juntos estos homeomorfismos, tenemos un homeomorfismo  $T^*$  de  $\mathbb{R}^*$  en sí mismo, y  $T^*$  es un homeomorfismo que preserva orientación (de las trayectorias).

Queremos extender ahora el homeomorfismo  $T^*$  al interior de los discos  $D_i$  que contienen puntos críticos (fuentes o sumideros).

Supongamos que la región  $D$  contiene a los puntos críticos  $K$  y  $\tilde{K}$  de  $A^*$  y  $\tilde{A}$  respectivamente, y que  $\varphi_t$  es el flujo de  $A^*$  y  $\psi_t$  el de  $\tilde{A}$ .

Observemos que  $T^*$  está ya definido en la frontera de  $D$  ( $\partial D$ ). Sea  $q$  en el interior de  $D$  definimos

$$T^*(q) = \psi_{-t} \circ T^* \circ \varphi_t(q)$$

donde  $t$  es el tiempo necesario para que  $\varphi_t(q) \in \partial D$ . Además

$$T^*(K) = \tilde{K}$$

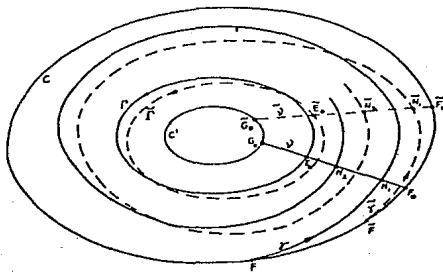
Esta definición extiende a  $T^*$  a  $D$ . Además por lo desarrollado en el capítulo I,  $T^*$  es un homeomorfismo en  $D$ .

Nos resta definir un homeomorfismo  $\varphi$  en cada región  $S$ , donde  $S$  contiene los ciclos límite  $\Pi$  y  $\tilde{\Pi}$  de  $A^*$  y  $\tilde{A}$  respectivamente.

Sean  $C$  y  $C'$  las curvas que forman la frontera de  $S$ , supongamos que

$h(\Gamma) < 0$  y  $\Gamma$  orientada en contra de las manecillas del reloj.

Tomemos una normal a  $\Gamma$ ,  $\nu$ , fija y parametricemos  $\Gamma, C, C'$  por trazo-  
nes de longitud de arco contadas a partir de  $\nu$  en sentido positivo.



Obtenemos así los puntos  $E_m$ ,  $0 \leq m \leq 1$ , en  $\Gamma$  con  $E_0 = E_1 = \nu \cap \Gamma$ ;  $F_m$ ,  
 $0 \leq m \leq 1$  en  $C$  con  $F_0 = F_1 = \nu \cap C$ ;  $G_m$ ,  $0 \leq m \leq 1$  en  $C'$  con  $G_0 = G_1 = \nu \cap C'$ .  
Observamos que  $T^*$  está definido en  $C$  y  $C'$ , llamaremos  $\tilde{F}_m = T^*(F_m)$ ,  
 $\tilde{G}_m = T^*(G_m)$ ,  $0 \leq m \leq 1$ ,  $0 \leq m \leq 1$ . Unimos  $\tilde{F}_0$  con  $\tilde{G}_0$  mediante un segmen-  
to de recta  $\tilde{\nu}$  y tomamos  $\delta$  lo suficientemente pequeños para que  $\tilde{\nu}$  sea  
un arco sin contacto para  $\tilde{\Sigma}$ .

Observese que el homeomorfismo  $\varphi: S \rightarrow S$  debe transformar el anillo  
abierto  $S'$  acotado por  $C$  y  $\Gamma$  en el anillo abierto  $\tilde{S}'$  acotado por  $C$  y  $\tilde{\Gamma}$ ; y el anillo  
 $S''$  acotado por  $C'$  y  $\Gamma$  en el anillo abierto  $\tilde{S}''$  acotado por  $C'$  y  $\tilde{\Gamma}$ .

Definimos  $\varphi(F_m) = T^*(F_m) = \tilde{F}_m$ ,  $0 \leq m \leq 1$ . Sea  $\delta$  la trayecto-  
ria de  $A^*$  que entra en  $S$  a través de algún punto  $F$  en  $C$ ,  $\delta$  intersecciona  $\nu$  un  
numero infinito de veces, creando una sucesión monótona  $\{N_i\} \in \mathbb{N}$ , que tien-  
de a  $E_0$ . Llamemos  $\tilde{\delta}$  la trayectoria de  $\tilde{\Sigma}$  que intersecciona  $C$  en el punto  $\tilde{F}_1$ .

$\tilde{F} = \varphi(F)$ ,  $\tilde{\mathcal{S}}$  interseccionará  $\tilde{D}$  creando una sucesión  $\{\tilde{N}_i\}_{i \in \mathcal{N}}$ , con límite  $\tilde{E}_0$ ,  
 $\tilde{E}_0 = \tilde{\Gamma} \cap \tilde{D}$ . De esta forma  $\tilde{\mathcal{S}}$  y  $\tilde{D}$  están divididas en una cantidad infinita de sub  
 arcos:  $F N_i = \delta_i$ ,  $N_i N_{i+1} = \delta_{i+1}$ ;  $\tilde{F} \tilde{N}_i = \tilde{\delta}_i$ ,  $\tilde{N}_i \tilde{N}_{i+1} = \tilde{\delta}_{i+1}$ ,  $i \in \mathcal{N}$ . Definimos  
 $\varphi$  de tal forma que transforme el arco cerrado  $\delta_i$  en  $\tilde{\delta}_i$  mediante fracciones de lon-  
 gitud de arco, es decir, si  $M \in N_i N_{i+1}$  entonces  $\varphi(M) = \tilde{M}$ ,  $\tilde{M} \in \tilde{N}_i \tilde{N}_{i+1}$ ,  
 donde  $\frac{\ell(N_i M)}{\ell(N_i N_{i+1})} = \frac{\ell(\tilde{N}_i \tilde{M})}{\ell(\tilde{N}_i \tilde{N}_{i+1})}$ ,  $i \in \mathcal{N}$ , con  $N_0 = F$ . De esta forma  $\varphi$  es  
 ta definida en el anillo abierto  $S'$ . Análogamente definimos  $\varphi$  en el anillo  $S''$ .  
 Para extender  $\varphi$  a  $\Gamma$ , parametrizemos  $\tilde{\Gamma}$  mediante fracciones de longitud de arco  
 $\tilde{w}$ , tomando  $\tilde{E}_0$  como origen y orientando  $\tilde{\Gamma}$  en sentido positivo. Entonces  
 $\varphi(Ew)$  será el punto en  $\tilde{\Gamma}$  con coordenada  $\tilde{w} = w$ ,  $0 \leq w \leq 1$ .

Claramente  $\varphi$  es uno a uno y sobreyectiva. Observese que cada punto  $M$  de  
 $S$  pertenece a cierto arco  $N_i N_{i+1}$ , de la trayectoria que le corresponde (este arco será  
 $\Gamma$  si  $M \in \Gamma$ ). Supongamos que tenemos una sucesión  $\{M_j\} \rightarrow M$ . Sea  $\{N_k^j N_{k+1}^j\}$ ,  
 $k$  depende de  $j$ , la correspondiente sucesión de arcos. Entonces por continuidad  
 con respecto a las condiciones iniciales se tiene que  $\ell(N_k^j N_{k+1}^j) \rightarrow \ell(N_k N_{k+1})$   
 cuando  $j$  tiende a infinito. Situación similar tenemos en  $\tilde{S}$  para el campo  $\tilde{\mathcal{S}}$ ,  
 por el lema 3.15 se sigue que  $\varphi(M_j) \rightarrow \varphi(M)$  cuando  $j$  tiende a infinito,  
 lo que muestra que  $\varphi$  es continua. En forma análoga  $\varphi^{-1}$  es continua, por lo  
 tanto  $\varphi$  es un homeomorfismo en  $S$ .

Hacemos esta misma construcción para cada  $S_k$ ,  $k=1, \dots, s$ , regio-  
 nes que contienen a los lados límite  $\delta_1, \dots, \delta_s$ . Tomando  $T^* = \varphi$  en cada  
 $S_k$  extendemos  $T^*$  a todo  $B^2$ . Por lo tanto  $T^*$  es un homeomorfismo



de  $B^2$  en sí mismo que transforma trayectorias de  $A^*$  en trayectorias de  $\bar{X}$  ■

Todo lo desarrollado en el capítulo II y en este capítulo se resume en el siguiente resultado:

Teorema 3.17 Un campo  $\bar{X} \in \Sigma$  es estructuralmente estable si

y solo si cumple las siguientes condiciones:

- i)  $\bar{X}$  tiene sólo una cantidad finita de puntos críticos, todos hiperbólicos
- ii)  $\bar{X}$  tiene sólo una cantidad finita de órbitas cerradas, todas hiperbólicas
- iii)  $\bar{X}$  no tiene trayectorias solución que unan puntos silla.

### Capítulo IV

En esta parte extendemos los resultados obtenidos en los tres primeros capítulos, a campos definidos sobre variedades diferenciales compactas de dimensión dos orientables ( $M^2$ ). Nuestro objetivo central es mostrar que si tenemos un campo  $X$  de clase  $C^1$  definido sobre  $M^2$ , entonces  $X$  es estructuralmente estable si y solo si  $X$  cumple con las siguientes condiciones:

- a) Existen sólo una cantidad finita de singularidades, todas ellas hiperbólicas.
- b) Los  $\alpha$  y  $\omega$ -conjuntos límite de toda trayectoria solamente pueden ser singularidades u órbitas cerradas.
- c) No existen trayectorias que conecten puntos silla.
- d) Existen sólo una cantidad finita de órbitas cerradas, todas ellas simples.

En la primera sección presentamos un conjunto de teoremas y resultados que nos servirán como herramienta en las secciones siguientes.

De la segunda a la cuarta sección consideramos un campo  $X$  estructuralmente estable dado, y vamos descubriendo cuáles son las condiciones que cumple. En la segunda sección discutimos cantidad y naturaleza de sus singularidades; en la tercera discutimos sus conjuntos límite y finalmente en la cuarta estudiamos sus órbitas ce-

vades .

En la quinta , y última , sección mostramos que las condiciones a) , b) , c) y d) son suficientes para que un campo que las cumpla sea estructuralmente estable .

En todo el capítulo consideramos  $M^2$  como una variedad diferenciable , orientable , compacta , conexa de dimensión dos .

La totalidad del material que presentamos en esta parte se puede encontrar en el libro de J. Palis y W. De Melo , Introdução aos Sistemas Dinâmicos , y en el artículo de H.M. Peixoto , Structural Stability on two Dimensional Manifolds .

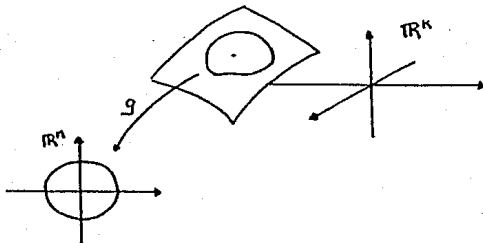
## Sección 1. Definiciones y Proposiciones Iniciales.

Definición 4.1 Sea  $M$  un subconjunto del espacio  $\mathbb{R}^k$ . Consideremos en  $M$  la topología inducida. Decimos que  $M$  es una variedad diferenciable de dimensión  $n$  si para cada punto  $p$  en  $M$  existen una vecindad  $U \subset M$  de  $p$ , una vecindad  $U_0 \subset \mathbb{R}^n$  de  $\bar{0}$ , y un homeomorfismo

$$g: U \rightarrow U_0$$

tal que para cada  $u \in U_0$

$$dg^{-1}|_{u}: \mathbb{R}^n \rightarrow \mathbb{R}^k \text{ es invertible.}$$



Decimos  $(g, U)$  es una carta local en torno de  $p$ , y  $U$  es una vecindad coordinada de  $p$ . Si los homeomorfismos  $g$  son de clase  $C^r$ , entonces decimos que  $M$  es una variedad de clase  $C^r$ . Si solamente decimos variedad diferenciable, entonces los homeomorfismos  $g$  son de clase  $C^\infty$ . Además si  $g_1$  y  $g_2$  son dos homeomorfismos de finitales en  $U_1$  y  $U_2$ , y  $U_1 \cap U_2 \neq \emptyset$ , entonces el cambio de coordenadas

$$g_2 \circ g_1^{-1}: g_1(U_1 \cap U_2) \rightarrow g_2(U_1 \cap U_2)$$

es un difeomorfismo de clase  $C^r$  (o  $C^\infty$ ).

Definición 4.2. Sean  $M^m$  y  $N^n$  variedades y  $f$  una función de  $M^m$  en  $N^n$ . Decimos que  $f$  es de clase  $C^r$  si para cada punto  $p$  en  $M$  y para cualquiera par de cartas coordenadas

$$g: U \rightarrow \mathbb{R}^m \quad \text{entorno a } p \quad \text{y}$$

$$h: V \rightarrow \mathbb{R}^n \quad \text{entorno a } f(p), \text{ con } f(U) \subset V$$

se tiene que

$$h \circ f \circ g^{-1}: g(U) \rightarrow h(V)$$

es de clase  $C^r$ .

Consideremos, ahora, una curva  $\alpha: (-\varepsilon, \varepsilon) \rightarrow M \subset \mathbb{R}^k$ , con  $\alpha(0) = p$ .

Podemos ver que  $\alpha$  es diferenciable según la definición de arriba si y solamente si  $\alpha$  es diferenciable como una curva en  $\mathbb{R}^k$ . Por tanto si  $\alpha$  es una curva diferenciable en  $M$ , podemos considerar el vector tangente  $\alpha'(0)$ . A el conjunto de los vectores tangentes  $\alpha'(0)$  a todas las curvas  $\alpha$  tales que  $\alpha(0) = p$ , lo llamamos el espacio tangente a  $M$  en  $p$  y lo denotamos por  $T_p M$ .

Proposición 4.3.  $T_p M$  es un espacio vectorial de dimensión  $n$ , donde  $n$  es la dimensión de la variedad  $M$ .

Definición 4.4 Sean  $f: M \rightarrow N$  una transformación diferenciable,  $p$  un punto en  $M$  y  $v$  un vector en  $T_p M$ . Consideremos una curva diferenciable  $\alpha: (-\varepsilon, \varepsilon) \rightarrow M$  con  $\alpha'(0) = v$  y  $\alpha(0) = p$  (llamada curva adaptada a  $v$ ). Tenemos que  $f \circ \alpha: (-\varepsilon, \varepsilon) \rightarrow N$  es una curva diferenciable en  $N$ . Defini-

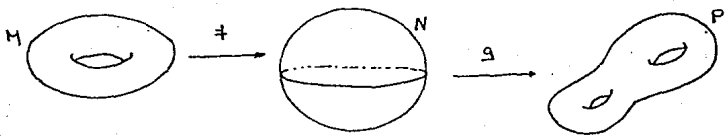
mos una transformación de  $T_p M$  en  $T_{f(p)} N$  como sigue:

$$df_{(p)}(v) = \frac{d}{dt} (f \circ \alpha)_{(0)}$$

La transformación  $df_{(p)}$  es lineal y la llamaremos la diferencial de  $f$  en  $p$ .

Teorema 4.5 (Regla de la cadena). Sean  $f: M \rightarrow N$  y  $g: N \rightarrow P$  transformaciones de clase  $C^r$  entre Variedades diferenciales. Entonces  $g \circ f: M \rightarrow P$  es de clase  $C^r$  y

$$d(g \circ f)_{(p)} = dg_{(f(p))} df_{(p)}$$



Definición 4.6 Una transformación  $f: M \rightarrow N$  es un difeomorfismo de clase  $C^r$  si  $f$  es de clase  $C^r$  y tiene inversa  $f^{-1}$  de la misma clase. En este caso para cada  $p$  en  $M$  la

$$df_{(p)}: T_p M \rightarrow T_{f(p)} N$$

es un isomorfismo y su inversa está dada por:

$$df_{(f^{-1}(p))}^{-1} = [df_{(p)}]^{-1}$$

En particular  $M$  y  $N$  tienen la misma dimensión.

Definición 4.7 Decimos que  $f: M \rightarrow N$  es un difeomorfismo local en  $p \in M$  si existen vecindades  $U$  de  $p$  en  $M$  y  $V$  de  $f(p)$

en  $N$  tales que  $f$  restringida a  $U$  es un difeomorfismo sobre  $V$ .

Definición 4.8 (Subvariedad) Sea  $S$  un subconjunto de  $M$ ,  $M$  variedad diferenciable. Decimos que  $S$  es una subvariedad de clase  $C^r$  de  $M$  de dimensión  $s$  si para cada  $p \in S$ , existen abiertos  $U \subset M$  de  $p$ ,  $V \subset \mathbb{R}^s$  que contiene al  $\bar{0}$ ,  $W \subset \mathbb{R}^{m-s}$  que contiene al  $\bar{0}$  y un difeomorfismo de clase  $C^r$

$$\varphi: U \rightarrow V \times W \quad \text{tal que}$$

$$\varphi(S \cap U) = V \times \{\bar{0}\}.$$

Observemos que  $\mathbb{R}^k$  es una variedad diferenciable y que si  $M \subset \mathbb{R}^k$  es una variedad, entonces  $M$  es una subvariedad de  $\mathbb{R}^k$ , (según nuestra definición).

Consideremos una cubierta numerable  $\{U_n\}$  de la variedad  $M$ . Decimos que esa cubierta es localmente finita si para todo  $p$  en  $M$  existe una vecindad  $V$  de  $p$  que intersecciona a lo mas un número finito de elementos de la cubierta.

Una partición de la unidad subordinada a la cubierta  $\{U_n\}$  es una colección numerable  $\{\varphi_n\}$  de funciones reales no negativas, de clase  $C^\infty$  tales que:

- Para cada índice  $n$ , el soporte de  $\varphi_n$  está contenido en  $U_n$ , donde soporte de  $\varphi_n$  es la cerradura del conjunto de puntos donde  $\varphi_n$  es positiva.
- $\sum_{n=1}^{\infty} \varphi_n(p) = 1$  para todo  $p \in M$ .

Proposición 4.9. Dada una cubierta numerable y localmente finita de  $M$ , existe una partición de la unidad subordinada a esa cubierta.

Corolario 4.10 Sea  $K \subset M$  cerrado, entonces existe una función  $f: M \rightarrow \mathbb{R}$  de clase  $C^\infty$  tal que  $f^{-1}(0) = K$ .

Corolario 4.11 Sean  $M$  una variedad diferenciable y  $f: M \rightarrow \mathbb{R}^s$  una función de clase  $C^r$  ( $M \subset \mathbb{R}^k$ ). Entonces existe una función de clase  $C^r$   $\tilde{f}: \mathbb{R}^k \rightarrow \mathbb{R}^s$  tal que  $\tilde{f}$  restringida a  $M$  es igual a  $f$ .

Corolario 4.12 Sean  $U$  y  $V$  abiertos de la variedad  $M$  tal que  $\bar{U} \subset V$ , entonces existe una función  $\varphi: M \rightarrow \mathbb{R}$ ,  $\varphi \geq 0$  de clase  $C^\infty$  tal que  $\varphi = 1$  en  $U$  y  $\varphi = 0$  en  $M \setminus V$ .

Definición 4.13 (Fibrado tangente) Sea  $M^n$  una variedad diferenciable,  $M^n \subset \mathbb{R}^k$ . El fibrado tangente a  $M$  es el siguiente conjunto:

$$TM = \{ (p, v) \in \mathbb{R}^k \times \mathbb{R}^k \mid p \in M, v \in T_p M \}$$

La topología en  $TM$  es la inducida por la topología en  $\mathbb{R}^k \times \mathbb{R}^k$ . La proyección natural  $\pi: TM \rightarrow M$ ,  $\pi(p, v) = p$  es una transformación continua.

Sabemos además que  $TM$  es una variedad diferenciable y que  $\pi$  es de clase  $C^\infty$ .

Observese que podríamos haber iniciado esta sección definiendo a una variedad  $M$  sin que ella sea un subconjunto de  $\mathbb{R}^k$ .

Sea  $M$  un espacio topológico Hausdorff con base numerable. Una carta local en  $M$  es un par  $(g, U)$  donde  $U \subset M$  es un abierto y  $g$  es un homeomorfismo sobre un abierto  $U_0$  de  $\mathbb{R}^n$ . Decimos que  $U$  es una vecindad parametrizada



en  $M$ . Si  $(\varphi_1, U_1)$  y  $(\varphi_2, U_2)$  son dos cartas locales en  $M$  con  $U_1 \cap U_2 \neq \emptyset$ , el cambio de coordenadas  $\varphi_2 \circ \varphi_1^{-1} : \varphi_1(U_1 \cap U_2) \rightarrow \varphi_2(U_1 \cap U_2)$  es un homeomorfismo.

En resumen: una variedad diferenciable de clase  $C^r$ ,  $r \geq 1$  es un espacio topológico junto con una colección de cartas locales tales que

- las vecindades parametrizadas cubren  $M$
- los cambios de coordenadas son difeomorfismos de clase  $C^r$ .

Esta colección de cartas locales le llamamos un atlas  $C^r$  de  $M$ .

La equivalencia de las dos posibles definiciones de variedad diferenciable es mostrada en el siguiente teorema.

Teorema 4.14 (Whitney) Si  $M$  es una variedad diferenciable de dimensión  $n$ , existe un embejamiento propio  $f: M \rightarrow \mathbb{R}^{2n+1}$ .

Esto es,  $df_p$  es inyectivo para todo  $p$  en  $M$ ,  $f$  es inyectiva, si nos fijamos nada más en  $f(M)$  entonces  $f$  es un homeomorfismo, donde  $f(M)$  tiene la topología inducida. En otras palabras  $f(M)$  es una subvariedad de  $\mathbb{R}^{2n+1}$ .

Definición 4.15 Sea  $M^2 \subset \mathbb{R}^k$  una variedad diferenciable de dimensión dos. Un campo de vectores de clase  $C^1$  en  $M^2$  es una transformación  $\bar{X}$  de clase  $C^1$

$$\bar{X}: M^2 \rightarrow \mathbb{R}^k$$

tal que a cada punto  $p$  en  $M^2$  le asocia un vector  $\bar{X}(p)$  en  $T_p M$ .

Este campo  $\bar{X}$  se corresponde con una transformación  $C^1$

$$\bar{X} : M \rightarrow TM$$

tal que  $\pi \circ \bar{X}$  es la identidad en  $M$ ,  $\pi$  es la proyección de  $TM$  en  $M$ .

Denotamos por  $\mathcal{X}^1(M)$  al conjunto de campos  $C^1$  en  $M$ .

Definición 4.16 Una curva integral de  $\bar{X} \in \mathcal{X}^1(M)$  que pasa por el punto  $p \in M$  es una transformación de clase  $C^2$

$$\alpha : I \rightarrow M \quad (I \text{ intervalo que contiene al } 0)$$

tal que  $\alpha(0) = p$  y  $\alpha'(t) = \bar{X}(\alpha(t))$  para todo  $t \in I$ .

A la imagen de una curva así definida la llamamos trayectoria órbita solución del campo  $\bar{X}$

Si  $f : M \rightarrow N$  es un difeomorfismo entre variedades de clase  $C^2$  y  $\bar{X}$  es un campo de clase  $C^1$  en  $M$ , entonces  $\bar{Y} = f_* \bar{X}$  definido por:

$$\bar{Y}(q) = df_{f^{-1}(q)}(\bar{X}(f^{-1}(q))) \quad q \in N \text{ y } p = f^{-1}(q)$$

es un campo de clase  $C^1$  en  $N$ .

Si  $\alpha : I \rightarrow M$  es una curva integral de  $\bar{X}$ , entonces  $f \circ \alpha : I \rightarrow N$  es una curva integral de  $\bar{Y}$ . En particular  $f$  transforma trayectorias de  $\bar{X}$  en trayectorias de  $\bar{Y}$ .

Si  $g : U \rightarrow U_0$  es una carta local de  $M$ , entonces  $\bar{Y} = g_* \bar{X}$  es un campo de clase  $C^1$  en  $U_0 \subset \mathbb{R}^2$  (suponemos  $M$  de dimensión 2), decimos que  $\bar{Y}$  es la expresión de  $\bar{X}$  en la carta local  $(g, U)$ . Bajo estas consideraciones, los teoremas locales sobre existencia, unicidad y diferenciabilidad de soluciones de ecuaciones diferenciales en  $\mathbb{R}^2$  se extienden a campos en variedades bidimensionales.

teorema 4.17 Sea  $M$  una variedad compacta y  $\bar{X} \in \mathcal{X}'(M)$ .

Entonces existe en  $M$  un flujo global de clase  $C^r$  asociado a  $\bar{X}$ .

Esto es, existe una transformación

$$\varphi: \mathbb{R} \times M \rightarrow M$$

tal que  $\varphi(0, p) = p$  y  $\frac{\partial}{\partial t} (\varphi(t, p)) = \bar{X}(\varphi(t, p))$ .

Corolario 4.18 Sean  $\bar{X} \in \mathcal{X}'(M)$  y  $\varphi: \mathbb{R} \times M \rightarrow M$  el flujo de  $\bar{X}$ . Para cada  $t \in \mathbb{R}$  la transformación

$$\varphi_t: M \rightarrow M$$

dada por  $\varphi_t(p) = \varphi(t, p)$  es un difeomorfismo de clase  $C^r$ .

Ademas:

a)  $\varphi_0$  es la identidad en  $M$

b)  $\varphi_{t+s} = \varphi_t \circ \varphi_s$

Definición 4.19 Sean  $\bar{X} \in \mathcal{X}'(M)$  y  $\varphi_t$  el flujo de  $\bar{X}$ . La órbita de  $\bar{X}$  por  $p$  en  $M$  es el conjunto  $O(p) = \{ \varphi_t(p) \mid t \in \mathbb{R} \}$ .

Si  $\bar{X}(p) = \bar{0}$ , entonces la órbita es el punto  $p$ . En este caso decimos que  $p$  es una singularidad de  $\bar{X}$  (o que  $p$  es un punto crítico).

Si  $\alpha$  es una órbita no inyectiva, y existe  $\tau > 0$  tal que

$$\alpha(0) = \alpha(\tau) = p \quad \text{y} \quad \alpha(t) \neq p \quad \text{para todo } t \text{ en } (0, \tau),$$

entonces  $\alpha$  es difeomorfa al círculo  $S^1$  y decimos que  $\alpha$  es cerrada de periodo  $\tau$ .

Definición 4.20 El  $w$ -conjunto límite de la órbita  $\delta$  que pasa por  $p$ ,  $w(\delta)$ , es  $w(p)$ .

En forma similar definimos el  $\alpha$ -conjunto límite de la órbita  $\delta$ ,  $\alpha(\delta)$ .

Lema 4.21 Sean  $\bar{X} \in \mathcal{X}^1(M)$ ,  $M$  una variedad compacta y  $\gamma$  una órbita de  $\bar{X}$ , entonces:

- $w(\gamma)$  es distinto del conjunto vacío.
- $w(\gamma)$  es cerrado (y por tanto compacto).
- $w(\gamma)$  es invariante bajo el flujo, esto es,  $w(\gamma)$  es una unión de órbitas de  $\bar{X}$ .
- $w(\gamma)$  es conexo.

Consideremos, ahora, en  $M^2 \subset \mathbb{R}^k$  (variedad compacta) el espacio de las funciones definidas en  $M$  de clase  $C^1$ ,  $C^1(M, \mathbb{R}^S)$ . Este espacio tiene estructura de espacio vectorial:

$$(f+g)(p) = f(p) + g(p)$$

$$(\lambda f)(p) = \lambda(f(p))$$

para  $f, g$  en  $C^1(M, \mathbb{R}^S)$  y  $\lambda \in \mathbb{R}$ .

Observamos que el conjunto  $\mathcal{X}^1(M^2)$  forma un subespacio vectorial de  $C^1(M^2, \mathbb{R}^k)$ : si  $\bar{X}, \bar{Y} \in \mathcal{X}^1(M^2)$ , entonces

$$(\bar{X} + \bar{Y})(p) = \bar{X}(p) + \bar{Y}(p)$$

$$(\lambda \bar{X})(p) = \lambda \bar{X}(p) \quad \text{para todo } p \text{ en } M^2.$$

Además podemos definir una norma en  $\mathcal{X}^1(M)$  de la siguiente forma:

Sea  $\{U_1, \dots, U_n\}$  una cubierta abierta de  $M$  (compacta) tal que cada  $U_i$  esté contenido en el dominio de una carta local  $(g_i, V_i)$  con  $g_i(V_i) = B_2(0)$  y  $g_i(U_i) = B_1(0)$ , donde  $B_f(0)$  es una bola abierta con centro en 0 y radio  $f$  (en  $\mathbb{R}^2$ ). Dado  $\bar{X} \in \mathcal{X}^1(M^2)$ , denotamos por  $\bar{X}^i = \bar{X} \circ g_i^{-1} : B_2(0) \rightarrow \mathbb{R}^k$

y denotamos las componentes de  $\bar{X}^i$ ,  $\bar{X}^i = (X_1^i, X_2^i)$ , definimos

$$\|\bar{X}\| = \max_i \left\{ \max_{(x,y) \in B_{\epsilon}(0)} \left\{ \|X_1^i\|, \|X_2^i\|, \left\| \frac{\partial X_1^i}{\partial x} \right\|, \left\| \frac{\partial X_1^i}{\partial y} \right\|, \left\| \frac{\partial X_2^i}{\partial x} \right\|, \left\| \frac{\partial X_2^i}{\partial y} \right\| \right\} \right\}$$

Con esta norma definimos una distancia en  $\mathcal{X}'(M^2)$  y con ella una topología llamada topología  $C^1$ .

Definición 4.22 Sean  $\bar{X}$  y  $\bar{Y}$  en  $\mathcal{X}'(M)$ , decimos que  $\bar{X}$  y  $\bar{Y}$  son topológicamente equivalentes ( $\bar{X} \sim \bar{Y}$ ) si existe un homeomorfismo  $h: M \rightarrow M$  que transforma órbitas de  $\bar{X}$  en órbitas de  $\bar{Y}$  preservando su orientación.

Es decir, si  $p \in M$  y  $\delta > 0$ , existe  $\epsilon > 0$  tal que si  $0 < t < \delta$ ,

$$h(\varphi_t(p)) = \psi_{t'}(h(p))$$

para alguna  $t'$  en  $(0, \epsilon)$ , donde  $\varphi_t$  y  $\psi_{t'}$  son los flujos correspondientes a  $\bar{X}$  y  $\bar{Y}$  respectivamente. Si  $t = t'$ , entonces decimos que  $\bar{X}$  y  $\bar{Y}$  son topológicamente conjugados.

Definición 4.23 Sean  $S \subset N$  una subvariedad de clase  $C^r$  y

$f: M \rightarrow N$  una transformación  $C^K$ , donde  $K, r$  son mayores o iguales a uno. Decimos que  $f$  es transversal a  $S$  en un punto  $p$ , en  $M$ , si  $f(p) \notin S$  ó

$$df_p(T_p M) + T_{f(p)} S = T_{f(p)} N.$$

Esto es, si la imagen de  $T_p M$  bajo la diferencial  $df_p$  contiene un subespacio complementario a  $T_{f(p)} S$  en  $T_{f(p)} N$ . Decimos que  $f$  es transversal a  $S$  ( $f \pitchfork S$ ) si lo es en cada punto  $p$  de  $M$ .

Definición 4.24 Sean  $S_1, S_2$  subvariedades de  $N$ . Decimos que  $S_1$  es transversal a  $S_2$  si la inclusión  $i: S_1 \rightarrow N$  es transversal a  $S_2$ .

Teorema 4.25 (Thom) Sean  $M$  variedad compacta,  $S \subset N$  una subvariedad cerrada, entonces el conjunto de las transformaciones  $f \in C^k(M, N)$  transversales a  $S$  es abierto y denso en  $C^k(M, N)$ .

Teorema 4.26 El conjunto de los difeomorfismos de clase  $C^1$  en  $M$ ,  $\text{Dif}^1(M)$  forman un conjunto abierto en  $C^1(M, M)$ .

Definición 4.27 Decimos que  $p$  en  $M$  es una singularidad simple de un campo  $\bar{X} \in \mathcal{X}^1(M)$  si

$$d\bar{X}_{(p)} : T_p M \rightarrow T_p M$$

es una transformación lineal que no posee al cero como uno de sus valores propios.

Definición 4.28 Sea  $\bar{X} \in \mathcal{X}^1(M^2)$ , decimos que  $p$  es un punto regular de  $\bar{X}$  si  $\bar{X}(p) \neq 0$ .

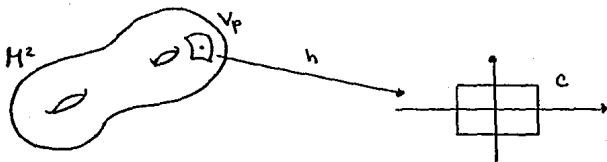
Teorema 4.29 (Flujo tubular). Sean  $\bar{X} \in \mathcal{X}^1(M^2)$  y  $p \in M$  un punto regular de  $\bar{X}$ . Sean  $C = \{(x, y) \in \mathbb{R}^2 \mid |x| < 1, |y| < 1\}$  y  $\bar{X}_C$  un campo en  $C$  definido por

$$\bar{X}_C(x, y) = (1, 0).$$

Entonces existe un difeomorfismo de clase  $C^1$

$$h: V_p \rightarrow C \quad (V_p \text{ vecindad de } p \text{ en } M)$$

que transforma trayectorias de  $\bar{X}$  en trayectorias de  $\bar{X}_C$



Llamaremos a  $V_p$  una caja de flujo.

Observamos que este teorema nos dice que en una vecindad de un punto regular, las imágenes de las trayectorias solución bajo  $h$ , en  $\mathbb{R}^2$ , son segmentos de líneas rectas horizontales. De hecho estas curvas en  $\mathbb{R}^2$  son también solución del campo

$$dh(\bar{X})_{(x,y)} = dh_{h^{-1}(x,y)}(\bar{X}(h^{-1}(x,y)))$$

que podríamos considerar como una representación de  $\bar{X}$  en  $C$  bajo la función  $h$ .

Si hacemos, ahora, una pequeña perturbación del campo  $dh(\bar{X})$  en el interior de  $C$ , digamos  $dh(\bar{X}) + \bar{Y}$ , donde  $\bar{Y}(x,y) \neq \bar{0}$  en interior de  $C$  y  $\bar{Y}(x,y) = \bar{0}$  para todo punto  $(x,y)$  en el complemento del interior de  $C$ , podemos regresar este campo a la variedad mediante  $dh^{-1}$  y tener un nuevo campo en  $M$  definido así:

$$\bar{W}(p) = \begin{cases} \bar{X}(p) & \text{si } p \notin \text{interior de } V_p \\ dh^{-1}(dh(\bar{X}) + \bar{Y}) & \text{si } p \in \text{interior de } V_p \end{cases}$$

Esta es, en pocas palabras, una de las herramientas principales que vamos a utilizar, sin embargo nos gustaría que  $\bar{W} \in \mathcal{X}^1(M^2)$  pero como el teorema sólo nos garantiza que  $h \in C^1$ , tenemos que  $dh^{-1} \in C^0$  por lo que no podemos asegurar que nuestro campo  $\bar{W}$  sea de clase  $C^1$ .

Para superar esta situación, consideremos el siguiente camino: dado  $\bar{X} \in \mathcal{X}^1(M^2)$ ,  $M^2$  compacta,  $p \in M^2$  y  $\bar{X}(p) \neq \bar{0}$  consideremos una carta

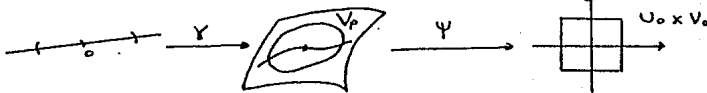
coordenada  $(g, U)$  donde  $U$  es vecindad de  $p$  y  $g(p) = \bar{0}$ . Sea  $dg\bar{X} = \bar{X}^*$  la representación del campo en esta carta, de hecho, tenemos

$$\bar{X}^*(x, y) = dg_{(g^{-1}(x, y))} (\bar{X}(g^{-1}(x, y)))$$

Sea  $\gamma(t)$  solución de  $\bar{X}$  tal que  $\gamma(0) = p$ , como  $\frac{d\gamma(t)}{dt} = \bar{X}(\gamma(t))$  tenemos que  $\gamma(t) \in C^2$ ,  $t \in (-\epsilon, \epsilon)$ . Como  $\bar{X}(p) \neq 0$  tenemos que  $\frac{d\gamma}{dt}|_{t=0}$  es no singular (inyectiva), entonces  $[ \quad ]$  existen vecindades  $U_0$  y  $V_p$  en  $\mathbb{R}$  y  $M$  respectivamente,  $V_0$  en  $\mathbb{R}$  y un difeomorfismo de clase  $C^\infty$

$$\Psi: V_p \rightarrow U_0 \times V_0$$

tal que  $\Psi(\gamma(x)) = (x, 0)$



Esto es, existe una vecindad  $V_p$  de  $p$  y un difeomorfismo

$$\Psi: V_p \rightarrow \Psi(V_p) \quad \text{de clase } C^\infty$$

tal que la imagen de la intersección de la curva solución de  $\bar{X}$  por  $p$  y  $V_p$  es un subintervalo del eje  $x$ , que contiene al cero, de hecho  $\Psi(p) = 0$ . Ahora con  $d\Psi$  tenemos una representación del campo  $\bar{X}$  en  $\Psi(V_p)$

$$\bar{X}^*(x, y) = d\Psi_{(\Psi^{-1}(x, y))} (\bar{X}(\Psi^{-1}(x, y)))$$

donde  $\bar{X}^*(0, 0) = (L, 0)$  con  $L > 0$

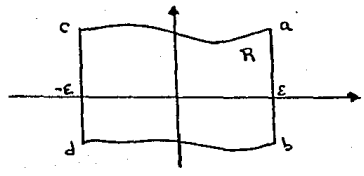
Consideremos un rectángulo  $\mathcal{R}$  con las siguientes propiedades:

- i)  $\mathcal{R}$  está totalmente contenido en  $\Psi(V_p)$ .
- ii) Si  $\bar{X}^* = (\bar{X}_1^*, \bar{X}_2^*)$ , entonces para todo  $(x, y)$  en  $\mathcal{R}$  se tiene  $\bar{X}_1^*(x, y) > 0$ .



iii) Los lados  $\bar{ca}$  y  $\bar{db}$  son arcos de trayectoria de  $\bar{X}^*$

iv) los segmentos  $\bar{cd}$  y  $\bar{ab}$  son verticales y cruzan el eje  $x$  en  $-\epsilon$  y  $\epsilon$  respectivamente. Con  $\epsilon$  suficientemente pequeño estos segmentos son transversales al campo



Llamaremos a  $\Psi^{-1}(R) \subset M^2$  una caja de flujo. Consideremos, ahora, una pequeña perturbación de  $\bar{X}^*$  en el interior de  $R$ , digamos  $\bar{X}^* + \bar{Y}$ . Regresando este campo a la variedad  $M^2$  tenemos:

$$\bar{W}(p) = \begin{cases} \bar{X}(p) & \text{si } p \notin \text{interior de } \Psi^{-1}(R) \\ [\downarrow \Psi^{-1}(\bar{X}^* + \bar{Y})](p) & \text{si } p \in \text{interior de } \Psi^{-1}(R) \end{cases}$$

Ahora sí podemos asegurar que  $\bar{W} \in \mathcal{X}'(M^2)$ . Llamaremos a  $\Psi^{-1}(R) \cap \text{eje } y$  una sección transversal a  $\bar{X}$  en  $p$ .

Mostraremos aquí que si  $\bar{X} \in X'(M^2)$  es estructuralmente estable, entonces solamente hay una cantidad finita de singularidades, todas hiperbólicas.

teorema 4.30 Sean  $\bar{X} \in X'(M)$  y  $p \in M$  una singularidad simple de  $\bar{X}$ . Entonces existen vecindades  $N(\bar{X}) \subset X'(M)$ ,  $U_p \subset M$ , de  $\bar{X}$  y  $p$  respectivamente, y una función continua

$$\rho: N(\bar{X}) \rightarrow U_p$$

tal que a cada campo  $\bar{Y} \in N(\bar{X})$  le asocia una única singularidad de  $\bar{Y}$  en  $U_p$ . En particular una singularidad simple es aislada.

Demostración Como es una afirmación local podemos suponer que el campo  $\bar{X}$  está definido en  $D^2$ ,  $D^2 = \{ \bar{x} \in \mathbb{R}^2 \mid \|\bar{x}\| \leq 1 \}$ . Sabemos que  $X'(D^2)$  es un espacio de Banach y que

$$\varphi: D^2 \times X'(D^2) \longrightarrow \mathbb{R}^2$$

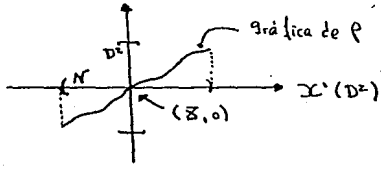
de finida por  $\varphi(\bar{x}, \bar{Y}) = \bar{Y}(\bar{x})$  es de clase  $C^1$ . Como  $\bar{X}(0) = 0$  tenemos que  $\varphi(0, \bar{X}) = 0$ , además

$$\frac{\partial \varphi(\bar{x}, \bar{Y})}{\partial \bar{x}} \Big|_{(0, \bar{X})} = D\bar{X}(0) \quad \text{donde } D\bar{X}(0): \mathbb{R}^2 \rightarrow \mathbb{R}^2$$

es un isomorfismo (ya que 0 es una singularidad simple). Por el teorema de la función implícita para espacios de Banach, concluimos que existen vecindades  $U$  del 0 y  $N$  de  $\bar{X}$ , y una función

$$\rho: N \rightarrow U \quad \text{de clase } C^1$$

tal que  $\varphi(\rho(\bar{Y}), \bar{Y}) = 0$  para todo  $\bar{Y}$  en  $N$



La función  $p$  asigna a cada  $\bar{Y}$  en  $N$  un único punto  $p(\bar{Y})$  en  $U$  tal que  $\bar{Y}(p(\bar{Y})) = 0$ . Como  $D\bar{X}|_{(x,0)}$  es un isomorfismo de  $\mathbb{R}^2$  en  $\mathbb{R}^2$ , y como el conjunto de estos isomorfismos es abierto, concluimos que  $D\bar{Y}|_{(p(x))}$  es un isomorfismo (tomando más pequeñas  $U$  y  $N$  si es necesario). Por lo tanto  $p(\bar{Y})$  es una singularidad simple de  $\bar{Y}$ . ■

Este teorema también nos permite concluir lo siguiente: Si  $\bar{X} \in \mathcal{X}'(M^2)$ ,  $M^2$  compacta, y  $\bar{X}$  solamente tiene singularidades simples, entonces la cantidad de ellas es finita ya que todas son singularidades aisladas.

Consideramos, ahora, el fibrado tangente  $TM$ . Sea  $M_0 = \{(p, 0) \mid p \in M\}$  la sección nula. Sabemos que  $M_0$  es una subvariedad de  $TM$  difeomorfa a  $M$ .

Un campo de vectores  $\bar{X} \in \mathcal{X}'(M)$  puede ser visto como una transformación de clase  $C^1$  de  $M$  en  $TM$ , que denotaremos con la misma letra  $\bar{X}$ . Por tanto  $p$  es una singularidad de  $\bar{X}$  si y solamente si  $\bar{X}(p) \in M_0$ .

Lema 4.31 Sea  $\bar{X} \in \mathcal{X}'(M^2)$  y  $p_0 \in M^2$  una singularidad de  $\bar{X}$ . Entonces  $p_0$  es una singularidad simple de  $\bar{X}$  si y solamente si la transformación  $p \rightarrow (p, \bar{X}(p))$  de  $M$  en  $TM$  es transversal a la sección nula  $M_0$  en  $p_0$ .

Demostración. Sea  $g: U \rightarrow \mathbb{R}^2$  una carta local de  $M$ , con  $g(p_0) = 0$ .

Sea  $TU = \{ (p, v) \in TM \mid p \in U, v \in T_p M \}$ . La función  $t_g: TU \rightarrow \mathbb{R}^2 \times \mathbb{R}^2$  definida por  $t_g(p, v) = (g(p), Dg_{(p)}(v))$  es una carta local de  $TM$ .

Consideremos el siguiente diagrama:

$$\begin{array}{ccccc} U & \xrightarrow{\bar{X}} & TU & & \\ g \downarrow & & \downarrow t_g & & \\ \mathbb{R}^2 & \xrightarrow{\bar{X}^*} & \mathbb{R}^2 \times \mathbb{R}^2 & \xrightarrow{\pi} & \mathbb{R}^2 \end{array}$$

donde  $\pi(x, \bar{y}) = \bar{y}$  y  $\bar{X}^*$  es la expresión del campo en las cartas locales. De hecho lo que tenemos es  $p \xrightarrow{\bar{X}^*} (p, \bar{X}^*(p))$

Si  $\bar{X}$  es transversal en  $p_0$ , entonces  $d\bar{X}_{p_0}(T_{p_0}M)$  es complementario a  $T_{p_0}M_0$  en  $TM$ . Para  $\bar{X}^*$  se tiene que  $\mathbb{R}^2 \xrightarrow{D\bar{X}_{p_0}^*} \mathbb{R}^2 \times \mathbb{R}^2$  donde  $d\bar{X}_{p_0}^*$

tiene la expresión matricial

$$D\bar{X}_{p_0}^* = \begin{bmatrix} I \\ D\bar{X}_{p_0}^* \end{bmatrix}$$

y como  $\bar{X}$  es transversal, tenemos que la imagen de  $\mathbb{R}^2$  bajo  $D\bar{X}_{p_0}^*$  es de dimensión dos, puesto que  $I(\mathbb{R}^2)$  y  $D\bar{X}_{p_0}^*(\mathbb{R}^2)$  generan todo  $\mathbb{R}^2 \times \mathbb{R}^2$ . Concluimos que  $D\bar{X}_{p_0}^*$  es un isomorfismo.

Ahora si  $D\bar{X}_{p_0}^*$  es un isomorfismo, entonces  $\tilde{I}(\mathbb{R}^2)$  dada por

$$\tilde{I}(\bar{y}) = \begin{bmatrix} x \\ \bar{y} \\ 0 \\ 0 \end{bmatrix}$$

y  $D\bar{X}_{p_0}^*(\mathbb{R}^2)$  generan  $\mathbb{R}^2 \times \mathbb{R}^2$ , entonces  $\bar{X}$  es transversal a  $M_0$ .

Definición 4.32 Sea  $\mathcal{G}_0$  el conjunto de los campos  $\bar{X} \in \mathcal{X}(M_0)$  cuyas singularidades son todas simples.

Lema 4.33 El conjunto  $\mathcal{G}_0$  es abierto y denso en  $\mathcal{X}'(M^2)$ .

Demostración Observemos primero que si  $\bar{X}$  tiene todas sus singularidades simples, entonces  $\bar{X}: M \rightarrow TM$  es transversal a  $M_0$ . Como el conjunto  $A$  de las transformaciones  $C'$  de  $M$  en  $TM$  transversales a  $M_0$  es abierto, entonces  $\mathcal{G}_0$  es abierto ya que  $\mathcal{G}_0 = A \cap \mathcal{X}'(M^2)$ .

Demostremos ahora la densidad de  $\mathcal{G}_0$ ; sea  $\bar{X} \in \mathcal{X}'(M^2)$  un campo cualquiera, por el teorema 4.25 existen transformaciones  $\bar{Y}: M \rightarrow TM$  transversales a  $M_0$  tan cerca de  $\bar{X}$  como deseemos. Sin embargo puede ocurrir que  $\bar{Y}$  no sea un campo de vectores. Esto es, si denotamos por  $\pi: TM \rightarrow M$  la proyección  $\pi(q, v) = p$ , podría ocurrir que  $\pi(\bar{Y}(p)) \neq p$  para algún  $p$  en  $M$ .

Sabemos que  $\pi \circ \bar{X} = \text{id}$  en  $M$ , si  $\bar{Y}$  está suficientemente próximo de  $\bar{X}$ , entonces  $\varphi = \pi \circ \bar{Y}$  está próximo a la identidad en  $M$ , y por el teorema 4.26,  $\varphi$  es un difeomorfismo.

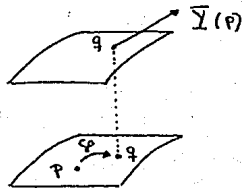
Sea  $\bar{Z} = \bar{Y} \circ \varphi^{-1}$ , esto es,

$$\bar{Z}(q) = \bar{Y} \circ \varphi^{-1}(q) = (q, \bar{Y}(p)).$$

Obtenemos que  $\pi \circ \bar{Z} = \pi \circ \bar{Y} \circ \varphi^{-1} = \varphi \circ \pi^{-1} = \text{Id}$ .

Por tanto  $\bar{Z}$  sí es un campo de vectores en  $M$ .

Como  $\bar{Y}$  es transversal a  $M_0$  y  $\varphi^{-1}$  es un difeomorfismo próximo a la  $\text{Id}$ , se tiene que  $\bar{Z}$  es transversal a  $M_0$ . Además como tomamos  $\bar{Y}$  cercano a  $\bar{X}$ , tenemos que  $\bar{Z}$  está cercano a  $\bar{X}$ . ■



Definición 4.34 Sea  $\bar{X} \in \mathcal{X}^1(M^2)$ , decimos que  $\bar{X}$  es estructuralmente estable si existe una vecindad  $N$  de  $\bar{X}$ , en  $\mathcal{X}^1(M^2)$ , tal que para todo  $\bar{Y}$  en  $N$  se tiene que  $\bar{X}$  y  $\bar{Y}$  son topológicamente equivalentes.

Corolario 4.35 Si  $\bar{X} \in \mathcal{X}^1(M^2)$  es estructuralmente estable, entonces  $\bar{X}$  tiene una cantidad finita de singularidades.

Demostración Sea  $\bar{X} \in \mathcal{X}^1(M^2)$  estructuralmente estable, sea  $N$  la vecindad mencionada en la definición 4.34. Como  $\mathcal{I}_0$  es denso, se tiene que existe  $\bar{Y} \in \mathcal{I}_0$  tal que  $\bar{Y} \in N$ . Sabemos que  $\bar{Y}$  solo tiene una cantidad finita de singularidades; como  $\bar{X}$  y  $\bar{Y}$  son topológicamente equivalentes y el homeomorfismo de esta equivalencia transforma singularidades de  $\bar{X}$  en singularidades de  $\bar{Y}$  en forma biunívoca, concluimos que  $\bar{X}$  tiene solo una cantidad finita de ellas. ■

Definición 4.36 Sea  $\bar{X} \in \mathcal{X}^1(M^2)$  y  $p$  en  $M$  una singularidad de  $\bar{X}$ . Decimos que  $p$  es una singularidad hiperbólica si

$$D\bar{X}|_{T_p M} : T_p M \rightarrow T_p M$$

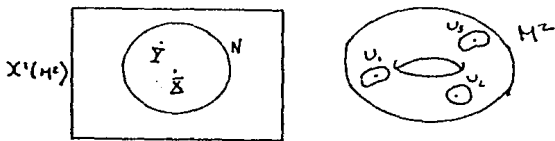
es un campo lineal hiperbólico.

Definición 4.37 Llamaremos  $\mathcal{I}_1$  a el subconjunto de  $\mathcal{X}^1(M^2)$  tal que si  $\bar{X} \in \mathcal{I}_1$ , entonces las singularidades de  $\bar{X}$  son todas hiperbólicas.

Lema 4.38  $\mathcal{I}_1$  es denso en  $\mathcal{X}^1(M^2)$ .

Demostración. Mostraremos que  $\mathcal{I}_1$  es denso en  $\mathcal{I}_0$ , y como  $\mathcal{I}_0$  es denso en  $\mathcal{X}^1(M^2)$  se sigue que  $\mathcal{I}_1$  es denso en  $\mathcal{X}^1(M^2)$ .

Sea  $\bar{X}$  en  $\mathcal{G}_0$ , sean  $P_1, P_2, \dots, P_k \in M$  sus singularidades. Por el teorema 4.30 existen vecindades  $N, U_1, \dots, U_k$  de  $\bar{X}, P_1, \dots, P_k$  respectivamente, y funciones continuas  $f_j: N \rightarrow U_j$   $j=1, 2, \dots, k$  tales que para todo campo  $\bar{Y}$  en  $N$ ,  $f_j(\bar{Y})$  es la única singularidad de  $\bar{Y}$  en  $U_j$ .



Podemos suponer que las vecindades  $U_j$  son disjuntas. Si  $p$  en  $M$  es tal que  $p \in M - \bigcup_{j=1}^k U_j$ , entonces  $\bar{X}(p) \neq 0$  y por la compacidad de  $M - \bigcup_{j=1}^k U_j$  existe  $\delta$  mayor que cero tal que  $\|\bar{X}(p)\| \geq \delta$  para todo  $p$  en  $M - \bigcup_{j=1}^k U_j$ , por lo tanto, haciendo mas pequeña  $N$  si es necesario, se tiene que si  $\bar{Y} \in N$ , entonces  $\bar{Y}$  solo tiene singularidades en  $\bigcup_{j=1}^k U_j$ .

Mostraremos que existe un  $\bar{Y} \in \mathcal{G}_1$  arbitrariamente cercano a  $\bar{X}$ .

Observemos que si  $\mu > 0$  es suficientemente pequeño, entonces

$$D\bar{X}_{(p)} + \mu I$$

es un campo lineal hiperbólico de  $T_p M$  en  $T_p M$  para todo  $j=1, \dots, k$ . Basta, por tanto, que dada una vecindad  $N_i \subset N$  de  $\bar{X}$ , exista  $\bar{Y} \in N_i$  tal que  $\bar{Y}_{(p)} = 0$

$$y \quad D\bar{Y}_{(p)} = D\bar{X}_{(p)} + \mu I.$$

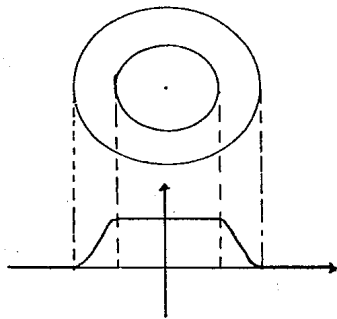
Sea  $V_j \subset U_j$  una vecindad de  $P_j$ , sea  $g_j: V_j \rightarrow B_3(0) \subset \mathbb{R}^2$  una carta local con  $g_j(P_j) = (0,0)$ . Sea  $\varphi: \mathbb{R}^2 \rightarrow \mathbb{R}$  una función de clase  $C^\infty$  tal que  $\varphi(B_1(0)) = 1$  y  $\varphi(\mathbb{R}^2 - B_3(0)) = 0$ , donde  $B_1(0)$  y  $B_3(0)$  denotan, respectivamente, la bolas de radio 1 y 3 en  $\mathbb{R}^2$  con centro en 0.

Denotamos por  $g_{j*} \bar{X}$  la expresión del campo  $\bar{X}$  en la carta local  $g_j$ .

$$g_{j*} \bar{X}(q) = Dg_j|_{(g_j^{-1}(q))} \bar{X}(g_j^{-1}(q)).$$

Definimos un nuevo campo  $\bar{Y}$  en  $X(M^2)$  de la siguiente forma

$$\bar{Y}(p) = \begin{cases} \bar{X}(p) & \text{si } p \in M - \bigcup_{j=1}^k V_j \\ (Dg_j)|_{(g_j^{-1}(p))} [g_{j*} \bar{X}(g_j^{-1}(p)) + \mu \varphi(g_j^{-1}(p)) I(g_j^{-1}(p))] & \text{si } p \in V_j, I = \begin{bmatrix} 0 & 0 \\ 0 & 0 \end{bmatrix} \end{cases}$$



Observamos que  $\bar{Y}(p_j) = (Dg_j)|_{g_j^{-1}(p_j)} [g_{j*} \bar{X}(g_j^{-1}(p_j)) + \mu I(g_j^{-1}(p_j))] = \bar{0}$  para  $j=1, \dots, k$ . Esto es,  $\bar{Y}$  y  $\bar{X}$  tienen el mismo conjunto de singularidades.

Si  $p \in V_j$  podemos escribir

$$\begin{aligned} \bar{Y}(p) &= (Dg_j)|_{g_j^{-1}(p)} [g_{j*} \bar{X}(g_j^{-1}(p)) + (Dg_j)|_{g_j^{-1}(p)}^{-1} \mu \varphi(g_j^{-1}(p)) I(g_j^{-1}(p))] \\ &= \bar{X}(p) + \mu (Dg_j)|_{g_j^{-1}(p)}^{-1} I(g_j^{-1}(p)) \end{aligned}$$

por lo tanto  $\bar{Y}(p) = \bar{X}(p) + \mu g_{j*}^{-1} I(p)$

entonces  $D\bar{Y}|_{p_j} = D\bar{X}|_{p_j} + \mu I$ .

Si tomamos  $\mu$  suficientemente pequeño, tenemos que  $\bar{Y} \in N_1$  y  $\bar{Y}$  solo tiene singularidades hiperbólicas ■

Corolario 4.39 Si  $\bar{X} \in X^1(M^2)$  es estructuralmente estable, entonces

cualquier  $\bar{X}$  es elemento de  $\mathcal{G}_1$ .

Demostración Sea  $p_n \in M$ , sea  $\bar{X}$  estructuralmente estable tal que  $p_n$  es singularidad de  $\bar{X}$ , supongamos que  $D\bar{X}|_{p_n}$  no es hiperbólico. Entonces, con la misma construcción del Lema 4.38, encontramos  $\bar{Y} \in X^1(M^2)$  tal que



$\bar{Y}(p) = \bar{X}(p)$  para todo  $p \in M - V_K$ , donde  $V_K$  es una vecindad de  $P_K$  que no contiene otro punto singular de  $\bar{X}$  y tal que

$$g_K : V_K \rightarrow B_3(0) \quad \eta$$

$$\bar{Y}(p) = (Dg_K)_{g_K(p)}^{-1} [g_K \bar{X}(g_K(p)) + \mu \varphi_K(g_K(p)) I(g_K(p))]$$

Por lo tanto  $\bar{Y}(P_K) = \bar{\sigma}$  y  $D\bar{Y}_{P_K} = D\bar{X}_{P_K} + \mu I$ .

Si  $\mu > 0$  obtenemos una fuente o punto silla para  $\bar{Y}$  en  $P_K$ , si  $\mu < 0$ , obtenemos un sumidero o un punto silla en  $P_K$ . Como  $\bar{Y}$  y  $\bar{X}$  coinciden en los otros puntos singulares y  $\bar{X}$  y  $\bar{Y}$  son topologicamente equivalentes (para  $\mu$  suficientemente pequeña) tenemos que una fuente es topologicamente equivalente a una silla o que un sumidero es equivalente a una silla, lo que es una contradicción. Por tanto toda singularidad de  $\bar{X}$  es hiperbólica.

### Sección 3. Conjuntos límite

Nuestro objetivo en esta parte es mostrar que si  $\bar{X} \in \mathcal{C}^1(M^2)$  es estructuralmente estable, entonces el  $w$  y  $\alpha$ -conjunto límite de toda trayectoria sólo puede ser una singularidad o una órbita cerrada.

Definición 4.40 Decimos que una trayectoria  $\gamma$ , no singular, del campo  $\bar{X}$  es recurrente si:

$$\gamma \subset \alpha(\gamma) \quad \text{o} \quad \gamma \subset w(\gamma).$$

Definición 4.41 Decimos que  $\gamma$  es recurrente no trivial si  $\gamma$  no es una órbita cerrada.

Definición 4.42 Un conjunto  $M$  (en  $M$ ) es minimal si es compacto e invariante bajo el flujo de  $\bar{X}$  y ningún subconjunto propio de él tiene estas propiedades.

Lema 4.43 Si  $M$  es minimal,  $p \in M$  y  $\gamma$  la trayectoria que pasa por  $p$ , entonces  $\alpha(\gamma) = w(\gamma) = M$ .

Demostración Ya que  $w(\gamma)$  es cerrado, por tanto compacto en  $M$ , e invariante bajo el flujo, tenemos que  $M \subset w(\gamma)$ . Además, como  $M$  es invariante, tenemos  $w(\gamma) \subset M$ . Por tanto  $M = w(\gamma)$ . La otra igualdad se demuestra en forma análoga. ■

Definición 4.44 A un conjunto minimal  $M$  que no es una órbita singular o cerrada lo llamamos minimal no trivial.

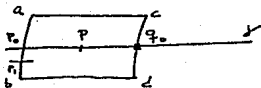
Lema 4.45. Si existe un conjunto  $u$  minimal no trivial, entonces para todo  $p$  en  $u$  la órbita por  $p$ ,  $\gamma(p)$ , es recurrente no trivial.

Demostración Sea  $p \in u$ , consideremos  $\gamma$  la trayectoria que pasa por  $p$ . Como  $u$  es invariante tenemos que  $\gamma \subset u$ . La órbita  $\gamma$  no es cerrada ya que  $u$  es minimal no trivial. Por Lema 4.43 tenemos que  $w(\gamma) = u$ . Por lo tanto  $\gamma \subset w(\gamma)$ ,  $\gamma$  es recurrente no trivial. ■

En los siguientes lemas mostraremos que la existencia de órbitas recurrentes no triviales, para un campo  $\bar{X}$ , es una condición inestable. Esto es, podemos encontrar un campo  $\bar{Y}$  tan cercano como queramos al campo  $\bar{X}$ , tal que  $\bar{Y}$  no tiene órbitas con recurrencia no trivial. Al final concluimos que si  $\bar{X}$  es estructuralmente estable entonces todas las órbitas de  $\bar{X}$  tienen recurrencia trivial.

Lema 4.46 Sean  $\bar{X} \in \mathcal{X}(M^2)$  y  $\gamma$  una órbita recurrente no trivial. Entonces por cualquier punto  $p$  en  $\gamma$  existe un círculo (o sea, una curva simple cerrada) transversal a  $\bar{X}$ .

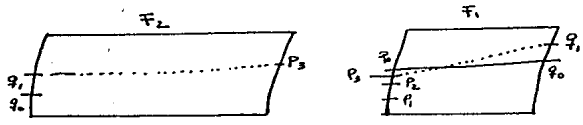
Demostración Consideremos una caja de flujo que contiene a  $p$ . Los segmentos  $\bar{a}\bar{b}$  y  $\bar{c}\bar{d}$  son transversales a  $\bar{X}$ . Como  $p \in w(\gamma)$ ,  $\gamma$  interseca  $\bar{a}\bar{b}$  una cantidad infinita de veces



Sea  $P_1$  la primera vez que  $\gamma$  interseca  $\bar{a}\bar{b}$ , supongamos que  $P_1$  está abajo de  $P_0$  (reordemos que  $M^2$  es orientable).

Tomemos otra caja de flujo que contenga al arco  $\bar{q}_0 P_1$ . En esta caja to-

manos un arco de trayectoria de  $\bar{X}$  que sale de un punto  $q_1$  de  $cd$  (arriba de  $q_0$ ) e interseca  $\bar{ab}$  en  $P_2$  (arriba de  $P_1$ )



En  $F_2$  podemos tomar un arco  $\bar{q_1 P_2}$  con  $P_2$  entre  $P_2$  y  $P_1$ , tal que el arco  $\bar{q_1 P_2}$  sea transversal al campo  $\bar{X}$ . Completamos el círculo uniendo en  $F_1$  los puntos  $P_2$  y  $q_1$  con un arco transversal a  $\bar{X}$ . Tal arco debe tener en  $P_2$  y  $q_1$  la misma dirección tangente que el arco anterior. Llamemos  $C$  al círculo construido. Si  $P \notin C$ , entonces mediante el flujo de  $\bar{X}$  trasladamos  $C$  hasta que  $p \in C$ . ■

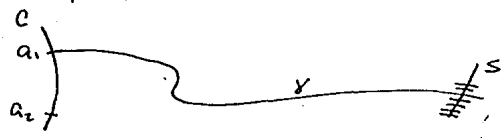
Observemos que si  $C$  es un círculo transversal a  $\bar{X}$  y nos fijamos en  $\Gamma \subset C$ , el conjunto de puntos cuyas trayectorias vuelven a intersectar  $C$ , podemos definir la transformación de Poincaré

$$P: \Gamma \rightarrow C$$

que a cada punto  $x \in \Gamma$  le asocia la primera vez que la trayectoria positiva por  $x$ ,  $Y^+(x)$ , vuelve a intersectar  $C$ . Por el teorema del flujo tubular  $\Gamma$  es un conjunto abierto en  $C$ . Por tanto  $\Gamma = C$  o  $\Gamma$  es la unión o lo más numerable de intervalos abiertos en  $C$ .

Lema 4.47 Supongamos que  $\Gamma \neq C$  y sea  $(a_1, a_2)$  un intervalo maximal en  $C$  ( $(a_1, a_2)$  es uno de los intervalos que forman  $\Gamma$ ). Entonces  $w(a_1)$  es un punto silla (lo mismo para  $w(a_2)$ ).

Demostración Mostraremos primero que  $w(a_1)$  no contiene puntos regulares. Supongamos que  $x \in w(a_1)$  es tal que  $\bar{X}(x) \neq 0$ . Sea  $S$  una sección transversal a  $\bar{X}$  en  $x$ . Como  $x \in w(a_1)$  y  $\gamma$  no es cerrada, entonces  $\gamma(x)$  interseca  $S$  una cantidad infinita de veces.



Por otro lado, si tomamos  $q \in (a_1, a_2)$  el número  $N$  de veces que el arco  $qP(q)$  interseca  $S$  es finito, ya que  $S$  es transversal a  $\bar{X}$  y  $qP(q)$  es compacto. Por continuidad con respecto a condiciones iniciales el número  $N$  es constante en una vecindad de  $q$ , y como  $(a_1, a_2)$  es conexo, entonces el número  $N$  es el mismo para todo  $r \in (a_1, a_2) \dots (*)$

Ahora, recordemos que  $\gamma(a_1)$  interseca  $S$  una cantidad infinita de veces y por continuidad de soluciones con respecto a la condición inicial, se tiene que dado  $n > N$  existe  $q \in (a_1, a_2)$ ,  $q$  cercano a  $a_1$ , tal que  $\gamma(q)$  cruza  $S$   $n$  veces lo cual es una contradicción con  $(*)$ . Por tanto  $w(a_1)$  no contiene puntos regulares, entonces  $w(a_1)$  es un punto crítico. Este punto crítico no puede ser un sumidero porque entonces para  $q$  suficientemente cercano a  $a_1$  se tendría también que  $w(q) = w(a_1)$  y  $P$  no estaría definida en  $q$ . Por lo tanto  $w(a_1)$  es un punto silla. En forma análoga se muestra que  $w(a_2)$  es un punto silla. ■

Observemos que como sólo hay una cantidad finita de sillares (si  $\bar{X}$

es elemento de  $\mathcal{G}_i$ , entonces se tiene que  $\Gamma$  es la unión finita de intervalos abiertos en  $\mathcal{C}$ .

Si consideramos  $P^{-1}$ , obtenemos también que  $P^{-1}$  está definida sólo en una cantidad finita de intervalos abiertos de  $\mathcal{C}$ , en cuyos extremos posan trayectorias que provienen de puntos silla.

Lema 4.48 Si  $P: \Gamma \rightarrow \mathcal{C}$  está definida en todo  $\mathcal{C}$ . Es  $\Gamma = \mathcal{C}$ . Entonces  $M^2$  es el toro  $(T^2)$ .

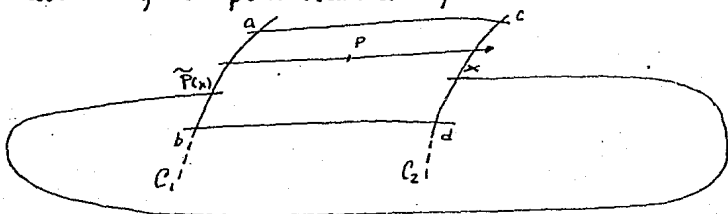
Demostración Sea  $L = \{ \varphi_t(\mathcal{C}) \mid t \in \mathbb{R} \}$ ,  $\varphi_t$  flujo de  $\mathbb{X}$ .  $L$  es abierto en  $M^2$  por la continuidad de las soluciones con respecto a la condición inicial. Además  $L$  es cerrado ya que si tenemos  $\{x_n\} \subset L$  convergente a  $x$ , nos fijamos en  $\{q_n\}$  tales que  $q_n \in \mathcal{C}$ ,  $x_n \in \varphi_{t_n}(q_n)$ . Como  $\mathcal{C}$  es compacto se tiene que  $\{q_n\} \rightarrow q$ ,  $q \in \mathcal{C}$ . Además la sucesión de tiempos  $t_n$  también está acotada. Por tanto  $\{x_n\} \rightarrow x$  donde  $x = \varphi_{t'}(q)$ , esto es  $x \in L$ . Como  $M^2$  es conexa tenemos que  $L = M^2$ . Concluimos también que  $\mathbb{X}$  no tiene singularidades. Sabemos por el teorema de Hopf [God.] que las únicas variedades,  $M^2$  que admiten un campo  $\mathbb{X} \in \mathcal{C}'$  sin singularidades son el toro  $(T^2)$  y la botella de Klein  $(K^2)$ . Como  $M^2$  orientable se tiene  $M^2 = T^2$ . ■

Lema 4.49 Si  $\mathbb{X} \in \mathcal{C}'(M^2)$  es un campo sin singularidades y sin orbitas cerradas, entonces  $\mathbb{X}$  puede ser aproximado por un campo  $\overline{\mathbb{W}}$  que posee una órbita cerrada.

Demostración Sea  $\mathbb{X}$  tal que no posee orbitas cerradas ni singularidades. Sea  $x \in M^2$  y nos fijamos en  $w(x)$ . Este conjunto es minimal no trivial. Por tanto si  $p \in w(x)$ , tenemos por lema 4.45 que  $\mathcal{Y}(P)$  es recurrente no trivial. En

resumen tenemos en  $M^2$  un campo sin singularidades ni orbitas cerradas y con una orbita reorientante no trivial, entonces si consideramos  $C$  un círculo transversal a  $\bar{X}$  en  $p$  obtenemos que la transformación de Poincaré  $P: \Gamma \rightarrow C$  está definida en todo  $\Gamma$  y por el lema 4.48 obtenemos que  $M^2$  es  $T^2$ .

Ahora, sea  $C_1 = \varphi_{-\delta}(C)$  y  $C_2 = \varphi_{\delta}(C)$  con  $\delta > 0$  pequeño.  $C_1$  y  $C_2$  son círculos transversales a  $\bar{X}$ . Consideremos una caja de flujo  $F$ ,  $p \in F$ , cuyos lados  $\bar{a}b$  y  $\bar{c}d$  pertenezcan a  $C_1$  y  $C_2$

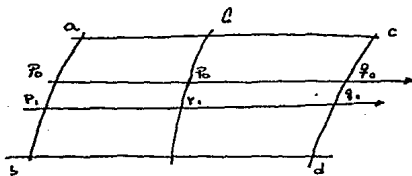


Definimos  $\tilde{P}: C_2 \rightarrow C_1$  asociando a cada punto  $x$  en  $C_2$  el punto de  $C_1$  donde la trayectoria positiva de  $x$  interseca  $C_1$  por primera vez. Observemos que también tenemos

$$\varphi_{-2\delta}: C_2 \rightarrow C_1$$

y como  $M$  es orientable  $\tilde{P}$  y  $\varphi_{-2\delta}$  inducen la misma orientación en  $C_1$ . Sea  $P_i = \tilde{P}^i(q_0)$ , donde  $q_0$  es tal que  $\varphi_{\delta}(p) = q_0$ . Como  $\delta(p)$  es reorientante, existe una sucesión de índices  $n_i$  tales que  $\{P_{n_i}\}$  converge a  $P_0$ . Abusando de la notación podemos suponer que  $\{P_i\}$  converge a  $P_0$  y que  $P_i$  siempre está abajo de  $P_0$  donde  $P_0 = \varphi_{\delta}(P)$ .

llamaremos  $Y_i = \varphi_{\delta}(P_i)$  y  $Z_i = \varphi_{2\delta}(P_i)$ .



Observamos que en nuestra caja de flujo el círculo  $C$  se corresponde con el eje "y", y la trayectoria por  $p$  con el eje "x".

Sea  $\Psi: M \rightarrow \mathbb{R}$  una función positiva de clase  $C^\infty$  tal que  $\Psi \equiv 0$  en  $M-F$  y  $\Psi > 0$  en el interior de  $F$ . Consideremos la familia de campos

$$\bar{Z}(m) = \bar{X} + \varepsilon m \Psi \bar{Y}$$

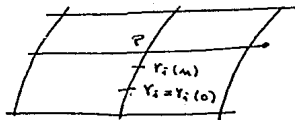
donde  $\bar{Y}$  es el campo  $(0, 1)$ . Tomando  $\varepsilon$  pequeño  $\bar{Z}(m)$  está próximo a  $\bar{X}$  para toda  $m \in [0, 1]$ .

Fijamos un intervalo cerrado  $\bar{I}$  en  $\bar{a}b$  que contenga a  $p_0$  en su interior. Dado  $\varepsilon > 0$  nos fijamos para cada punto  $x \in \bar{I}$ , en las trayectorias de  $\bar{Z}(0)$  y  $\bar{Z}(1)$  que pasan por  $x$  y llamamos  $\bar{S}(x)$  a la longitud del segmento determinado por las intersecciones de estas trayectorias y el eje "y" ( $C$ ). Como  $\bar{I}$  es compacto se tiene que existe  $\bar{\delta} > 0$  tal que  $\bar{\delta} = \min \{ \bar{S}(x) \mid x \in \bar{I} \}$ .

Fijemos un índice  $i$  tal que la distancia entre  $p$  y  $p_i$  ( $r_i = r_i$ ) sea menor que  $\bar{\delta}$ . Llamemos  $\delta(m)$  la trayectoria de  $\bar{Z}(m)$  que pasa por  $p$ . Como  $\bar{P}$  está definida en todo  $\bar{c}d$  se tiene que  $\delta(m)$  regresa un número infinito de veces al segmento  $\bar{a}b$ . Podemos determinar un cierto  $m$  suficientemente pequeño para que para toda  $n \leq m$ ,  $\delta(m)$  intersekte  $\bar{I}$  en la  $i$ -ésima vez en el punto  $p_i(m)$  arriba de  $p_i$ . De tal forma que pasemos continuamente del arco



$PP_i$  al arco  $PP_i(u)$ . El correspondiente punto  $r_i(u)$  donde  $\delta(u)$  interseca el eje "y" está arriba de  $r_i$ . Tenemos, así, que la ordenada de  $r_i(u)$  es una función continua creciente de  $u$ .

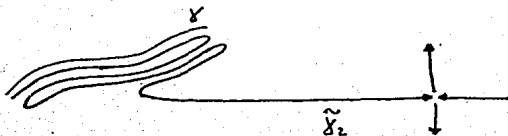


Si  $r_i(u_0)$  está arriba de  $P$ , entonces

para alguna  $u < u_0$   $r_i(u) = P$  y tenemos una órbita cerrada. Si  $r_i(u)$  está abajo de  $P$  consideramos  $r_i(u)$  para valores  $u > u_0$  y para algún  $u \leq 1$  tenemos que  $r_i(u) = P$ . Esto último es posible ya que la distancia entre  $r_i$  y  $P$  es menor que  $\bar{\delta}$  y la distancia entre  $r_i$  y  $r_i(1)$  es mayor que  $\bar{\delta}$  y portanto  $r_i(1)$  está arriba de  $P$ . Finalmente siempre es posible obtener una órbita cerrada para el campo  $\bar{Z}(u)$ , donde  $\bar{Z}(u)$  está arbitrariamente próximo (tanto como queramos) a  $\bar{X}$ . Sea  $\bar{Z}(u) = \bar{W}$  y terminamos ■

Lema 4.50 Sea  $\bar{X} \in \mathcal{S}$ , tal que  $\bar{X}$  tiene al menos una singularidad. Si existe una órbita de  $\bar{X}$   $w$ -recurrente no trivial, entonces  $\bar{X}$  puede ser aproximado por un campo  $\bar{W}$  que presenta una unión de sillos más que  $\bar{X}$ .

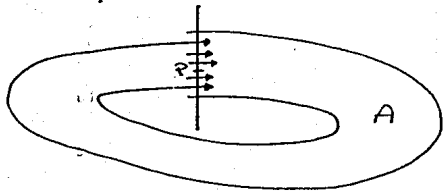
Demostración Sea  $\delta$   $w$ -recurrente no trivial; mostraremos que existe una se paratriz estable  $\tilde{Y}_2$  tal que se acumula en  $\delta$ . Esto es,  $\delta \subset \alpha(\tilde{Y}_2)$



Consideremos un punto  $p$  en  $\mathcal{X}$  y un círculo  $C$  transversal a  $\mathcal{X}$  en  $p$ . Sea  $T: \Gamma \subset C \rightarrow C$  la transformación de Brouwer definida en  $\Gamma$ . Sabemos que  $\Gamma \neq C$  (en caso contrario no habría singularidades). Supongamos que  $\mathcal{X}$  no es acumulada por separatrices estables, esto es, supongamos que existe un intervalo en  $C$  contenido a  $p$  y disjunto de separatrices estables. Sea  $I \subset C$  el intervalo maximal que satisface esta propiedad.

Como  $\mathcal{X}$  es  $w$ -recurrente y  $p \in \mathcal{X}$ , entonces  $T^k(p) \in I$  para algún entero  $k > 0$ . Afirmamos que  $T^k(I) \subseteq I$ . Observemos que primero que  $T^k(I) \cap I \neq \emptyset$  ya que  $T^k(p) \in I$ . Ahora, si  $T^k(I)$  no es subconjunto de  $I$  implica que  $T^k(I)$  tendría como punto interior a alguno de los extremos de  $I$ . Como  $I$  es el intervalo maximal tenemos que  $T^k(I)$  tiene puntos que pertenecen a separatrices estables, y como esas separatrices son invariantes bajo el flujo concluimos que  $I$  tiene puntos de separatrices estables lo que es una contradicción. Por tanto  $T^k(I) \subseteq I$ .

Con la función  $T^k$  podemos construir una región  $A$  que contiene a  $p$  y es homeomorfa a un anillo e invariante bajo el flujo  $\varphi_t$ ,  $t > 0$



Para esto no es posible, pues  $\mathcal{X}$  no podría ser  $w$ -recurrente no trivial en  $A$ . Por tanto  $\mathcal{X}$  sí es acumulada por una separatriz estable  $\tilde{\mathcal{X}}_2$ .

Mostremos, ahora, que  $\delta$  es acumulada por alguna separatriz inestable o ella misma es una separatriz inestable.

Supongamos que es posible encontrar un intervalo en  $C, I$ , tal que  $p \in I$  y  $I$  es disjunto de separatrices inestables. Como  $\delta$  es  $w$ -recurrente tenemos que existe  $k > 0$  tal que  $T^k(I) \cap I \neq \emptyset$ . Concluimos que para algún  $q \in I$ ,  $T^{-k}(q)$  está bien definida y  $T^{-k}(q) \in I$ .

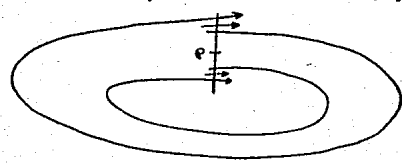
Existen dos posibilidades a considerar:  $T^{-k}$  está definido en todo  $I$  o no lo está.

Caso 1.  $T^{-k}$  no está definida en todo el arco  $I$ .

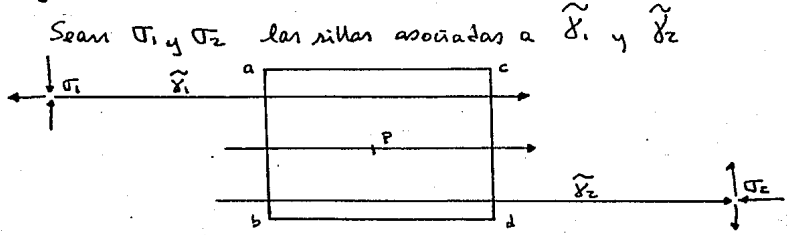
En este caso existe  $z \in I$  cuya órbita negativa "muere" en una silla, en particular  $z \in I \cap \tilde{\delta}$  para alguna separatriz inestable  $\tilde{\delta}$ ; lo que contradice la definición de  $I$ .

Caso 2  $T^{-k}$  bien definida en todo  $I$

Tenemos, entonces, que  $T^{-k}(I) \subseteq I$  por una argumentación análoga a la realizada al inicio del lema. Encontramos nuevamente una región  $A$  homeomorfa a un acillo tal que  $p \in A$  y el campo puede ser transversal a  $A$  en algunos (dos) subconjuntos de  $I$ , donde  $\bar{X}$  señala hacia afuera. Nuevamente  $\delta$  no podría ser  $w$ -recurrente en esas condiciones. Por tanto  $\delta$  sí es aproximada (acumulada) por una separatriz inestable  $\tilde{\delta}$ .



Ahora, sea  $\tilde{\gamma}_1$  una separatriz inestable tal que  $\tilde{\gamma}_1 = \delta$  o  $\tilde{\gamma}_1$  se acumula en  $\delta$ , sea  $\tilde{\gamma}_2$  una separatriz estable que se acumula en  $\delta$ . Consideremos los círculos  $C_1 = \varphi_S^{-1}(C)$  y  $C_2 = \varphi_S(C)$  transversales a  $\bar{X}$  ( $\varphi$  es el flujo de  $\bar{X}$ ). Sean  $T: \Gamma \subset C_2 \rightarrow C_1$  la transformación de Poincaré y  $F$  una caja de flujo que contiene a  $p$ . Como el número de sillars es finito ( $\bar{X} \in \mathcal{G}_1$ ) podemos tomar a  $F$  disjunta de uniones de sillars que ya tenga  $\bar{X}$ .



Queramos mostrar que con una pequeña perturbación del campo  $\bar{X}$  obtenemos un nuevo campo con una unión de sillars mas que  $\bar{X}$ .

Sea  $\Psi$  una función  $C^\infty$  tal que  $\Psi(\text{int } F) > 0$  y  $\Psi(M-F) = 0$ , sea  $\bar{Y}$  el campo  $\bar{Y}(q) = (0, 1)$  (apunta hacia arriba).

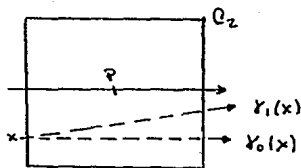
Consideremos la familia de campos

$$\bar{Z}_\epsilon = \bar{X} + \epsilon \Psi \bar{Y}$$

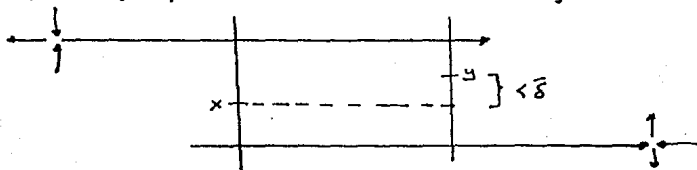
donde  $\epsilon > 0$  y  $\epsilon \in [0, 1]$ . Tomando  $\epsilon$  pequeño,  $\bar{Z}_\epsilon$  está próximo a  $\bar{X}$  para toda  $\epsilon$ .

Fixemos un pequeño intervalo cerrado  $I$  en  $[a, b]$  que contenga a  $p_0 = \varphi_S^{-1}(p)$ . Llamaremos  $\gamma_\epsilon(x)$  la órbita de  $\bar{Z}_\epsilon$  que pasa por  $x$  para

todo  $x$  en  $I$ . Sea  $\bar{\delta}(x)$  igual a la distancia entre  $\delta_0(x) \cap C_2$  y  $\delta_1(x) \cap C_2$ , sea  $\bar{\delta} = \min \{ \bar{\delta}(x) \mid x \in I \}$ ,  $\bar{\delta}$  es estrictamente mayor que cero ya que  $I$  es compacto. Sean  $x_0$  la primera vez que  $\tilde{\delta}_1$  interseca  $\bar{a}\bar{b}$  y  $y_0$  la primera vez que  $\tilde{\delta}_2$  interseca  $\bar{c}\bar{d}$  (para  $t < 0$ ). Observemos que los arcos  $\overline{v_1 x_0}$  y  $\overline{y_0 v_2}$  no son afectados por la familia de perturbaciones propias.



Tomemos, ahora, un punto  $x \in \tilde{\delta}_1 \cap I$ , cercano a  $p_0$  y un punto "y" en  $\tilde{\delta}_2 \cap C_2$  tal que la distancia entre  $y$  y  $\varphi_{2\delta}(x)$  sea menor que  $\bar{\delta}$ . Todo esto es posible ya que  $p_0$  es elemento de  $\omega(\tilde{\delta}_1)$  y de  $\alpha(\tilde{\delta}_2)$ .



El punto  $x$  corresponde a la  $i$ -ésima intersección de  $\tilde{\delta}_1$  con  $C_1$ ,  $i > 0$ , y el punto  $y$  a la  $j$ -ésima intersección de  $\tilde{\delta}_2$  con  $C_2$  (si tomamos el flujo de  $-\bar{X}$ ),  $j > 0$ . Supongamos que  $x$  está abajo de  $y$  en  $F$ .

Consideremos la transformación que a cada  $u \in [0, 1]$  le asocia la  $i$ -ésima intersección  $X(u)$  de la separatriz  $\tilde{\delta}_1(u)$  del campo  $\bar{Z}(u)$  con  $C_1$ . Observamos que  $X = X(0)$ . Consideremos  $Y(u)$  la  $j$ -ésima intersección de la separatriz  $\tilde{\delta}_2(u)$  del campo  $\bar{Z}(u)$  con  $C_2$ .

Como  $M^2$  es orientable,  $x(m)$  es monótona creciente en  $m \in [0, 1]$  con imagen en  $[a, b]$ , y  $y(m)$  es monótona decreciente en  $[0, 1]$  con imagen en  $[c, d]$ .

Consideremos dos casos:

1.- Supongamos que  $x(m)$  y  $y(m)$  están bien definidos para todo  $m$  en  $[0, 1]$ . Entonces existe  $m_0$  en  $(0, 1)$  tal que la distancia entre  $\mathcal{P}_{2S}(x(m_0))$  y  $y(m_0)$  es cero, ya que  $x(m)$  y  $y(m)$  son continuas y tenemos que la distancia entre  $\mathcal{P}_{2S}(x(0))$  y  $y(0)$  era estrictamente menor que  $\bar{\delta}$ . Por tanto sí existe  $m_0 \in (0, 1)$  tal que  $x(m)$  y  $y(m)$  están en la misma trayectoria. Concluimos que  $\bar{Z}(m)$  tiene una unión de sillas mayor que  $\bar{X}$ .

2.- Supongamos que una de las transformaciones, por ejemplo  $x(m)$  no está definida para todo  $m$  en  $[0, 1]$ . Entonces  $\tilde{f}_1(m_0)$  para algún  $m_0$  en  $(0, 1)$  pasa por algún punto extremo del dominio de definición de  $T$  y por el lema 4.47, tenemos que  $\tilde{f}_1(m_0)$  va a un punto silla  $\sigma_3$  y ya tenemos una nueva unión de sillas.

Para terminar llamamos  $\bar{W}$  a  $\bar{Z}(m)$ .  $\equiv$

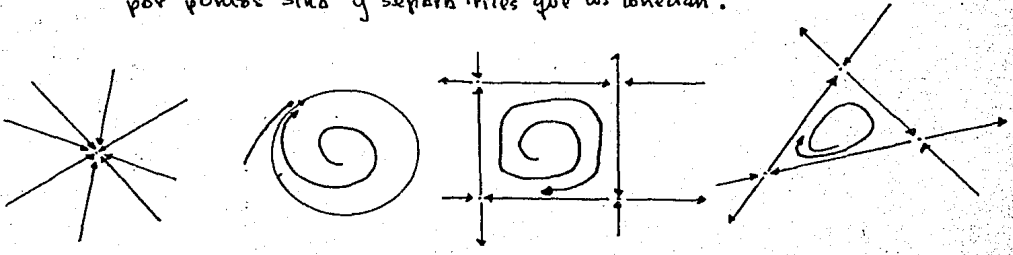
Lema 4.51 El campo  $\bar{Y}_1 \in \mathcal{G}_1$  puede ser aproximado por un campo  $\bar{Y}'_1 \in \mathcal{G}_1$  tal que todos sus conjuntos minimales sean triviales.

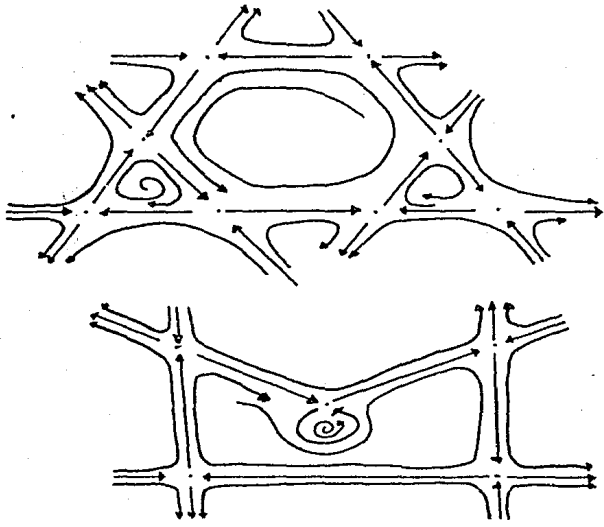
Demostración Supongamos que  $m$  es un conjunto minimal, de  $\bar{Y}_1$ , no trivial. Sea  $p \in m$  y sea  $C$  un círculo transversal a  $\bar{Y}_1$  que pase por  $p$ . Definimos  $T: \Pi \rightarrow C$  como antes.

Caso 1.- Si  $\Gamma = \emptyset$ , entonces  $M^2 = T^2$ . Por el lema 4.49, existe  $\bar{Y}_1'$  un campo cercano a  $\bar{Y}_1$ , tal que  $\bar{Y}_1'$  tiene una órbita cerrada  $\delta$ . Dado que  $\bar{Y}_1'$  no tiene puntos críticos, se tiene que  $\delta$  no acota una celda, y por tanto  $T^2 - \delta$  es homeomorfo a un cilindro. Pero en un cilindro no puede haber reversiones no triviales. Concluimos que  $\bar{Y}_1'$  tiene sólo reversiones triviales.

Caso 2.- Si  $\Gamma \neq \emptyset$ , entonces  $\bar{Y}_1$  sí tiene singularidades, y por el lema 4.50,  $\bar{Y}_1$  puede ser aproximado por  $\bar{Y}_{1,2}$  donde  $\bar{Y}_{1,2}$  presenta una unión de sillar más que  $\bar{Y}_1$ . Si  $\bar{Y}_{1,2}$  tiene conjuntos minimal no triviales ha como una nueva aproximación  $\bar{Y}_{1,3}$ , que a su vez presenta una ligazón nueva de sillar. Como la cantidad de sillar es finita (digamos  $m$ ), entonces se pueden hacer a lo más  $2m$  uniones de sillar, y por tanto  $\bar{Y}_1$  puede aproximarse por  $\bar{Y}_1'$  con todos sus conjuntos minimal triviales.

Lema 4.52 Conservando la notación del lema anterior,  $\bar{Y}_1'$  puede ser aproximado por un campo  $\bar{Y}_2'$  tal que el  $\alpha$  y  $\omega$ -conjunto límite de toda trayectoria está formado por una singularidad, una órbita cerrada o una gráfica cerrada compuesta por puntos silla y separatrices que los conectan.





Demostración Sea  $\gamma$  una trayectoria de  $\bar{Y}_1$ , supongamos que  $w(\gamma)$  no es una singularidad ni una órbita cerrada ni una gráfica cerrada. Sea  $u \subset w(\gamma)$  un conjunto minimal. Observemos que  $u$  no puede ser un sumidero ya que en ese caso  $w(\gamma) = u$ , pero  $w(\gamma)$  no es una singularidad; por razón similar  $u$  no puede ser una órbita cerrada.

Ahora dividamos en dos casos:

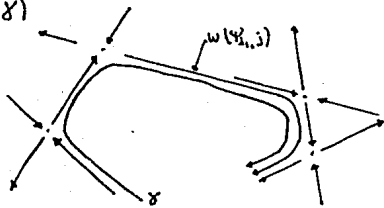
1.- Supongamos que  $w(\gamma)$  no contiene singularidades. Como  $u$  no es órbita cerrada y  $w(\gamma)$  no tiene puntos singulares, concluimos que  $u$  es trivial, lo cual contradice el hecho de que todos los conjuntos minimales de  $\bar{Y}_1$  son triviales.

2.-  $w(\gamma)$  contiene singularidades. Estas singularidades solo pueden ser puntos silla. Además, como hemos supuesto que  $w(\gamma)$  no es una sola singularidad,



$w(\gamma)$  contiene varios puntos silla, digamos  $S_1, S_2, \dots, S_m$ . Observamos que las separatrices que unen estos puntos silla también pertenecen a  $w(\gamma)$ .

Ilamaremos  $\Psi(\bar{i}, 1)$  y  $\Psi(\bar{i}, 2)$  a las separatrices del punto silla  $S_{\bar{i}}$   $\bar{i} = 1, 2, \dots, m$ . Como  $w(\gamma)$  no es una gráfica cerrada, se tiene que para algún índice  $\bar{i}$ , una de las separatrices de  $S_{\bar{i}}$ ,  $\Psi(\bar{i}, j)$  es tal que  $\Psi(\bar{i}, j) \subset w(\gamma)$  y  $w(\Psi(\bar{i}, j))$  no es una sola singularidad, ni una órbita cerrada ni una gráfica cerrada. Además  $w(\Psi(\bar{i}, j))$  está contenido en  $w(\gamma)$



Siguiendo el mismo razonamiento obtenemos separatrices  $\Psi(\bar{i}_1, j)$ ,

$\Psi(\bar{i}_2, j), \dots, \Psi(\bar{i}_k, j)$  tales que

$$\Psi(\bar{i}_k, j) \subset w(\Psi(\bar{i}_{k-1}, j)) \text{ y } w(\Psi(\bar{i}_{k-1}, j)) \supset w(\Psi(\bar{i}_k, j))$$

de hecho tenemos

$$w(\gamma) \supset w(\Psi(\bar{i}_1, j)) \supset \dots \supset w(\Psi(\bar{i}_k, j)) \dots$$

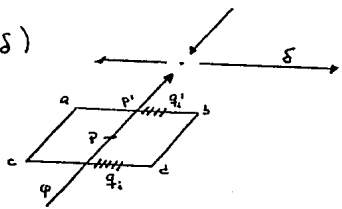
Dado que sólo hay una cantidad finita de separatrices, debe existir una separatriz  $\Psi(\bar{i}, j)$  tal que

$$\Psi(\bar{i}, j) \subset w(\Psi(\bar{i}, j))$$

Ilamaremos  $\delta$  a  $\Psi(\bar{i}, j)$ . Por tanto  $\delta \subset w(\delta)$ .

Observemos que existe otra separatriz,  $\varphi$ , que converge al punto

silla de  $\mathcal{S}$  y tal que  $\varphi \in \omega(\mathcal{S})$



Consideremos una pequeña caja de flujo  $R$  en un punto  $p$  en  $\varphi$ , y construida de tal forma que la trayectoria por  $p$  cruce la frontera de  $R$  en  $p'$  y no vuelva a intersectar  $R$ . Elegimos  $R$  tan pequeña para que sea disjunta de uniones de sillan.

Sean  $q_1, q_2, \dots, q_i, \dots$  los puntos donde  $\mathcal{S}$  intersecta  $\bar{cd}$  y  $q_i'$  las intersecciones de  $\mathcal{S}$  con  $\bar{ab}$ . Como  $\varphi \in \omega(\mathcal{S})$ , tenemos que la sucesión  $\{q_i'\}$  converge a  $p'$  cuando  $i$  tiende a infinito. Siguiendo un argumento similar al del lema 4.50, con una pequeña perturbación  $\mathcal{Y}_{i,1}$  obtenemos una nueva unión de sillan (que  $\mathcal{Y}_i$  no tenía). Si  $\mathcal{Y}_{i,1}$  no satisface que todo  $\alpha$  y  $\omega$ -conjunto límite de toda trayectoria sea una singularidad, una órbita cerrada o una gráfica cerrada, repetimos nuestra construcción y encontramos  $\mathcal{Y}_{i,2}$  cercano a  $\mathcal{Y}_{i,1}$  (y por tanto cercano a  $\mathcal{Y}_i$ ) tal que  $\mathcal{Y}_{i,2}$  muestra una nueva unión de sillan. Como la cantidad de sillan es  $m$ , obtenemos finalmente un campo  $\mathcal{Y}_2'$  cercano a  $\mathcal{Y}_i'$  tal que satisface las condiciones del lema ■

Definición 4.53. Llamaremos  $\mathcal{G}_2$  al conjunto de campos de  $\mathcal{X}(M^2)$

tales que:

- i)  $\mathcal{G}_2 \subset \mathcal{G}_1$
- ii) Para toda trayectoria  $\gamma$  de  $\mathcal{Y}_2 \in \mathcal{G}_2$  se tiene que  $\alpha(\gamma)$  y  $\omega(\gamma)$  están formados por un punto crítico, o una órbita cerrada, o una

gráfica cerrada, cada uno.

Definición 4.54 Llamaremos  $\mathcal{P}_3$  al conjunto de campos de  $X'(M^2)$

tales que:

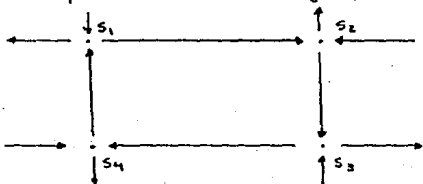
i)  $\mathcal{P}_3 \subset \mathcal{P}_2$

ii) Si  $\mathcal{Y}_3 \in \mathcal{P}_3$ , entonces  $\mathcal{Y}_3$  no tiene trayectorias solución que vayan puntos silla.

Lema 4.55 Todo campo  $\mathcal{Y}_2 \in \mathcal{P}_2$  puede ser aproximado por un campo  $\mathcal{Y}_3 \in \mathcal{P}_3$ .

Demostración Si  $\mathcal{Y}_2$  tiene una gráfica cerrada formada por puntos silla y seps retrices, mostraremos que existe una aproximación  $\mathcal{Y}_{2,1}$  tal que  $\mathcal{Y}_{2,1} \in \mathcal{P}_2$  pero con una gráfica cerrada menos que  $\mathcal{Y}_2$ . Siguiendo varias veces este camino demostraremos el lema.

Supongamos que  $\mathcal{Y}_2$  tiene una gráfica  $s_1, s_2, s_3, s_4, s_1 = \mathcal{G}$

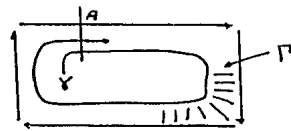


Como  $M$  es orientable,  $\mathcal{G}$  tiene una vecindad homeomorfa a un anillo, y por lo tanto sólo se pueden presentar los siguientes dos casos:

- 1.- Existe una trayectoria,  $\delta$ , para la cual  $\mathcal{G}$  es su  $w$ -conjunto límite (ó  $\mathcal{G} = \alpha(\delta)$ ).
- 2.- Existen una cantidad infinita de órbitas cerradas que se acumulan

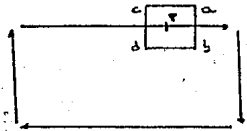
en  $g$ .

Supongamos que existe  $\gamma$  solución de  $Y$  tal que  $w(\gamma) = g$  (el otro caso se trata en forma similar). Consideremos un punto  $A$  en la separatriz que une  $S_1$  con  $S_2$  y una sección transversal al campo que lo contenga.



$\gamma$  interseca esta sección en una sucesión de puntos  $A_1, A_2, \dots$  que convergen a  $A$  monotónicamente. Escogemos  $A_i$  tan cerca de  $A$  para que no existan singularidades en el anillo  $\Gamma^i$  determinado por el arco de trayectoria que une  $A_1$  y  $A_2$ , unión el segmento de la sección que une  $A_1$  y  $A_2$  unión con  $g$ .

Sea  $p$  otro punto en la separatriz que une  $S_1$  con  $S_2$  y consideremos un rectángulo  $R$  (coja de flujo) asociado a él,  $R = abcd$ , tal que el lado  $\overline{db}$  está en el interior de  $\Gamma$ , y  $\overline{ca}$  está arriba de la separatriz.



Distinguiremos, ahora, dos casos:

- i) la separatriz  $S_1 S_2$  no pertenece al  $w(\beta)$  para toda  $\beta$  separatriz inestable de un punto silla.
- ii) la separatriz  $S_1 S_2$  es parte de  $w(\beta)$  donde  $\beta$  es separatriz inestable de un punto silla.

Caso i) Podemos hacer que la caja de flujo  $R$  lo suficientemente pequeña para que no contenga ningún arco de trayectoria perteneciente a alguna separatriz inevitable distinta de  $S_1 S_2$ .

Consideremos la siguiente familia de campos (perturbaciones de  $\bar{Y}_2$ ).

$$\bar{Y}_{2,\epsilon}(\bar{m}) = \bar{Y}_2 + \epsilon \eta \varphi \bar{Z}$$

donde  $\eta \in [0,1]$ ,  $\varphi$  es una función de clase  $C^\infty$  tal que  $\varphi$  en el interior de  $R$  es estrictamente mayor que cero, y  $\varphi$  en  $M^2$  menos interior de  $R$  es cero,  $\bar{Z}$  es el campo  $(0,-1)$  (apunta hacia abajo) y  $\epsilon > 0$  suficientemente pequeña.

Observamos que  $\bar{Y}_{2,\epsilon}(\bar{m})$  ya no tiene la unión entre  $S_1$  y  $S_2$  si  $\eta \in (0,1]$ .

Además esta perturbación no introduce alguna nueva unión de sillars, ya que  $\Gamma$  es invariante bajo el flujo de  $\bar{Y}_2$ .

Caso ii) Podemos tomar  $R$  suficientemente pequeño para que todas las trayectorias arriba de  $p$  regresen a  $R$  en un punto más cercano a  $p$ . Supongamos que  $\delta$  es una trayectoria que proviene de un punto silla  $\sigma$ , e intersecta el lado  $\bar{cd}$  de  $R$  en una sucesión monótona decreciente de puntos  $q_i$  que convergen a  $P_0$ ,  $P_0 = S_1 S_2 \cap \bar{cd}$ . Consideremos  $\bar{m} \in (0,1)$ , y la trayectoria  $\delta(\bar{m})$  de  $\bar{Y}_{2,\epsilon}(\bar{m})$  que pasa por  $q_i$  (y proviene del punto silla  $\sigma$ ). Si esta trayectoria cruza  $P_i$ ,  $P_i = S_1 S_2 \cap \bar{ab}$ , y tiende a  $S_2$  (lo que quiere decir que une los puntos silla  $\sigma$  y  $S_2$ ), entonces  $\bar{m}'$  cercano a  $\bar{m}$ ,  $\bar{m}' > \bar{m}$ , obtenemos que  $\delta(\bar{m}')$  ya no toque  $P_i$ , de hecho toca  $\bar{ab}$  abajo de  $P_i$  en algún momento y converge a una órbita cerrada (Poincaré-Bendixon). Si  $\delta(\bar{m})$  no toca  $P_i$ , entonces para un tiempo suficientemente grande toca abajo de  $P_i$  y

converge a una órbita cerrada. Entonces la perturbación  $\bar{Y}_{2,1}(\bar{u})$  no crea con  $\delta$  una nueva unión de sillars. Lo hecho con  $\delta$  se puede hacer con cualquier otra trayectoria que provenga de un punto silla y tenga a  $S_1, S_2$  como parte de su conjunto límite.

Con este procedimiento podemos aproximar  $\bar{Y}_2$  por  $\bar{Y}_{2,1}$  donde  $\bar{Y}_{2,1}$  ya no tenga gráficas cerradas. Si  $\bar{Y}_{2,1}$  tiene uniones de puntos silla, por el mismo argumento podemos deshacer esas uniones (sin crear otras) con perturbaciones pequeñas del campo  $\bar{Y}_{2,1}$ . Por lo tanto  $\bar{Y}_2$  se puede aproximar por  $\bar{Y}_3$  donde  $\bar{Y}_3$  no tiene uniones de sillars. ■

En resumen tenemos que todo campo  $Y_1 \in \mathcal{G}_1$  puede ser aproximado por un campo  $\bar{Y}_3$  tal que

i)  $\bar{Y}_3 \in \mathcal{G}_1$ .

ii) los conjuntos minimales de  $\bar{Y}_3$  son todos triviales

iii) El  $\omega$  y  $\alpha$  conjunto límite de cualquier trayectoria es un punto singular o una órbita cerrada.

iv) No hay soluciones que vayan por puntos silla.

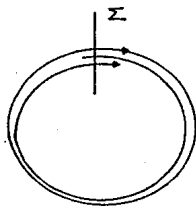
Esto es,  $\mathcal{G}_3$  es denso en  $\mathcal{G}_1$ .

Obtenemos también un corolario inmediato:

Corolario 4.56 Si  $\bar{X} \in \mathcal{X}^1(M^2)$  es estructuralmente estable, entonces  $\bar{X} \in \mathcal{G}_3$ .

#### Sección 4. Orbitas Cerradas.

Consideremos una órbita cerrada,  $\gamma$ , de un campo  $\bar{X} \in \mathcal{X}'(M^2)$ . Por un punto  $x_0 \in \gamma$  consideremos una sección transversal,  $\Sigma$ , al campo  $\bar{X}$ .



La órbita por  $x_0$  vuelve a intersectar  $\Sigma$  en un tiempo  $\tau$  (Período de  $\gamma$ ). Por continuidad del flujo de  $\bar{X}$ , la órbita por un punto  $x$  cercano a  $x_0$  también vuelve a intersectar  $\Sigma$  en un tiempo cercano a  $\tau$ . Por tanto si  $V \subset \Sigma$  es una vecindad de  $x_0$  (en  $\Sigma$ ) suficientemente pequeña, podemos definir la siguiente transformación

$$T: V \rightarrow \Sigma$$

donde  $T(x)$  es el punto donde la trayectoria por  $x$  vuelve a intersectar  $\Sigma$  por primera vez. Esta función es llamada la transformación de Birkhoff (o transformación de holonomía o monodromía).

Sabemos que  $T$  es un difeomorfismo local de la misma clase que el campo  $\bar{X}$ ,  $T \in C^1$ , [     ].

Definición 4.57 Sean  $\gamma$  una órbita cerrada de  $\bar{X}$ ,  $p \in \gamma$  y  $\Sigma$  una sección transversal a  $\bar{X}$  en  $p$ . Decimos que  $\gamma$  es

una órbita cerrada hiperbólica, o simple, de  $\bar{X}$  si

$$T'(p) \neq \pm 1.$$

Si  $T'(p) < 1$  decimos que  $\gamma$  es un atractor o que  $\gamma$  es estable, si  $T'(p) > 1$  decimos que  $\gamma$  es repulsor o que  $\gamma$  es inestable.

Definición 4.58 Sea  $\gamma$  una separatriz inestable de algún punto silla. Decimos que  $\gamma$  está estabilizada si  $w(\gamma)$  es un elemento hiperbólico (órbita cerrada atractiva o sumidero).

En forma análoga definiremos separatriz estable estabilizada.

Lema 4.59 Todo campo  $\bar{Y}_3 \in \mathcal{P}_3$  puede ser aproximado por un campo  $\bar{Y}'_3$ , tal que  $\bar{Y}'_3 \in \mathcal{P}_3$  y las separatrices de  $\bar{Y}'_3$  están estabilizadas.

Demostración. Sea  $\gamma$  una órbita cerrada. Supongamos que  $\gamma$  es el  $w$ -conjunto límite de  $\mathcal{T}$ , donde  $\mathcal{T}$  es una separatriz inestable del campo  $\bar{Y}_3$ . Supongamos que  $\gamma$  no es hiperbólica, entonces,  $h'(0) = 1$  donde  $h$  es la transformación de Poincaré definida en una sección transversal  $\Sigma$  por  $p \in \gamma$ .

Consideremos una caja de flujo  $F$  en  $p$  tal que  $\Psi(F) = R$ ,  $\Psi \in C^2$  y  $R$  es un rectángulo uvilíneo en  $\mathbb{R}^2$ .

Con la diferencial de  $\Psi$  obtendremos una representación del campo  $\bar{Y}_3$  en  $R$

$$\bar{Y}_3^*(x, y) = d\Psi_{\Psi^{-1}(x, y)}(\bar{Y}_3(\Psi^{-1}(x, y)))$$

para todo  $(x, y)$  en  $R$ . Observemos que  $\bar{Y}_3^*$  tiene dos componentes

$$\bar{Y}_3^*(x, y) = (\bar{Y}_{3,1}^*(x, y), \bar{Y}_{3,2}^*(x, y))$$



y de hecho obtenemos el siguiente sistema de ecuaciones diferenciales en  $\mathbb{R}$

$$\frac{dx}{dt} = Y_{3,1}^*$$

$$\frac{dy}{dt} = Y_{3,2}^*$$

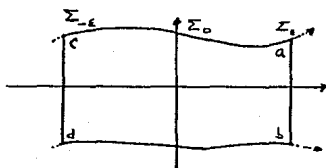
Ahora, podemos construir la caja de flujo  $F$ , y portanto  $\mathbb{R}$ , de tal forma que se cumplan las siguientes condiciones:

i)  $\Psi(\Sigma) = \mathbb{R} \cap \text{eje } y$

ii)  $Y_{3,i}^*(x,y) > 0$  para todo  $(x,y)$  en  $\mathbb{R}$

iii) los lados  $\bar{c}a$  y  $\bar{d}b$  sean arcos de trayectoria de  $Y_3^*$

iv) los segmentos  $\bar{c}d$  y  $\bar{a}b$  cruzan el eje  $x$  en los puntos  $(-\varepsilon, 0)$  y  $(\varepsilon, 0)$  respectivamente, y son transversales al campo.



Además, por la forma en construirse las cajas de flujo,  $\Psi(F \cap \gamma)$  es igual al eje  $x \cap \mathbb{R}$ . Llamaremos al segmento  $\mathbb{R} \cap \text{eje } y = \Sigma_0$ , y a los segmentos  $\bar{c}d$  y  $\bar{a}b$ ,  $\Sigma_{-\varepsilon}$  y  $\Sigma_{\varepsilon}$  respectivamente.

Como  $\gamma$  no es hiperbólica, tenemos que  $h'(0) = 1$ , donde

$$h: \Sigma_0 \rightarrow \Sigma_0.$$

Definimos las siguientes funciones a través de trayectorias. Esto es, la función asigna a un punto  $x$ , en el dominio, el punto donde la trayectoria por  $x$

intersecta por primera vez el contradominio

$$h_E : \Sigma_0 \rightarrow \Sigma_\varepsilon$$

$$h_{-E} : \Sigma_{-E} \rightarrow \Sigma_0$$

$$T : \Sigma_\varepsilon \rightarrow \Sigma_{-E}$$

Observemos la siguiente función:

$$h_E \circ h_{-E} \circ T : \Sigma_\varepsilon \rightarrow \Sigma_\varepsilon.$$

Sea  $H = h_E \circ h_{-E}$  y obtenemos:  $H \circ T : \Sigma_\varepsilon \rightarrow \Sigma_\varepsilon$ .

Como  $\mathcal{S}$  no es hiperbólica, tenemos

$$H'(T)T' = 1 \quad \text{en cero.}$$

Como  $T$  conserva orientación tenemos que  $T' > 0$ , y portanto  $H'(T) > 0$ ,

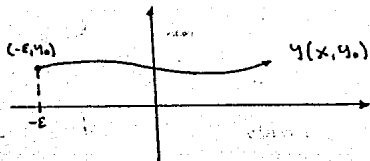
Si logramos hacer una pequeña modificación del campo  $\bar{Y}_3^*$  de tal forma que  $H'(T(0))^* < H'(T(1))$ , donde el asterisco significa que tomamos  $H$  y  $T$  en la modificación, habremos transformado a  $\mathcal{S}$  en una órbita hiperbólica.

Observemos que  $H'$  es la derivada de  $H$  con respecto a la altura, esto es,

$H' = \frac{\partial H}{\partial y}$ . Como  $\bar{Y}_{3,1}^* > 0$  en  $\mathbb{R}$  consideramos la siguiente ecuación diferencial

$$\frac{dy}{dx} = \frac{\bar{Y}_{3,2}^*}{\bar{Y}_{3,1}^*} \quad (**)$$

llamemos  $y(x, y_0)$  la solución con condición inicial  $y(-\varepsilon) = y_0$ . Con esta



notación tenemos que:

$$y(x, 0) = 0 \quad x \in [-\varepsilon, \varepsilon]$$

o sea la gráfica de esta solución en el segmento en el eje  $x$  que

une los puntos  $(-\varepsilon, 0)$  y  $(\varepsilon, 0)$ .

En este contexto la función  $H$  se puede representar así:

$H(s) = y(\varepsilon, s)$  donde  $y$  es solución de (\*\*).

Observemos que  $y$  depende de  $x$  y  $y_0$ , donde  $y_0$  es la condición inicial. Si  $y_0$  varía, o sea,  $s$  varía,  $y(\varepsilon, y_0)$  varía. Tenemos, entonces, la siguiente igualdad

$$\frac{\partial y(x, y_0)}{\partial y_0} \Big|_{(x, 0)} = H'(0)$$

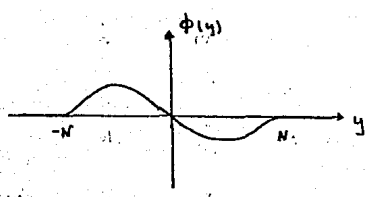
Sea  $F(x, y) = \frac{\bar{Y}_{3,2}^*(x, y)}{\bar{Y}_{3,1}^*(x, y)}$ . Sabemos por [Hur.] que

$$\frac{\partial y(x, y_0)}{\partial y_0} = \exp \left[ \int_{-\varepsilon}^{\varepsilon} \frac{\partial F}{\partial y} \Big|_{(x, 0)} dx \right]$$

Consideremos una función  $\phi: \mathbb{R} \rightarrow \mathbb{R}$  tal que  $\phi(0) = 0$ ,  $\phi'(0) < 0$ ,  $\phi(y) < 0$  para  $0 < y < N$ ,  $\phi(y) > 0$  para  $-N < y < 0$  donde

$N = \text{mínimo de los valores absolutos de las ordenadas de } a, b, c, d$ ,

$\phi(y)$  de clase  $C^\infty$  y  $\phi(y) = 0$  para  $y$  tales que  $|y| \geq N$ .



Por ejemplo:

$$\phi(y) = -\text{sen}(\pi N y) g(y)$$

donde  $g \in C^\infty$  en  $\mathbb{R}$ ,  $g(0) = 1$ ,  $g'(0) = 0$  y  $g(y) = 0$  si  $|y| \geq N$ .

Sea  $f(x)$  tal que  $f(x) > 0$  si  $|x| < \varepsilon$ ,  $f(x) = 0$  si  $|x| \geq \varepsilon$ ,  $f \in C^\infty$ . Sea  $\bar{Y}_3'$  una perturbación de  $\bar{Y}_3^*$  dada por

$$\bar{Y}_3' = \bar{Y}_3^* + \delta \phi \bar{z}$$

donde  $\bar{z}(x, 0) = (0, 0)$  y  $\delta$  suficientemente pequeño.

Observemos que  $\bar{z}$  sólo afecta al campo  $\bar{Y}_3^*$  en la componente vertical.

Por tanto

$$\bar{Y}_3' = (\bar{Y}_{3,1}', \bar{Y}_{3,2}') = (\bar{Y}_{3,1}^*, \bar{Y}_{3,2}^* + \delta \phi f \bar{z})$$

Esta perturbación nos induce la siguiente ecuación diferencial

$$\frac{dy}{dx} = \frac{\bar{Y}_{3,2}^* + \delta \phi f \bar{z}}{\bar{Y}_{3,1}^*}$$

y por tanto

$$\frac{dy}{dx} = F + \frac{\delta \phi f \bar{z}}{\bar{Y}_{3,1}^*} = \tilde{F}$$

Sea  $\tilde{H}$  la modificación de  $H$  bajo  $\tilde{F}$ . Calculamos  $\left. \frac{d\tilde{H}}{ds} \right|_{s=0}$

y obtenemos

$$\begin{aligned} \left. \frac{d\tilde{H}}{ds} \right|_0 &= \exp \left[ \int_{-\varepsilon}^{\varepsilon} \frac{\partial \tilde{F}}{\partial y} (x, 0) dx \right] \\ &= \exp \left[ \int_{-\varepsilon}^{\varepsilon} \frac{\partial F}{\partial y} (x, 0) dx + \int_{-\varepsilon}^{\varepsilon} \frac{\bar{Y}_{3,1}^* (x, 0) \delta f(x) \phi'(0)}{[\bar{Y}_{3,1}^* (x, 0)]^2} dx \right] \end{aligned}$$

ya que como  $\phi(0) = 0$  tenemos  $\varepsilon \phi(x) \phi'(0) = 0$  para todo  $x$  en  $[-\varepsilon, \varepsilon]$ .

Además, como  $\bar{Y}_{3,1}^* (x, 0) > 0$  y  $\phi'(0) < 0$  obtenemos

$$\int_{-\varepsilon}^{\varepsilon} \frac{\bar{Y}_{3,1}^* (x, 0) \delta f(x) \phi'(0)}{[\bar{Y}_{3,1}^* (x, 0)]^2} dx < 0$$

Por lo tanto  $\left. \frac{d\tilde{H}}{ds} \right|_0 < \left. \frac{dH}{ds} \right|_0$ .

Ahora, con  $d\psi^{-1}$  obtenemos un campo  $\bar{Y}_3'$  cercano a  $\bar{Y}_3$  tal que la separatriz  $\sigma$  ya es estabilizada. Siguiendo el mismo proceso para los otros se-

paratrices conducir el lana, ya que la cantidad de separatrices es finita ■

Observese que mediante el proceso arriba descrito hemos logrado que bajo una perturbación,  $\bar{Y}_3^1$ , la órbita  $\gamma$  sea una órbita hiperbólica. Si  $\gamma$  era un  $w$ -conjunto límite de ambos lados, entonces  $\gamma$  en  $\bar{Y}_3^1$  conserva esta característica, además de que la perturbación no introduce una nueva órbita cerrada. Pero si  $\gamma$  era de un lado  $w$ -conjunto límite y del otro  $\alpha$ -conjunto límite, tenemos que  $\gamma$  en  $\bar{Y}_3^1$  es  $w$ -conjunto límite de ambos lados (ya que  $h'(0) < 1$ ), y  $\bar{Y}_3^1$  tiene al menos una órbita cerrada más que  $\bar{Y}_3$ , donde esta nueva órbita es  $\alpha$ -conjunto límite de ambos lados.

Por otro lado, si ya tenemos  $\bar{Y}_3^1$  con separatrices estabilizadas, entonces una perturbación de  $\bar{Y}_3^1$  suficientemente pequeña mantiene esta característica. Esta afirmación se sigue del hecho de que la transformación de Poincaré en  $p$  depende continuamente del campo. Esto es, si tenemos

$$T: V \subset \Sigma \rightarrow \Sigma$$

la transformación de Poincaré asociada  $\bar{X}$ , entonces existe una vecindad  $N$  de  $\bar{X}$  en  $\mathcal{X}^1(M^2)$  tal que para todo  $\bar{Y}$  en  $N$ ,  $\Sigma$  es también una sección transversal y toda órbita de  $\bar{Y}$  que pase por  $V$  vuelve a intersectar  $\Sigma$ . Además la relación  $N \rightarrow C^1(V, \Sigma)$  que a cada  $\bar{Y} \in N$  asigna su transformación de Poincaré es continua.

En conclusión: si  $\gamma$  es una órbita cerrada hiperbólica de  $\bar{X}$ , digamos un  $w$ -conjunto límite, entonces todo campo  $\bar{Y}$  suficientemente cercano a  $\bar{X}$  tiene una órbita cerrada relacionada con  $\gamma$  (próxima a  $\gamma$ ), esta órbita es hiperbólica y  $w$ -con-

junto límite.

Definición 4.60 Sea  $\mathcal{P}_4$  un subconjunto de  $\mathcal{X}(M^2)$  tal que:

i)  $\mathcal{P}_4 \subset \mathcal{P}_3$

ii) si  $\mathcal{Y}_4 \in \mathcal{P}_4$ , entonces las separatrices de  $\mathcal{Y}_4$  están estabilizadas.

iii)  $\mathcal{Y}_4$  sólo tiene una cantidad finita de órbitas cerradas.

Lema 4.61. Sea  $\mathcal{Y}_3 \in \mathcal{P}_3$  con separatrices estabilizadas, entonces  $\mathcal{Y}_3$  se puede aproximar por  $\mathcal{Y}_4$  donde  $\mathcal{Y}_4 \in \mathcal{P}_4$ .

Demostración. Primero aproximaremos  $\mathcal{Y}_3$  por un campo  $\mathcal{Y}_{3,2}$  tal que  $\mathcal{Y}_{3,2} \in \mathcal{P}_1$ ,  $\mathcal{Y}_{3,2}$  tenga separatrices estabilizadas, no unión de sillos y sólo un número finito de órbitas cerradas. Y después aproximaremos  $\mathcal{Y}_{3,2}$  por un campo  $\mathcal{Y}_4$  que conserve las características de  $\mathcal{Y}_{3,2}$  y que también cumpla que el  $w$ -conjunto límite (o  $\alpha$ -conjunto límite) de toda trayectoria es una singularidad o una órbita cerrada; con esto terminaremos.

Por el teorema 4.14 podemos suponer a nuestra variedad  $M^2$  como una subvariedad de  $\mathbb{R}^5$ , y al campo  $\mathcal{Y}_3$  como una función

$$\mathcal{Y}_3: M^2 \rightarrow \mathbb{R}^5.$$

Por el corolario 4.11,  $\mathcal{Y}_3$  puede ser extendida a una función

$$\tilde{\mathcal{Y}}_3: \mathbb{R}^5 \rightarrow \mathbb{R}^5, \quad \tilde{\mathcal{Y}}_3 \in \mathcal{C}^1$$

tal que

$$\tilde{\mathcal{Y}}_3|_{M^2} = \mathcal{Y}_3.$$

Esta función puede ser aproximada por una función polinomial (Weierstrass) o analítica  $\tilde{\mathcal{Y}}_{3,1}$ . Consideremos, ahora,  $\tilde{\mathcal{Y}}_{3,1}$  restringido a  $M^2$

$$\tilde{\mathcal{Y}}_{3,1}|_{M^2} = \mathcal{Y}_{3,1}$$

Podría suceder que  $\bar{Y}_{3,1}$  no fuera un campo en  $M^2$ . Esto es, que existiera  $p \in M^2$  tal que  $\bar{Y}_{3,1}(p) \notin T_p M^2$ , sin embargo si tomamos

$$\bar{Y}_{3,2} = \pi \circ \bar{Y}_{3,1} \quad \text{donde } \pi \text{ es la proyección en } T_p M^2,$$

obtenemos  $\bar{Y}_{3,2}$  una aproximación de  $\bar{Y}_3$ . Podemos hacer esta aproximación tan cercana a  $\bar{Y}_3$  para asegurar  $\bar{Y}_{3,2} \in \mathcal{G}_1$  y que  $\bar{Y}_{3,2}$  tenga separatrices estabilizadas (y por tanto no existen en  $\bar{Y}_{3,2}$  uniones de sillos).

El campo  $\bar{Y}_{3,2}$  no es analítico, pero topológicamente se comporta como un campo analítico, esto es, toda órbita cerrada de  $\bar{Y}_{3,2}$  es aislada o pertenece a una banda abierta de órbitas cerradas.

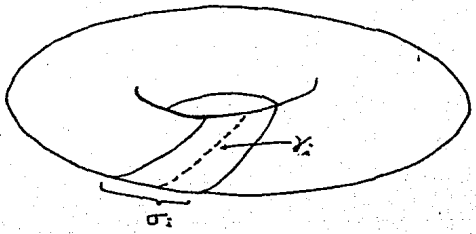
Queramos, ahora, ver que  $\bar{Y}_{3,2}$  tiene una cantidad finita de órbitas cerradas o se puede aproximar por un campo que cumpla esto.

Distinguiremos dos casos:

- 1.- Todas las trayectorias de  $\bar{Y}_{3,2}$  son cerradas.
- 2.- No todas las trayectorias de  $\bar{Y}_{3,2}$  son cerradas.

En el 1er caso observamos que  $M^2 = T^2$ . Podemos agrupar todas las trayectorias en una cantidad finita de bandas de órbitas cerradas. Llamaremos a las bandas  $\mathcal{B}_i$ ,  $i=1, \dots, n$ , y cada banda  $\mathcal{B}_i$  estará centrada en la órbita cerrada  $\delta_i$ ,  $i=1, \dots, n$ .

Como en el lema 4.59, podemos hacer pequeñas perturbaciones en cada  $\mathcal{B}_i$  que se anulen en la frontera de



$\mathcal{I}_i$ , y lograr que  $\mathcal{I}_i$  sea una órbita periódica hiperbólica estable, para cada  $i$ .  
 En las fronteras de  $\mathcal{I}_i$  obtenemos órbitas cerradas inestables que mediante una pequeña perturbación (lema 4.59) podemos hacer hiperbólicas.

Por tanto  $\mathcal{I}_{3,2}$  se puede aproximar por un campo que tiene una cantidad finita de órbitas cerradas, todas hiperbólicas.

En el segundo caso (no todas las trayectorias son cerradas) afirmamos que  $\mathcal{I}_{3,2}$  tiene sólo una cantidad finita de órbitas cerradas. Observemos, primero, que las órbitas cerradas deben ser aisladas ya que si forman una banda abierta (que no es toda la variedad), tomamos  $p$  en la frontera de la banda y siguiendo el razonamiento hecho en el lema 2.20, concluimos que por  $p$  pasa una trayectoria que une dos puntos silla, lo cual es una contradicción.

Una contradicción semejante se obtiene si suponemos que todas las órbitas son aisladas pero hay una cantidad infinita de ellas.

Concluimos que  $\mathcal{I}_{3,2}$  tiene una cantidad finita de órbitas cerradas, y por el lema 4.59 podemos lograr que todas ellas (mediante una pequeña perturbación) sean hiperbólicas.

Ahora aproximaremos  $\mathcal{I}_{3,2}$  por un campo tal que tenga como  $w$ -conjunto límite (y  $\alpha$ -conjunto límite) de toda trayectoria una singularidad o una órbita cerrada.

Supongamos que existe  $\gamma$ , trayectoria de  $\mathcal{I}_{3,2}$ , tal que  $w(\gamma)$  no es un punto singular ni una órbita cerrada. Sea  $u \subset w(\gamma)$  un conjunto minimal. Como las separatrices de  $\mathcal{I}_{3,2}$  están estabilizadas,  $u$  no puede ser un punto silla (no



es sumidero ni órbita cerrada), por tanto  $u$  es minimal no trivial. Tenemos, entonces, una reurrencia no trivial, podemos definir

$$T: \Gamma \subset \mathbb{C} \rightarrow \mathbb{C}$$

donde  $\mathbb{C}$  es un círculo transversal al campo.

Observemos que  $\Gamma = \mathbb{C}$ , ya que si  $\Gamma \neq \mathbb{C}$  entonces por el lema 4.50, existe un campo cercano a  $\bar{Y}_{3,2}$  que muestra una unión de puntos silla, pero esto no es posible ya que las separatrices de  $\bar{Y}_{3,2}$  están estabilizadas.

Entonces  $M^2 = T^2$ . Por el lema 4.49, el campo  $\bar{Y}_{3,2}$  puede ser aproximado por uno que tenga una órbita cerrada  $\delta$ , y no tenga reurrencias no triviales. Hacemos (mediante otra aproximación) esta órbita  $\delta$  hiperbólica (toda nueva aproximación tendrá esta característica). Hacemos, ahora, una aproximación analítica y obtenemos un campo con una cantidad finita de órbitas cerradas, una de ellas próxima a  $\delta$ , por tanto este nuevo campo no tiene reurrencias no triviales. A las órbitas cerradas las hacemos hiperbólicas y terminamos. Esta última aproximación cumple las condiciones del lema ■

Teorema 4.62

Si  $\bar{X} \in \mathcal{X}^1(M^2)$  es estructuralmente estable. Entonces

- a)  $\bar{X}$  tiene una cantidad finita de singularidades, todas hiperbólicas.
- b)  $\bar{X}$  tiene una cantidad finita de órbitas cerradas, todos hiperbólicas.
- c)  $\bar{X}$  no tiene unión de sillós.
- d) El  $w$  y  $\alpha$ -conjunto límite de toda trayectoria es una sin-

gularidad o una órbita cerrada.

### Demostración

- a) Demostrado en Corolario 4.39.
- b) Ya que  $h$  (la equivalencia topológica) preserva órbitas cerradas y  $\bar{X}$  se puede aproximar por un campo  $\bar{Y}$  que tiene sólo una cantidad finita de órbitas cerradas (lema 4.61), tenemos que  $\bar{X}$  sólo tiene una cantidad finita de órbitas cerradas. Si una de las órbitas cerradas de  $\bar{X}$  no es hiperbólica, entonces siguiendo la construcción del lema 4.59 obtenemos dos campos cercanos a  $\bar{X}$ , digamos  $\bar{Y}_1$  y  $\bar{Y}_2$ , tales que  $\bar{Y}_1$  tiene a esa órbita como  $w$ -conjunto límite y  $\bar{Y}_2$  la tiene como  $\alpha$ -conjunto límite. Esto no es posible ya que  $h$  preserva los  $w$ -conjuntos límite así como los  $\alpha$ -conjuntos límite.
- c) La demostración es con el lema 4.55 y observando que  $h$  preserva uniones de sillo
- d) Se sigue de lemas 4.51, 4.52 y 4.55. ■

## Sección 5. El homeomorfismo.

En esta parte mostraremos que las condiciones a, b, c y d del teorema 4.62, son suficientes para que  $\bar{X}$  sea estructuralmente estable. Esto es, si  $\bar{X}$  cumple con a, b, c y d. Entonces existe  $N$  vecindad de  $\bar{X}$  tal que para todo  $\bar{Y}$  en  $N$  se tiene un homeomorfismo  $h$  de  $M^2$  en sí mismo tal que  $h$  transforma trayectorias solución de  $\bar{X}$  en trayectorias solución de  $\bar{Y}$ , preservando su orientación. De hecho la sección está dedicada a la construcción del homeomorfismo  $h$ .

Definición 4.63 Sea  $\bar{X} \in \mathcal{X}^1(M^2)$ . Llamaremos elementos críticos de  $\bar{X}$  a sus singularidades y sus orbitas cerradas.

Teorema 4.64 Sea  $\bar{X} \in \mathcal{X}^1(M^2)$  tal que cumple con las siguientes condiciones:

- $\bar{X}$  tiene una cantidad finita de elementos críticos, todos hiperbólicos.
- $\bar{X}$  no tiene unión de sillos
- Cualquier órbita de  $\bar{X}$  tiene como  $\alpha$ -conjunto límite un único elemento crítico, y como  $\omega$ -conjunto límite un único elemento crítico.

Entonces  $\bar{X}$  es estructuralmente estable.

Demostración Dado que los elementos críticos de  $\bar{X}$  son hiperbólicos, existe una vecindad  $N$  de  $\bar{X}$  (en  $\mathcal{X}^1(M^2)$ ) tal que si  $\bar{Y}$  es elemento de  $N$ , entonces  $\bar{Y}$  tiene la misma cantidad de elementos críticos que  $\bar{X}$ . Los elementos

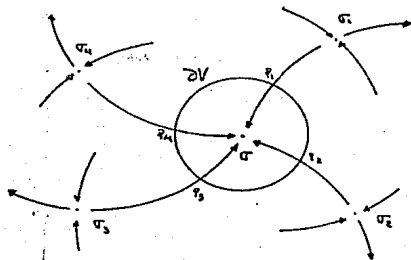
criticos de  $\bar{Y}$  son del mismo tipo que los de  $\bar{X}$ . De hecho existe una correspondencia uno a uno entre ambos conjuntos de elementos criticos.

Si la vecindad  $N$  es suficientemente pequeña podemos asegurar que si  $\sigma_1$  y  $\sigma_2$  son elementos criticos de  $\bar{Y}$  tales que existe una trayectoria  $\gamma$  con  $\alpha(\gamma) = \sigma_1$  y  $w(\gamma) = \sigma_2$ , entonces para los correspondientes elementos criticos  $\beta_1$  y  $\beta_2$  de  $\bar{X}$  existe tambien una trayectoria  $\Gamma$ , tal que  $\alpha(\Gamma) = \beta_1$  y  $w(\Gamma) = \beta_2$ .

Sea  $\bar{Y}$  elemento de esta vecindad  $N$ .

Consol. Supongamos que  $\bar{X}$  no posee orbitas cerradas. Consideremos un sumidero  $\sigma$  de  $\bar{X}$  y el correspondiente  $\sigma(\bar{Y})$  sumidero de  $\bar{Y}$ . Sea  $V$  un disco tal que  $\sigma \in V, \sigma(\bar{Y}) \in V, \partial V$  transversal a  $\bar{X}$  y a todo  $\bar{Y}$  en  $N$ . Sean  $\sigma_1, \sigma_2, \dots, \sigma_n$  las sillitas de  $\bar{X}$  tales que existe una trayectoria  $\gamma_i$  de  $\bar{X}$  con  $\alpha(\gamma_i) = \sigma_i$  y  $w(\gamma_i) = \sigma$ .

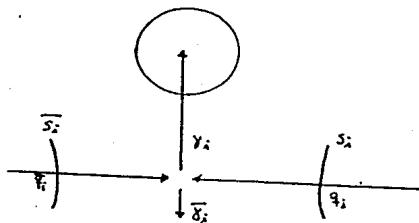
LLamaremos  $P_1, P_2, \dots, P_n$  a los puntos en que las separatrices de las sillitas  $\sigma_i$  intersecan  $\partial V$ .



Sean  $P_1(\bar{Y}), P_2(\bar{Y}), \dots, P_n(\bar{Y})$  los correspondientes puntos para las separatrices de las sillitas  $\sigma_i(\bar{Y})$ .

Para cada  $\sigma_i$  consideremos las secciones  $S_i, \bar{S}_i$  transversales a las

separatrices (estables) de  $\sigma_i$  en los puntos  $q_i, \bar{q}_i$



llamaremos  $\delta_i$  y  $\bar{\delta}_i$  las separatrices inestables de  $\sigma_i$ . Sea  $\varphi_t$  el flujo de  $X$  nos fijamos en  $\varphi_t(\bar{s}_i)$  y  $\varphi_t(s_i)$  para todo  $t$  mayor o igual a cero. Obtenemos una familia tubular vecindad de  $\delta_i$  y de  $\bar{\delta}_i$ , las fibras de esta familia son  $\varphi_t(\bar{s}_i)$  y  $\varphi_t(s_i)$ ,  $t \in \mathbb{R}^+$ , Unión  $\delta_i$  y  $\bar{\delta}_i$ . Llamaremos  $f$  a cada fibra. Sea la variedad estable de  $\sigma_i$  el siguiente conjunto

$$W^s(\sigma_i) = \beta_i \cup \sigma_i \cup \bar{\beta}_i$$

donde  $\beta_i$  y  $\bar{\beta}_i$  son las separatrices estables de  $\sigma_i$ . De manera similar podemos definir variedad inestable de  $\sigma_i$ .

$$W^u(\sigma_i) = \gamma_i \cup \sigma_i \cup \bar{\gamma}_i$$

La proyección,  $\Pi_i$ , que a cada punto de la fibra  $f$  le asocia  $f \cap W^s(\sigma_i)$  es una función continua. Observese que  $\Pi_i$  induce un homeomorfismo de una vecindad  $I_i$  de  $P_i$  en  $\mathcal{D}V$  sobre una vecindad de  $\sigma_i$  en  $W^s(\sigma_i)$ .

Efectuamos esta misma construcción para el campo  $\bar{Y}$ .

Empezaremos, ahora, a construir el homeomorfismo  $h$  (de equivalencia topológica entre  $\bar{X}$  y  $\bar{Y}$ ).

$$h: M^2 \rightarrow M^2$$

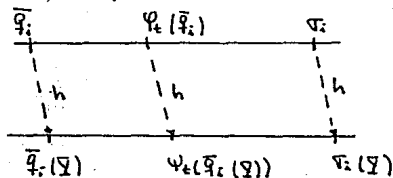
$$\text{Sean } h(\sigma) = \sigma(\mathcal{Y}), \quad h(\sigma_i) = \sigma_i(\mathcal{Y}), \quad h(\rho_i) = \rho_i(\mathcal{Y}), \\ h(q_i) = q_i(\mathcal{Y}) \quad \text{y} \quad h(\bar{q}_i) = \bar{q}_i(\mathcal{Y}).$$

Extendamos  $h$  a  $W^s(\sigma_i)$  mediante las ecuaciones siguientes:

$$i) \quad h(\Psi_t(q_i)) = \Psi_t(h(q_i)) = \Psi_t(q_i(\mathcal{Y}))$$

$$ii) \quad h(\Psi_t(\bar{q}_i)) = \Psi_t(h(\bar{q}_i)) = \Psi_t(\bar{q}_i(\mathcal{Y}))$$

donde  $\Psi_t$  es el flujo de  $\mathcal{Y}$



Ahora definimos  $h$  en  $\bar{I}_i$  de la siguiente manera: Sea  $x \in \bar{I}_i$

$$h(x) = [\pi_i(\mathcal{Y})]^{-1}(h(\pi_i(x)))$$

Tenemos que  $h$  está definido en un número finito de intervalos disjuntos  $\bar{I}_i$  de  $\partial V$ . Si la vecindad  $N$  de  $\bar{X}$  es pequeña entonces  $h$  restringido a  $\bar{I}_i$  está próximo a la identidad, y por tanto podemos extender  $h$  a toda la frontera de  $V$  (en forma continua). Repetimos esta operación para todos los sumideros (de  $\bar{X}$  y  $\bar{Y}$ ).

Observamos que si  $y \in M^z$  entonces  $w(y)$  es un sumidero o un punto silla.

Si  $w(y)$  es un sumidero,  $(\sigma_i)$ , entonces existe  $z \in \partial V$  tal que  $y = \Psi_t(z)$ . Si  $w(y)$  es un punto silla, entonces existe  $z$  igual a  $q_i$  o  $\bar{q}_i$  y nuevamente  $y = \Psi_t(z)$ . Por tanto podemos extender  $h$  a toda la variedad así:

$$h(\Psi_t(z)) = \Psi_t(h(z))$$

donde  $z$  es un punto de  $M^2$  donde  $h$  ya estaba definida.

Resta sólo definir  $h$  en las fuentes  $\theta_j$ ,  $j=1, \dots, m$

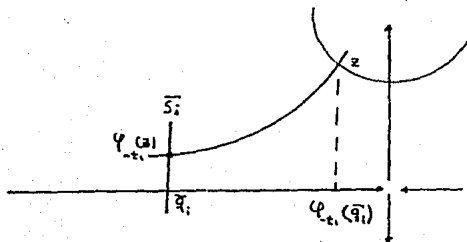
$$h(\theta_j) = \theta_j(\mathcal{Y}).$$

Observamos que  $h$  es biyectiva y por tanto existe  $h^{-1}$ , la cual tiene una definición similar a  $h$ .

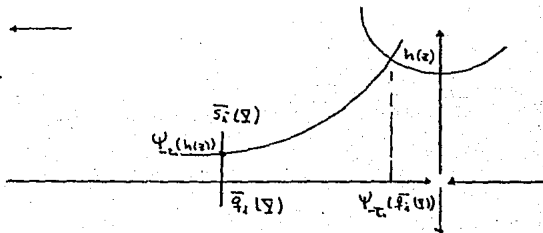
Mostraremos ahora que  $h$  es continua.

i)  $h$  es continua en los sumideros. La demostración es completamente análoga a la realizada en el lema 1.15.

ii)  $h$  es continua en las fuentes. Para demostrar esta afirmación, observemos primero que  $h$  transforma secciones transversales en secciones transversales.



Sea  $\varphi_{-t_1}(z) \in \bar{S}_i$

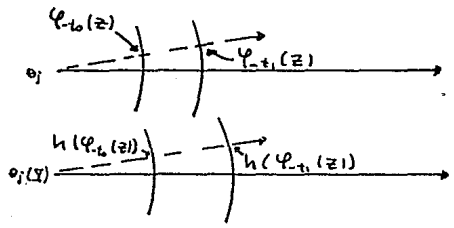


Además  $h \varphi_{-t_0}(z) = \varphi_{-t_0}^0(h(z))$

pero  $\varphi_{-t_0}(z) = \varphi_{-t_0+t_1-t_1}(z)$

por tanto  $h \varphi_{-t_0}(z) = h \varphi_{t_1-t_0}(\varphi_{-t_1}(z))$

$$y \quad h \varphi_{t_1-t_0}(\varphi_{-t_1}(z)) = \varphi_{t_1-t_0}(h(\varphi_{-t_1}(z)))$$



Pero  $\varphi_{-t_1}(z) \in \bar{S}_i$  y  $h(\varphi_{-t_1}(z)) \in \bar{S}_i(\mathbb{X})$ . Por tanto  $h$  aplicada a un punto  $y$  (cercano a una fuente) tambien se puede encontrar como

$$h(y) = \varphi_{-t} \circ h \circ \varphi_t(y)$$

donde  $\varphi_t(y)$  este en una seccion transversal  $S_i$ .

Si consideramos un circulo alvedor de la fuente  $\theta_j$  (transversal a  $\bar{X}$ ).

Este circulo bajo se transforma, bajo  $h$ , en otro circulo que encierra  $\theta_j(\mathbb{X})$ .

Nuevamente siguiendo el lema 1.15, se muestra que  $h$  es continua en las fuentes.

- (iii)  $h$  es continua en  $W^s(\sigma)$ ,  $\sigma$  cualquier, donde  $W^s(\sigma) = \{z \in M^2 \mid \lim_{t \rightarrow \infty} \varphi_t(z) = \sigma\}$ .

Esta afirmacion se sigue del mismo lema.

- (iv)  $h$  es continua en  $W^s(\sigma_i)$ ,  $\sigma_i$  silla,  $i=1,2,\dots,n$ . Primero observemos que

$$\Pi_i(\mathbb{X})h(z) = h \Pi_i(\bar{X})(z)$$



Sea  $x \in W^S(\sigma_2)$ . Consideremos una sucesión  $\{x_n\}$  tal que

$$\lim_{n \rightarrow \infty} x_n = x$$

Necesitamos demostrar que

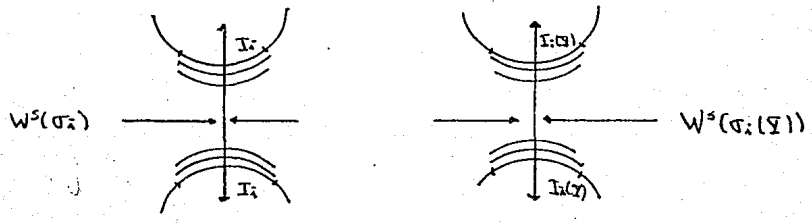
$$\lim_{n \rightarrow \infty} h(x_n) = h(x)$$

Si nos restringimos a  $W^S(\sigma_2)$ , entonces  $h$  si es continua, esto es, si  $x_n \in W^S(\sigma_2)$  para todo  $n$  y  $\pi_2(\Sigma) x_n$  converge a  $x$ , entonces

$$\lim_{n \rightarrow \infty} \pi_2(\Sigma) h(x_n) = h(x)$$

Pero observe que aunque  $x_n$  no perteneciera  $W^S(\sigma_2)$  para toda  $n$ , de todos modos se tendrían las dos convergencias siguientes, ya que  $\pi_2$  es continua. Por tanto sólo resta mostrar que  $h(x_n)$  converge hacia  $W^S(\sigma_2(\Sigma))$ .

Para esto construimos familias tubulares para  $W^S(\sigma_2)$  y  $W^S(\sigma_2(\Sigma))$  usando los segmentos  $I_2, I_2(\Sigma)$  contenidos en  $\partial V$ , saturando con los flujos  $\psi_t$  y  $\psi_t$ .



Como  $h(I_2) = I_2(\Sigma)$ , entonces transforma fibras de la familia tubular de  $W^S(\sigma_2)$  en fibras de la familia tubular de  $W^S(\sigma_2(\Sigma))$ . Por lo tanto  $\tilde{\pi}_2$  y  $\tilde{\pi}_2(\Sigma)$ , las respectivas proyecciones en  $W^M(\sigma_2)$  y  $W^M(\sigma_2(\Sigma))$ , son continuas.

Además

$$h(\tilde{\pi}_i(z)) = \tilde{\pi}_i(\Sigma)(h(z)) \dots \textcircled{*}$$

Como  $\lim_{n \rightarrow \infty} x_n = x$  y  $x \in W^s(\sigma_i)$  tenemos que

$$\tilde{\pi}_i(x_n) = \tilde{\pi}_i(x) = \sigma_i$$

y como la restricción de  $h$  a  $W^u(\sigma_i)$  es continua, obtenemos

$$\lim_{n \rightarrow \infty} h(\tilde{\pi}_i(x_n)) = h(\sigma_i) = \sigma_i(\Sigma)$$

Por  $\textcircled{*}$  tenemos

$$h(\tilde{\pi}_i(x_n)) = \tilde{\pi}_i(\Sigma)(h(x_n))$$

y por lo tanto 
$$\lim_{n \rightarrow \infty} \tilde{\pi}_i(\Sigma)h(x_n) = \sigma_i(\Sigma)$$

Concluimos que  $\lim_{n \rightarrow \infty} h(x_n) = h(x)$  donde  $h(x) \in \pi_i^{-1}(\Sigma)(\sigma_i(\Sigma))$ .

y, portanto,  $h$  es continua en  $M^2$ . Como  $h^{-1}$  está definida en forma similar a  $h$ , tenemos que  $h^{-1}$  es continua y, portanto,  $h$  es un homeomorfismo.

Caso 2 Supongamos que  $\bar{X}$  posee órbitas cerradas, y todas ellas son atractivas. Sean  $\phi_t$  y  $\psi_t$  los flujos de  $\bar{X}$  y  $\bar{Y}$ . Podemos suponer, por [ ], que las órbitas cerradas de  $\bar{X}$  y  $\bar{Y}$  tengan el mismo periodo  $\tau$ , y admitan secciones transversales invariantes.

En cada singularidad atractora  $\sigma_i, \sigma_i(\Sigma)$ , consideremos un círculo  $C_i$  transversal a  $\bar{X}$  y  $\bar{Y}$ . En cada órbita cerrada  $\sigma_j, \sigma_j(\Sigma)$ , consideramos una sección transversal invariante  $\Sigma_j$ , y en cada  $\Sigma_j$  to-

manos dominios  $I_j, I_j(\Sigma)$ , donde estan definidas las transformaciones de Poincaré de  $\bar{X}$  y  $\bar{Y}$ .

Como en el caso 1, construimos familias tubulares (para  $W^u(\sigma_k)$ ) asociadas a las sillitas  $\sigma_k, \sigma_k(\Sigma)$ , de  $\bar{X}$  y  $\bar{Y}$ ; tomando secciones  $\bar{S}_k, S_k, \bar{S}_k(\Sigma)$  y  $S_k(\Sigma)$  transversales a  $W^s(\sigma_k)$  y  $W^s(\sigma_k(\Sigma))$  y considerando las familias  $\psi_t(S_k), \psi_t(\bar{S}_k), \psi_t(S_k(\Sigma))$  y  $\psi_t(\bar{S}_k(\Sigma))$ .

El homeomorfismo  $h$  deberá transformar cada fibra de la familia tubular de  $\sigma_k$  en una fibra de la familia tubular de  $\sigma_k(\Sigma)$ . Además preservará los círculos transversales  $C_i$  y las secciones transversales  $\Sigma_j$ .

Definimos  $h$  siguiendo el mismo camino que en el caso 1, (a partir de las secciones transversales  $S_k, \bar{S}_k, S_k(\Sigma), \bar{S}_k(\Sigma)$ ). Así,  $h$  queda definido en un número finito de intervalos de los círculos  $C_i$  y de los dominios  $I_j$ , tales intervalos contienen las intersecciones de las variedades invariantes de las sillitas con  $C_i$  y  $I_j$ .

Si  $\bar{Y}$  está suficientemente próximo a  $\bar{X}$ , entonces  $h$  es próximo a la identidad, y por tanto puede ser extendido a todo  $C_i$  y todo  $I_j$ .

Definimos para cada singularidad  $\sigma_i$  de  $\bar{X}$

$$h(\sigma_i) = \sigma_i(\Sigma)$$

y para cada órbita cerrada  $\sigma_j$  definimos

$$h(\Sigma_j \cap \sigma_j) = \Sigma_j \cap \sigma_j(\Sigma).$$

Finalmente extendemos  $h$  a todo  $M^2$  como en el primer caso,

si  $y \in M^2$ , entonces

$$h(y) = \Psi_t \circ h \circ \Psi_t(y).$$

La continuidad de  $h$  en las singularidades, variedades estables de sillitas y variedades estables de sumideros, se sigue de lo expresado en el caso 1.

La continuidad de  $h$  en las orbitas cerradas se sigue de la invariancia de las secciones  $\Sigma_j$  y de lo realizado en el capítulo tres.

Caso 3.  $\bar{X}$  posee orbitas cerradas atractoras y orbitas cerradas repulsoras. La demostración es similar al caso dos con algunas pequeñas variantes. La construcción completa del homeomorfismo, en este caso, se puede ver en [ ].

En conclusión, dado  $\bar{Y}$  en  $N$ , podemos construir un homeomorfismo  $h: M^2 \rightarrow M^2$ , tal que  $h$  transforma trayectorias de  $\bar{X}$  en trayectorias de  $\bar{Y}$  (preservando orientación). Esto es,  $\bar{X}$  es estructuralmente estable. ■

Teorema 4.65 Los campos estructuralmente estables forman un conjunto abierto y denso en  $\mathcal{X}^1(M^2)$ .

Demostración. La densidad se sigue del corolario 4.56 y de los lemas 4.59 y 4.61.

Ahora, sea  $\bar{X}$  estructuralmente estable. Existe  $\delta > 0$  tal que para todo campo  $\bar{Y}$  en  $B_\delta(\bar{X})$  se tiene que  $\bar{Y}$  es topológicamente equivalente a  $\bar{X}$ ,  $\bar{Y} \sim \bar{X}$ . Tomemos  $\delta/2$  y afirmemos que todo campo  $\bar{W}$  en  $B_{\delta/2}(\bar{X})$  es estructuralmente estable.

Sea  $\bar{W}$  en  $B_{\delta/2}(\bar{X})$ , por tanto  $\bar{W} \sim \bar{X}$ . Consideremos la bola de radio  $\delta/2$  con centro en  $\bar{W}$ ,  $B_{\delta/2}(\bar{W})$ . Sea  $\bar{Z} \in B_{\delta/2}(\bar{W})$ .

Como  $B_{S_{1/2}}(\bar{W}) \subset B_S(\bar{X})$  se tiene que  $\bar{Z} \in B_S(\bar{X})$  y por tanto  $\bar{Z} \sim \bar{X}$ . Como la relación  $\sim$  es una relación de equivalencia (capítulo 1, sección 3), obtenemos

$$\bar{Z} \sim \bar{W} \quad \text{para todo } \bar{Z} \text{ en } B_{S_{1/2}}(\bar{W}).$$

Por tanto  $\bar{W}$  es estructuralmente estable. Esto es, todo campo en  $B_{S_{1/2}}(\bar{X})$  es estructuralmente estable. Concluimos que el conjunto de los campos estructuralmente estables es abierto ■

Fin.

## Bibliografía

170

- [Ahl.] Ahlfors L., Complex Analysis. International Student Edition. 1979.
- [And.] Andronov A. y Pontrjagin L., Systèmes Grossiers. Doklady Akad. Nauk 14, 247 - 251. 1937.
- [Brö.] Bröcker T., Introducción a la Topología Diferencial. Editorial A.C. 1977.
- [Cod.] Coddington E. y Levinson N., Theory of Ordinary Differential Equations. Mc. Graw Hill, New York. 1955.
- [DeB.] De Baggis H., Dynamical Systems with Stable Structure. Contributions to the Theory of nonlinear Oscillations: 1-38. 1950.
- [DeM.] De Mello A. y Barone H., Equações Diferenciais. IMEUSP. 1979.
- [God.] Godbillon C., Dynamical Systems on Surfaces. Springer, Universitext. 1980.
- [Har.] Hartman P., Ordinary Differential Equations. Birkhäuser. 1982.
- [Hir.] Hirsch W. y Smale S., Differential Equations, Dynamical Systems, and Linear Algebra. Academic Press. 1974.
- [Hur.] Hurewicz W., Ordinary Differential Equations in the Real Domain with emphasis on Geometric Methods. Providence. 1943.
- [Lef.] Lefschetz S., Differential Equations: Geometric theory. Interscience, Princeton University.
- [Pal.] Palis J. y De Melo W., Introdução aos Sistemas Dinâmicos, IMPA, Rio de Janeiro, Brasil. 1977.

- [Pe. y Pe.] Peixoto H.C. y Peixoto M.M., Structural Stability in the Plane with Enlarged Boundary Conditions. Anais da Academia Brasileira de Ciências: 31. 135-160. 1959.
- [Pe. 1] Peixoto M.M., On Structural Stability. Annals of Math: 69. 199-222. 1959.
- [Pe. 2] Peixoto M.M., Structural Stability on two Dimensional Manifolds. Topology 1, 101-120. 1962.